

784-8/2 100-2
1990



საქართველოს სსრ მეცნიერებათა აკადემიის მაცნე

ИЗВЕСТИЯ АКАДЕМИИ НАУК ГРУЗИНСКОЙ ССР

PROCEEDINGS OF THE ACADEMY OF SCIENCES
OF THE GEORGIAN SSR

100
784-8/2

გ მ თ მ ა პ პ ь
ს ე რ ი ა
С Е Р И Я
Б И О Л О Г И Ч Е С К А Я

1990 №4

თაღისი შოთა
- ТБИЛИСИ - ТОМ
TBILISI VOL.

16

СПИСОК РАЗДЕЛОВ БИОЛОГИИ, ПО КОТОРЫМ ПРИНИМАЮТСЯ СТАТЬИ

Теоретическая биология
Физиология человека и животных (норм. и патол.)
Морфология
Анатомия
Эмбриология и гистология
Цитология
Патологическая морфология
Биохимия
Фармакология
Ботаника (экспер. и теорет.)
Физиология растений
Зоология (экспер. и теорет.)
Энтомология
Паразитология
Гельминтология
Палеобиология
Биогеоценология
Экология
Микробиология
Вирусология
Иммунология
Генетика
Радиobiология
Биофизика
Молекулярная биология
Бионика и биокибернетика

საქართველოს სსრ მეცნიერებათა აკადემიის გაცემა
(Сакартвелос ССР მეცნიერებათა აკადემიის მაცне,
ბიологიის სერია)
ИЗВЕСТИЯ АКАДЕМИИ НАУК ГРУЗИНСКОЙ ССР

ბიოლოგიური ჟურნალი
СЕРИЯ БИОЛОГИЧЕСКАЯ

ტომი 16, № 4
Том 16, № 4

ეურნალი დაარსებულია 1975 წლის იანვარში
Журнал основан в январе 1975 года
გვერდის წელიწედში 6-ჯერ
Выходит 6 раз в год

თანამდებობა
Тбилиси

• „მეცნიერება“
• «МЕЦНИЕРЕБА»

• 1990

სარედაქციო გოლშემი:

გთავარი რედაქტორი გ. ჟურნალი

გთავარი რედაქტორის მოადგილე თ. ლევაშვილი

სწავლული მდივანი გ. ბეჭაძე

ლ. გაბუნია, მ. ზაალიშვილი, გ. თემენიშვილი, გ. კანდელაძე,

ქ. ნადარეიშვილი, გ. ნახუცრაშვილი, გ. სანაძე, ბ. ყურაშვილი, თ. ჭანიშვილი,

ნ. ჯავახიშვილი

პასუხისმგებელი მდივანი ხ. ლაბაძე

РЕДАКЦИОННАЯ КОЛЛЕГИЯ:

Главный редактор В. М. Окуджава

Зам. главного редактора Т. Н. Ониани

Ученый секретарь Г. Л. Бекая

Л. К. Габуния, Н. А. Джавахишвили, М. М. Заалишвили, Г. В. Канделаки,
Б. Е. Курашвили, К. Ш. Надарейшвили, Г. Ш. Нахуцришвили, Г. А. Санадзе,
Г. Д. Туманишвили, Т. Г. Чанишвили

Ответственный секретарь С. Р. Лабадзе

EDITORIAL BOARD:

Editor-in-Chief V. M. Okujava

Associate Editor T. N. Oniani

Editorial Secretary G. L. Bekiaia

T. G. Chanishvili, N. A. Djavakhishvili,
L. K. Gabunia, G. V. Kandelaki, B. E. Kurashvili,
K. Sh. Nadareishvili, G. Sh. Nakhtsrishvili,
G. A. Sanadze, G. D. Tumanishvili, M. M. Zaalishvili
Executive Secretary S. R. Labadze

© Известия АН ГССР

Серия биологическая, 1990

რედაქციის მისამართი:

380060, თბილისი-60, კუტუროვის ქ. 19,

ტელ. 37-86-78

Адрес редакции:

380060, Тбилиси-60, ул. Кутузова, 19,

тел. 37-86-78



СОДЕРЖАНИЕ—ЗОБАРАБЕО—CONTENTS

- Н. А. Джавахишвили, В. И. Бахуташвили, И. И. Мегреладзе, Г. В. Чикобава, Р. Д. Гветадзе, К. Ш. Надарейшвили. Действие плаферона (Э-10) на фазовую структуру сердечно-го цикла и системную гемодинамику кроликов 221

Б. ჯავახიშვილი, ვ. ბახუთაშვილი, ი. მეგრელაძე, გ. ჩიკობავა, რ. გვეთაძე, კ. ნადარეიშვილი. პლაფერონ ე-10-ის მოქმედება ბოლცმების გულის ცირკულაციის ფაზურ სტრუქტურასა და სისტემურ ჰემოდინამიკაზე

N. A. Javakhishvili, V. I. Bakhutashvili, I. G. Megreladze, G. V. Chikobava, R. D. Gvetadze, K. Sh. Nadareishvili. The action of plapheron (E-10) on the phase structure of cardiac cycle and systemic hemodynamics in rabbits

Н. А. Костенко, И. М. Карабадзе. Влияние гипокинезии на глиане-
риональные соотношения в двигательной коре мозга белых крыс 230

Б. კოსტენკო, ი. კავაბაძე. მიმღებების გავრცელება ვირთოვების თავის ტვინის
ქრებას მოტორული წონის გლიანებირონებულ ურთიერთობაზე

N. A. Kostenko, I. M. Kakabadze. Influence of hypokinesia on the glia-neuron interrelation in the motor cortex of the albino rat brain

Э. Л. Микадзе, И. Г. Харебава, Н. Ш. Гелашвили, Г. Д. Туманишвили. Пролиферативная активность клеток и особенности структурной организации субэпендимного слоя дорсо-латеральной стенки боковых желудочков мозга щенят в раннем постнатальном онтогенезе 238

ე. მიკაძე, ი. ხარებავა, ნ. გელაშვილი, გ. თუმანიშვილი. ლეიკის
თავის ტვინის გევრცითი პარეგული დროსო-ლატერალური ჟელლის სუბეპენ-
დიმური შრის სტრუქტურული ორგანიზაციის თავისებურებანია და უკარებთ
პროლიფერაციული ეტრიოზის შესწავლა დროულ პისტარელურ მოტორულ შემთხვევაში

E. L. Mikadze, I. G. Kharebava, N. Sh. Gelashvili, G. D. Tumanishvili. Proliferative activity of cells and structural organization peculiarities of the subependymal layer of dorso-lateral wall of lateral ventricle of puppies during early postnatal ontogenesis

Е. Г. Мхедидзе, М. Б. Хитаришвили. Ультраструктурная организация нейронов и синапсов латеральной гипоталамической области крыс, не-
предрасположенных к алкоголю при острой этианоловой интоксикации 246

ე. მხედიძე, მ. ხითარიშვილი. ალკოჰოლულიასტმი არამიღრეკეალი ვირთოვების
ლატერალური პიპორნების ნეირონებისა და სინაფების ულტრასტრუქტუ-
რული ორგანიზაცია ეთანოლით მწვავე ინტოქსიკაციის დროს

E. G. Mkheidze, M. B. Khitarishvili. Ultrastructural organization of neurons and synapses of lateral hypothalamic area in rats not predisposed to alcohol during acute ethanol intoxication

М. Ш. Пирцхалайшвили. Организация зрительной проекции в различ-
ные корковые поля у кошек 253

მ. ფირცხალაიშვილი. კატის მხედველობის პროექციის ორგანიზაცია პერისფერო-
თა ქრებას სხეულის ველებში

M. Sh. Pirtskhalaishvili. Organization of cat's visual projection to different cortical areas

- [Н. А. Аnelly], Дж. Н. Аnelly, Н. Л. Мачайдзе, Г. Э. Аладашвили. К анатомическому строению чеснокица Лобеля // Б. ანგლი., გ. ანგლი., ბ. მართინე, გ. ალექსანდრო. მცენარეული ცოდნული განვითარების გარემონტიზაცია. გვ. 1, გვ. 259
- [N. A. Aneli], D. N. Aneli, N. L. Machaidze, G. E. Aladashvili. On anatomical structure of veratrum Lobelianum bernh // Г. Я. Дараселия, Н. А. Гагелидзе, Л. Л. Амранашвили. Динамика накопления биомассы, клеточного и внеклеточного белка Mycobacterium rubrum и его мутантами // გ. დორის გვ. 1, ბ. ვაგილიძე, ღ. ამირა ბაშვილი. ბომბის უკრეფლი და არაუკრეფლი ცილის დაგროვების დინამიკა Mycobacterium rubrum - ში და მის მუტანტებში // გ. ა. დარასელია, ნ. ა. გაგელიძე, ლ. ლ. ამირაშვილი. Dynamics of biomass accumulation of cellular and extracellular protein in mycobacterium rubrum and in its mutants // ნ. ვ. კარსანოვ, დ. რ. თათულაშვილი, გ. ვ. სუკოიან. Преобразование энергии миофибреллами миокарда собаки в норме, при Л-тироциновом токсикозе и атиреозе // გ. ა. ასახუაძე, ღ. ტ. ტულაშვილი, გ. სუკოიან. ძოლის მოყვარციუმის პოთენციულების მიერ ენტრგიის გარდაქმნა ხორმის, L-თორქისინული ტოქსინულისა, და ათორეცხის დროს // ნ. ვ. კარსანოვ, დ. რ. თათულაშვილი, გ. ვ. სუკოიან. Energy transduction by canine myocardial myofibrils in normal condition, thyrotoxicosis and athyreosis // დ. И. Джохадзе, Н. Н. Тевзадзе, Л. А. Назарова, Р. И. Гоглидзе. Влияние гибберелловой кислоты и гиббереллинсвязывающих белков на синтез РНК в хлоропластах // ღ. ჭობაძე, ბ. თევეზაძე, ღ. ნაზაროვა, რ. გოგიაძე. გიბერელინის მეცნიერება და გიბერელლინდამაცვევირებელი ცილების გაელენა რნ-ის სინთეზე ქლოროპლასტებში // დ. И. Джохадзе, Н. Н. Тевзадзе, Л. А. Назарова, Р. И. Гоглидзе. The influence of gibberellic acid and gibberellin — binding protein B on RNA synthesis in chloroplasts //

271

284

УДК 616.127—002.4

ФИЗИОЛОГИЯ ЧЕЛОВЕКА И ЖИВОТНЫХ

**ДЕЙСТВИЕ ПЛАФЕРОНА (Э-10) НА ФАЗОВУЮ СТРУКТУРУ
СЕРДЕЧНОГО ЦИКЛА И СИСТЕМНУЮ ГЕМОДИНАМИКУ
КРОЛИКОВ**

Н. А. Джавахишвили, В. И. Бахуташвили, И. И. Мегреладзе,
Г. В. Чикобава, Р. Д. Гветадзе, К. Ш. Надарейшвили

Институт экспериментальной морфологии им. А. Н. Натишиши, АН ГССР, Тбилиси

Институт физиологии им. И. С. Бериташвили АН ГССР, Тбилиси

Поступила в редакцию 12.01.90

В условиях хронического опыта на кроликах с имплантированными престернальными электродами для регистрации тетраполярной реограммы, ЭКГ и дыхания, а также эндоаортальным катетером для регистрации артериального давления были изучены изменения фазовой структуры сердечного цикла и системной гемодинамики после внутривенного введения 0,2 мг/кг плаферона Э-10. Обнаружено высокоеффективное стимулирующее действие данного препарата на сократительную способность миокарда и системную гемодинамику, выражающуюся в возрастании электрической стабильности и оптимизации электромеханических соотношений систолы левого желудочка и увеличении сердечного индекса на фоне снижения общего периферического сопротивления и входного артериального импеданса без заметных изменений частоты сердцебиений и дыхания. Эффект начинает проявляться через 5—15 мин, достигает максимума через час и по целому ряду признаков на статистически достоверном уровне поддерживается в течение 1—2 дней.

В литературе имеются указания на терапевтическое и стимулирующее действие пептидов, в частности аналога энкефалинов даларгина, синтезированного в ВКНИЦ, и на крово- и лимфоциркуляцию органов и тканей, в том числе миокарда [6, 7]. Имеются указания и на антистрессорное действие энкефалинов (даларгина) [3, 6]. В опытах на собаках при моделировании инфаркта миокарда путем перевязки передней межжелудочковой артерии у места ее ответвления было выявлено защитное действие плаферона, синтезированного (под руководством В. И. Бахуташвили в Институте экспериментальной морфологии им. А. Н. Натишиши АН ГССР) на амниотической оболочке плаценты человека и содержащего альфа-интерферон и ряд других пептидов, в том числе энкефалины.

Несмотря на столь высокую перевязку сосуда, животные выживали, тогда как в контрольных опытах наблюдалась 100%-ная гибель собак. Этот эффект на ранних сроках наблюдения может быть связан с антистрессорным действием — благодаря содержанию в плафероне пептидов, предотвращающих кардиогенный шок и фибрillation желудочков. Механизм же относительно быстрого восстановления кровоснабжения в ишемизированном участке следует, видимо, приписать действию энкефалинов на микроциркуляцию в миокарде и, в особенности, ретроградному кровотоку, о чем свидетельствует сильное расширение синусоидов миокарда [1]. Общегемодинамическое и кардиотропное действие плаферона у интактных животных до сих пор не исследовано.

Учитывая, что комплексное исследование фазовой структуры СЦ и СГ позволяет выявить ряд общих механизмов действия широкого спектра препаратов на функциональное состояние сердечно-сосудистой системы,

в настоящей работе предпринята попытка исследования ранних изменений кардио-гемодинамики кроликов на разных этапах после внутривенно-го (в/в) введения плафераона.

МАТЕРИАЛ И МЕТОДИКА ИССЛЕДОВАНИЯ

Исследования проводились в хронических условиях на 9 половозрелых кроликах породы Шиншилла массой тела 2,5—2,8 кг. Аортальное давление регистрировалось при помощи имплантированного через правую сонную артерию эндоваскулярного катетера внешним диаметром 2,5—3,0 мм. На грудной клетке вдоль sternальной линии при помощи тонких серебряных проводов несколькими петлями подшивали полимеризированную трубку внешним диаметром 4,5—5,0 мм. Первое крепление производилось на уровне грудино-ключичного сочленения, а затем один за другим на расстоянии 20, 30 и 20 мм, соответственно, в каудальном направлении подшивали остальные три электрода. Крайние крепления использовались для подключения токопроводящих электродаов тетраполярного реоплетизмографа РПГ-02-01 (СССР), а центральная пара электродаов, отстоящая друг от друга на расстоянии 30 мм, использовалась для записи сигнала престернальной тетраполярной реограммы (ПТР). Из ПТР при помощи соответствующих фильтров выделялись как сигнал дифференциальной реограммы (ДР), используемый для расчета систолического объема [2, 4], так и низкочастотная составляющая дыхательного цикла (ДЦ). Центральная же пара электродаов использовалась и для параллельной регистрации престернальной ЭКГ.

Опыты начинали через 2—3 дня после выполненной под местным обезболиванием (2%-ный раствор новокаина) операции катетеризации и закрепления хронических электродаов. Перед началом политрафической регистрации животные слегка фиксировались в близкой к естественной позе. На участке сердечного толчка при помощи пары тонких (0,3—0,5 мм) резиновых лямок закрепляли миниатюрный (5,7 г) микрофон для записи фонокардиограммы (ФКГ), про-

вода токопроводящих и токоотводящих электродаов, а свободный конец эндоваскулярного катетера раскрывали, очищали от возможных сгустков крови, заполняли гепаринизированным физраствором и подсоединяли к электроманометру (ММТ-34). Очистку просвета эндоваскулярного катетера и заполнение его свежим гепаринизированным раствором проводили ежедневно, начиная со дня его вживления.

На 8-канальном мониторе фирмы «Сименс-Элема» (М-162) при скорости движения осциллографической бумаги 300 и 600 мм/с регистрировали: ЭКГ, ФКГ, ДР, ДЦ, электромиограмму шейных мышц (ЭМГ), аортальное давление крови (АД) и усиленный артериальный пульс (АП—АД без постоянной составляющей или нормированный систоло-диастолический размах). Последний был необходим, поскольку по ДР кроликов очень трудно проводить точный фазовый анализ сердечного цикла из-за вариации сдвига начала анакроты и ее вершины от Р зубца ЭКГ в зависимости от частоты сердцебиений (ЧС), скорости повышения внутрижелудочкового и пульсового давлений. В связи с этим начало периода изгиания и конец его быстрой фазы определяли по АП. Во время регистрации вышеуказанных параметров животные находились в экранированной звукоизолированной камере и в течение всего опыта проводилось непрерывное визуальное наблюдение за поведением животного при помощи телемонитора ПТМ-56 (особое внимание обращалось на его позу, положение головы и век). Такой подход продиктован рядом особенностей организации цикла бодрствование-сон (ЦБС) у кроликов: малая продолжительность и частое повторение циклов, а главное заметные вегетативные сдвиги при смене фаз ЦБС. Такая предосторожность позволяла регистрировать и сравни-



вать кардио-гемодинамические сдвиги во время практически идентичного эмоционально-мотивационного фона, а именно, во время пассивного бодрствования.

В опытах использован плаферон Э-10. Плаферон растворяли в стерильном физиологическом растворе (0,4 мг/мл) и вводили в маргинальную вену уха кролика в дозе 0,2 мг/кг массы тела. Записи на осциллографической бумаге и ввод той же информации в ЭВМ с частотой квантования 500 Гц производили до инъекции, через 1, 5, 15, 30 мин и далее через каждые полчаса в течение 3 ч, а затем через 24 и 48 ч. Измерение межфазных интервалов проводили

как вручную на записях при скорости движения бумаги 600 мм/с, так и полуавтоматическим путем. Полученная информация обрабатывалась и записывалась в базу данных ЭВМ СМ 14—20 с использованием пакета программ «Кардиодинамика-88», прототип которой описан ранее [5]. Все таблицы, представленные в настоящей статье, являются копиями оригиналов выходных документов системы, полученных после выборки, обобщения и сравнения результатов всех опытов настоящей работы, записанных в базу данных в виде средних значений измерений в 6-ти циклах на каждом этапе наблюдения.

РЕЗУЛЬТАТЫ ИССЛЕДОВАНИИ И ИХ ОБСУЖДЕНИЕ

Контрольные опыты показали, что 2—3 мл физиологического раствора (плацебо) не вызывают каких-либо достоверных изменений кардиодинамики за исключением эмоциональной реакции на процедуру. Эти сдвиги элиминируются через 1—5 мин, и в течение 3-х ч последующего наблюдения достоверных сдвигов в ФССЛЖ и СГ не наблюдается. В связи с этим в качестве контрольных или фоновых данных использованы результаты, полученные за 3—5 мин до инъекции ПФ.

В табл. 1 представлены средневзвешенные фоновые данные (X_1) со значениями их ошибок (M_1) и также показатели через 1, 3 и 24 ч ($X_2 \pm M_2$, $X_3 \pm M_3$ и $X_4 \pm M_4$ соответственно). Несмотря на то, что в данной таблице представлены лишь результаты отдельных этапов наблюдения без поэтапного статистического сравнения, они позволяют заключить, что после однократной инъекции 0,2 мг/кг ПФ кардиодинамика в целом претерпевает очень существенные изменения, которые сохраняются и через 24 ч. В настоящей работе нет возможности сравнять результаты всех этапов наблюдения по всем 43 исследованным параметрам. В связи с этим в данной и последующих таблицах опущены многие диастолические фазы и анализируются в основном систолические параметры сердечного цикла. Следует отметить также, что номера параметров и их рас-

шифровка идентичны во всех таблицах.

Из табл. 2 видно, что в течение первого часа после в/в инъекции ПФ систолические фазы СЦ, так же как продолжительность самого цикла, не претерпевают существенных изменений. Наблюдающиеся флуктуации средних величин (X) на этих этапах не являются статистически достоверными, за исключением уменьшения длительности механической (СМ) и общей (СД) систол через 5 мин после инъекции ПФ ($P < 0,05$) и увеличения длительности СЦ через 1 ч ($P < 0,01$). Хотя в абсолютном и процентном выражении вышеуказанные сдвиги достаточно малы, их статистическая достоверность и направленность изменений удельного значения (Y), т. е. % данных параметров в общей продолжительности СЦ, позволяет говорить о том, что даже по комплексной оценке изменений только систолических фаз можно говорить о проявлении кардиостимулирующего действия ПФ уже через 5 мин после в/в инъекции. Об этом говорят и изменения некоторых диастолических фаз и производных величин систолы левого желудочка на этих ранних этапах наблюдения (табл. 3).

Весь дальнейший период наблюдения, вплоть до конца 1-го опытного дня, вышеуказанные изменения ФССЛЖ становятся еще более выраженным. Достаточно отметить, что через 3 ч после инъекции как абсо-

лютные, так и удельные значения почти всех изучаемых систоло-диастолических параметров ФС СЦ статистически достоверно отличаются от фоновых значений и общая направленность этих изменений указывает на гипердинамический сдвиг, существ-

асинхронного сокращения (параметр 6) и период напряжения в целом (параметр 5), можно однозначно утверждать, что ПФ увеличивает скорость охвата миокарда электрическим возбуждением и усиливает эффективность мембранны-миофибриль-

ТАБЛИЦА 1
ИЗМЕНЕНИЯ ЭКСКИСИИ И СИСТЕМНОЙ ГЕМОДИНАМИКИ КРОЛИКОВ НА РАЗНЫХ
СТАПАХ ПОСЛЕ ВЪВ ВВЕДЕНИЯ ПЛАФЕРОНА В ДОЗЕ 0,2 МГ/КГ

ПП:	ФАЗЫ СЦ И ПОКАЗАТЕЛИ	I		II		III		ЧЕРЕЗ 1 ЧРС		ЧЕРЕЗ 3 ЧРС		ЧЕРЕЗ 24 ЧРС	
		I	X1	M1	X2	M2	X3	M3	X4	M4			
1.1	СЕРДЕЧНЫЙ ЦИКЛ (СЦ) В МИЛЛИСЕКУНДАХ	I	237.82	0.533	I	240.04	0.5121	232.16	0.2781	240.05	0.2871		
1.2	СИСТОЛА	I	-	-	I	-	-	I	-	I	-		
1.3	ЭЛЕКТРИЧЕСКАЯ	I	146.87	0.9161	I	148.39	0.2981	141.42	0.8481	138.92	0.6331		
1.4	МЕХАНИЧЕСКАЯ	I	186.56	0.8691	I	186.28	0.6981	196.46	0.7821	168.78	0.7911		
1.5	ЭЛЕКТРОМЕХАНИЧЕСКАЯ «СОБЫТИЯ»	I	138.97	0.5491	I	139.14	0.6461	126.58	0.5511	138.84	0.5691		
1.6	ПЕРИОД НАПРЯЖЕНИЯ	I	68.44	1.8471	I	71.21	22.36	0.8741	28.38	0.5191	29.32	0.5361	
1.7	ФАЗЫ АСИНХРОННОГО СОКРАЩЕНИЯ	I	31.44	1.7041	I	27.53	1.7041	24.36	0.8311	22.92	0.9581	23.55	1.0641
1.8	ФАЗЫ ИЗОМЕТРИЧЕСКОГО СОКРАЩЕНИЯ	I	79.03	1.7041	I	81.92	0.4621	73.54	0.6481	85.16	0.7411		
1.9	ФАЗЫ БЫСТРОГО ИЗГИБА «БР»	I	45.90	0.7761	I	47.79	0.7821	41.35	0.2491	42.75	0.2581		
1.10	ФАЗЫ МЕДЛЕННОГО ИЗГИБА «СИ»	I	33.12	1.6471	I	34.13	0.8441	32.19	0.6881	42.41	0.7851		
1.11	ДИАСТОЛА	I	-	-	I	-	-	I	-	I	-		
1.12	ЭЛЕКТРИЧЕСКАЯ	I	90.95	1.8681	I	91.64	0.5881	98.73	0.8921	101.13	0.8811		
1.13	МЕХАНИЧЕСКАЯ	I	131.26	1.8371	I	133.75	0.8591	135.78	0.7551	131.13	0.8421		
1.14	АРТИОСИСТОЛИЧЕСКАЯ ФАЗА ДИАСТОЛЫ	I	55.06	0.6121	I	50.34	0.6681	47.45	0.4771	49.07	0.4931		
1.15	ГЕМОДИНАМИЧЕСКАЯ ИНТЕРВАЛ (HEGOLIN)	I	7.89	1.8671	I	9.25	0.7881	-14.08	1.0111	-8.08	1.0891		
1.16	СИСТОЛИЧЕСКАЯ ПОКАЗАТЕЛЬ	I	-	-	I	-	-	I	-	I	-		
1.17	ПО ЭКГ	I	0.62	0.0871	I	0.62	0.0831	0.61	0.0861	0.58	0.0861		
1.18	ПО ФГР	I	0.45	0.0831	I	0.44	0.0831	0.42	0.0821	0.45	0.0821		
1.19	СИСТОЛИЧЕСКАЯ КОЭФФИЦИЕНТ (KUNOS)	I	72.56	1.0421	I	71.62	0.6781	68.21	0.9431	78.26	0.9431		
1.20	ВС ПОКАЗАТЕЛЬ (КАРПИАН%)	I	74.17	2.0191	I	77.08	0.8611	76.24	1.1351	78.34	1.1351		
1.21	ВС КОЭФФИЦИЕНТ (BLUMBERGER)	I	1.38	0.8351	I	1.44	0.8221	1.43	0.8231	1.61	0.8241		
1.22	ИНДЕКС НАПРЯЖ. МИОКАРДА (КАРПИАН)	I	43.05	0.3061	I	40.77	0.2181	40.53	0.2161	40.41	0.2331		
1.23	ОТНОШЕНИЕ ФАЗ МИ И БИ	I	0.72	0.0531	I	0.71	0.0291	0.78	0.0221	0.99	0.0191		
1.24	АРТЕРИАЛЬНОЕ ДАВЛЕНИЕ	I	-	-	I	-	-	I	-	I	-		
1.25	МАКСИМАЛЬНОЕ	I	110.48	2.0641	I	136.78	2.5561	118.00	2.2071	116.88	2.1841		
1.26	МИНИМАЛЬНОЕ	I	76.48	1.4291	I	96.38	1.0811	83.88	1.5521	81.78	1.5281		
1.27	СРОЧЕК (WEBLER-BÖGER)	I	91.82	2.5111	I	113.67	3.1271	98.05	2.6981	96.79	2.6651		
1.28	СКОР. ПОВОРОТ ВМД (КАРПИАН) ММНГ/СЕК	I	2593.00	48.6121	I	3746.43	49.3001	3482.05	42.5611	3255.67	42.5191		
1.29	СКОР. ИСПОЛ. СО (СВОРОТКИН) МЛ/СЕК	I	12.15	0.3841	I	24.54	0.6131	19.31	0.4031	15.15	0.3791		
1.30	ПЛЬС В МИНУТУ	I	252.29	4.0371	I	249.96	3.9991	258.45	4.1351	249.95	3.9991		
1.31	ДЫХАНИЕ В МИНУТУ	I	63.08	2.3941	I	64.88	2.4321	67.08	2.5461	65.00	2.4791		
1.32	СИСТ. ДЕФЕМ	I	0.96	0.0241	I	2.01	0.0581	0.98	0.0361	1.29	0.0321		
1.33	МИНУТНЫЙ ДЕФЕМ <МД>	I	242.20	4.9651	I	582.42	18.3081	366.99	7.5231	322.43	6.6181		
1.34	ОПС (ДИА/СЕК) СМЧ=>18*	I	3085.66	1.2201	I	3889.53	91.1321	2136.83	81.3241	2480.96	83.3331		
1.35	СИСТОЛИЧЕСКИЙ ИНДЕКС (МЛ/М=>2)	I	7.09	0.8811	I	14.81	0.1691	10.47	0.1191	9.51	0.1081		
1.36	ВХ ИМПЕДАНС (ДИА/СЕК) СМЧ=>5	I	1067.78	3.8861	I	1097.40	20.5211	1208.06	22.5911	1544.42	28.8811		
DB1:[2]=	136.4/[3]=	111.0/[4]=	129.4/[5]=	07.0/[12]=	126.8								
DB2:[2]=	137.4/[3]=	111.7/[4]=	130.3/[5]=	07.9/[12]=	128.8								
DB3:[2]=	132.9/[3]=	109.1/[4]=	127.8/[5]=	08.4/[12]=	123.7								
DB4:[2]=	137.4/[3]=	111.7/[4]=	130.3/[5]=	07.9/[12]=	126.8								

венное улучшение функционального состояния сердца и оптимизацию систоло-диастолических взаимоотношений электрических и механических проявлений его деятельности (см. табл. 2 и 3). Вместе с этим следует указать, что увеличение интервала Хегглина (параметр 22) не может быть показателем дефицита реполяризационных процессов, поскольку отрицательный сдвиг происходит за счет укорочения механической систолы, а не удлинения электрической, которая в большинстве случаев тоже укорачивается, но в меньшей степени. Если учесть, что одновременно увеличивается скорость сино-вентрикулярной проводимости (уменьшение параметра 21) и укорачивается фаза

лярной проводимости. Более того, отсутствие существенных изменений частоты сердцебиений (ЧСБ) на всех этапах наблюдения, т. е. колебания длительности СЦ лишь в пределах ± 2.2 мс (максимум 2%), позволяет заключить, что возрастает электрическая стабильность миокарда.

Таким образом, результаты фазового анализа СЦ указывают на то, что исследуемый препарат оказывает выраженное кардиостимулирующее воздействие. Однако в какой мере это только прямой кардиотропный эффект, по рассмотренным выше данным судить невозможно. Относительно большую информацию можно получить путем анализа результатов

изменений системной гемодинамики (табл. 4).

В течение 1 ч после введения препарата как максимальное, так и

исследованных нами временных интервалов. Однако и по ним отчетливо видно, что системная гемодинамика претерпевает очень существенные

ТАБЛИЦА 2

ДИНАМИКА ИЗМЕНЕНИЯ СИСТОЛИЧЕСКИХ ФАЗ СЦ НА РАЗНЫХ ЭТАПАХ ПОСЛЕ В/В ВВЕДЕНИЯ ПЛАФЕРОНА В ДОЗЕ 0,2 МГ/КГ МАССЫ ТЕЛА

среднее АД заметно повышенено с большой вероятностью достоверности различия ($P < 0,001$). В табл. 4 приведены результаты изменений системной гемодинамики лишь на некоторых из

изменения. Так, например, через час после в/в инъекции препарата максимальное АД увеличено на 24% и более, а минимальное — на 8%. В обоих случаях $P < 0.001$. Через 2 ч

среднее значение АД в исследуемой группе животных практически возвращается к исходной величине, хотя во всех случаях, вплоть до 48 ч,

висимо от уровня АД на ~~всех~~^{всех} этапах исследования, вплоть до ~~48~~⁴⁴ ч. Так же на всех этапах наблюдения значительно увеличен систолический об-

ТАБЛИЦА 3
ДИНАМИКА ИЗМЕНЕНИЯ ДИАСТОЛИЧЕСКИХ ФАЗ СЦ И ПОКАЗАТЕЛЕЙ СИСТОЛЫ НА РАЗНЫХ ЭТАПАХ ПОСЛЕ В/В ВВЕДЕНИЯ ПЛАФЕРДОНА

I	ЭТАПЫ И	I	С	ДИАСТОЛА	I	ГДИ	I	СП ПО	I	СК	I	ВСП И	I	ИММ ИММ											
I	ВИД	I	T	T	I	Э	I	М	I	АСФД	I	ЭКГ И	F	10:00											
I	N	I	P	I	11	I	12	I	21	I	22	I	23	I	24	I	25	I	26	I	27	I	28	I	29
ИГ-П:01-00	I	X	I	91.01131.31	55.11	-7.910.	61810.	4401	72.61	74.21	1.30143.	051	0.721												
I	ФОН	I	VD	I	38.24155.	19123.	151-3.	321	I	I	I	I	0.34*	I	5:4*										
I	I	I	M1	I	0.06011.	03710.	61210.	06710.	003110.	04212.	01910.	03510.	30610.	05321											
I	I	I	MY	I	0.44610.	43610.	25710.	4491	I	I	I	I	I	I	I										
ИГ-П:01-02	I	X	I	88.01133.	61	48.41-11.	710.	62810.	4351	69.21	76.21	1.36141.	981	0.781											
I	VD	I	37.22156.	54120.	471-4.	951	I	I	I	I	I	I	I	I											
I	ЧЕРЕЗ 5 МИН	I	M1	I	0.73610.	96210.	42710.	72810.	00410.	00310.	861110.	22210.	02710.	25610.	0321										
I	I	I	MY	I	0.32120.	40710.	18110.	3001	I	I	I	I	I	I											
I	I	I	P1	I	<0.5	I<0.1	I<001	I<.05	I<0.1	I<.01	I<.05	I>0.5	I<0.1	I<.01	I<.05										
I	I	I	P2	I	<0.1	I<.05	I<001	I<.05	I	I	I	I	I	I	I										
ИГ-П:01-04	I	X	I	91.61133.	81	58.31	-9.310.	61810.	4431	71.61	77.11	1.44140.	771	0.711											
I	VD	I	38.18155.	72120.	971-3.	361	I	I	I	I	I	I	I	I											
I	ЧЕРЕЗ 1 ЧАС	I	M1	I	0.58810.	05910.	66810.	78010.	00310.	00310.	67810.	86110.	02210.	21810.	0291										
I	I	I	MY	I	0.24510.	35610.	27810.	2951	I	I	I	I	I	I											
I	I	I	P1	I	>0.5	I<0.1	I<001	I<.01	I<.05	I<0.1	I<.05	I>0.5	I<0.1	I<.01	I<001	I>0.5									
I	I	I	P2	I	>0.5	I>0.5	I<001	I<.05	I	I	I	I	I	I											
I	I	I	P3	I	<0.1	I>0.5	I<.05	I<.01	I<0.1	I<.05	I<.05	I>0.5	I<.05	I<.01	I>0.5										
I	I	I	P4	I	<0.1	I<.01	I<.01	I<.01	I	I	I	I	I	I											
ИГ-П:01-06	I	X	I	92.21134.	41	58.41-11.	710.	61710.	4421	71.71	73.71	1.34142.	641	0.761											
I	VD	I	38.25155.	76120.	901-4.	841	I	I	I	I	I	I	I	I											
I	ЧЕРЕЗ 2 ЧАСА	I	M1	I	0.88610.	99810.	18610.	81610.	00510.	00310.	930110.	16610.	02410.	22810.	0241										
I	I	I	MY	I	0.36710.	41410.	07710.	3281	I	I	I	I	I	I											
I	I	I	P1	I	>0.5	I<0.5	I<001	I<.05	I<0.5	I<0.1	I<0.5	I>0.5	I<0.1	I<.01	I<0.5										
I	I	I	P2	I	>0.5	I>0.5	I<001	I<.05	I	I	I	I	I	I											
I	I	I	P3	I	>0.5	I>0.5	I<0.5	I<.05	I>0.5	I>0.5	I>0.5	I>0.5	I<0.5	I<.01	I<0.5										
I	I	I	P4	I	>0.5	I>0.5	I>0.5	I<.05	I	I	I	I	I	I											
ИГ-П:01-07	I	X	I	90.71135.	71	47.51-14.	910.	60910.	4151	68.21	76.21	1.43140.	531	0.781											
I	VD	I	39.08150.	45120.	441-6.	411	I	I	I	I	I	I	I	I											
I	ЧЕРЕЗ 3 ЧАСА	I	M1	I	0.89210.	75510.	47710.	01110.	00610.	00210.	943110.	13510.	02310.	21610.	0221										
I	I	I	MY	I	0.38410.	32510.	20510.	4251	I	I	I	I	I	I											
I	I	I	P1	I	>0.5	I<0.1	I<001	I<.01	I<.05	I<001	I<.01	I<.05	I<0.1	I<001	I<0.5										
I	I	I	P2	I	<0.1	I<001	I<001	I<.01	I	I	I	I	I	I											
I	I	I	P3	I	<0.1	I<0.1	I<001	I<.05	I<0.1	I<001	I<.05	I<0.1	I<.05	I<001	I>0.5										
I	I	I	P4	I	<0.1	I<001	I<.01	I<.01	I	I	I	I	I	I											
ИГ-П:01-08	I	X	I	101.11131.	31	49.11	-8.110.	57910.	4531	78.31	78.31	1.61140.	441	0.991											
I	VD	I	42.13154.	71120.	441-3.	371	I	I	I	I	I	I	I	I											
I	ЧЕРЕЗ 24 ЧАСА	I	M1	I	0.88110.	84210.	493110.	00910.	00610.	00210.	943110.	13510.	02410.	23310.	0191										
I	I	I	MY	I	0.36710.	35110.	20510.	4201	I	I	I	I	I	I											
I	I	I	P1	I	<001	I0.5	I<001	I0.5	I<0.5	I<01	I<0.1	I<01	I<0.1	I<001	I<.01										
I	I	I	P2	I	<001	I0.5	I<001	I0.5	I	I	I	I	I	I											
I	I	I	P3	I	<001	I<.01	I0.5	I<.01	I<01	I<001	I<.01	I<001	I<.05	I<001	I<0.5										
I	I	I	P4	I	<001	I<001	I0.5	I<001	I	I	I	I	I	I											
ИГ-П:01-09	I	X	I	98.71130.	41	48.61	-9.410.	58510.	4521	77.21	77.91	1.45140.	771	0.971											
I	VD	I	41.52154.	84120.	441-3.	971	I	D	I	I	I	I	I	I											
I	ЧЕРЕЗ 4 ЧАСА	I	M1	I	0.88010.	83110.	488110.	00610.	00610.	00210.	943110.	13510.	02410.	23610.	0201										
I	I	I	MY	I	0.37010.	35010.	20510.	4231	I	I	I	I	I	I											
I	I	I	P1	I	<001	I0.5	I<001	I<0.1	I<01	I<0.5	I<0.1	I<01	I<001	I<001	I<.01										
I	I	I	P2	I	<001	I0.5	I<001	I<0.1	I	I	I	I	I	I											
I	I	I	P3	I	<0.1	I0.5	I<0.5	I<0.5	I<0.5	I<0.5	I<0.5	I<0.5	I<0.5	I<0.5											
I	I	I	P4	I	<0.1	I0.5	I<0.5	I<0.1	I	I	I	I	I	I											

превышает фон. Вместе с этим уже с первых минут резко возрастает скорость повышения внутрижелудочкового давления (СПВД — параметр 33), и этот сдвиг наблюдается независимо от величины избыточного давления.

ем (СО — параметр 38), скорость его изгнания (СИСО — параметр 40) и систолический индекс (СИ — параметр 42). При этом указанные сдвиги являются статистически до-



стоверными с большой вероятностью ($P < 0,001$).

Особое внимание следует обратить на динамику изменений общего периферического сопротивления (ОПС — параметр 41) и входного артериального импеданса (Z — параметр 43). Их уменьшение отмечается как на начальном гипертензивном этапе после в/в инъекции ПФ, так и после

турь СЦ и системной гемодинамики после в/в введения ПФ в дозе 0,2 мг/кг, что позволяет предположить, что старлинговский механизм инотропного действия не является единственным и может даже ведущим. Еще какие другие кардиальные и экстракардиальные механизмы обуславливают эти эффекты, пока трудно объяснить. Однако есть основание предположить,

ТАБЛИЦА 4
ДИНАМИКА ИЗМЕНЕНИЙ СИСТЕМНОЙ ГЕМОДИНАМИКИ КРОЛИКОВ НА РАЗНЫХ ЭТАПАХ ПОСЛЕ В/В ВВЕДЕНИЯ ПЛАФЕРОНА В ДОЗЕ 0,2 МГ/КГ

I	I	I	АРТЕРИАЛЬНОЕ	I	I	I	I	I	СИСТОЛИЧЕСКИЙ	I	I	I	I	I	I			
И	ЭТАПЫ И	I	ДАВЛЕНИЕ	I	I	I	I	I	ОБЪЕМ	I	I	I	I	I	I			
I	I	I	ИСПЫТАНИЯ СИСОИ ЧСВ И ЧД	I	I	I	I	I	МОК	I	ОПС И СИ	I	I	I	I			
I	ВИД	I	МКС И МИН И СРД И	I	60	I	I	I	ST	I	ТД И МРТ	I	100	I	10			
I	I	I	И	I	30	I	31	I	32	I	33	I	34	I	35			
ИГ-П.01-00	I	X	I	118.41	76.41	91.81	2593	I	12.11252	I	63.810.	96810.	0001242.21	381.1	7.11.187.1			
И	ФОН	I	M1	1.2.641	1.431	2.51148	611	I	8.381	4.841	2.391	8.001	8.021	8.081	4.971	8.431	8.081	3.491
ИГ-П.01-02	I	X	I	136.81	95.81113.	4137517.	I	16.21253	I	57.810.	00011.27810	0001322.41	281.1	9.41.169.1	I	I	I	I
I	M1	I	2.5581	1.791	3.12153.	331	I	8.411	4.061	2.171	8.001	8.031	8.081	6.61118.271	8.111	3.151	I	I
ИЧЕРЕЗ 3 МИН И	I	P1	I	<001	I<001	I<001	I<001	I	>0.5	I<0.1	I>0.5	I<0.5	I<0.5	I<0.5	I<0.5	I<0.5	I<0.5	I<0.5
ИГ-П.01-04	I	X	I	136.71	96.31113.	713746.	I	24.51258.	I	64.810.	00012.01612.	0001502.41	181.1	14.81.118.1	I	I	I	I
I	M1	I	2.5561	1.801	3.13149.	381	I	8.611	4.431	2.431	8.001	8.051	8.081	8.081	8.081	8.081	8.081	2.051
ИЧЕРЕЗ 1 ЧАС	I	P1	I	<001	I<001	I<001	I<001	I	>0.5	I>0.5	I>0.5	I>0.5	I>0.5	I>0.5	I>0.5	I>0.5	I>0.5	I>0.5
I	P2	I	>0.5	I>0.5	I>0.5	I>0.5	I>0.5	I	<0.5	I<0.5	I<0.5	I<0.5	I<0.5	I<0.5	I<0.5	I<0.5	I<0.5	I<0.5
ИГ-П.01-06	I	X	I	113.81	81.81	94.812711.	I	17.91249.	I	64.810.	00011.41810	0001350.	91.216.1	18.41.119.1	I	I	I	I
I	M1	I	2.1131	1.511	2.66135.	141	I	8.451	3.981	2.431	8.001	8.041	8.081	7.191	7.931	8.121	2.221	
ИЧЕРЕЗ 2 ЧАСИ	I	P1	I	>0.5	I<0.5	I<0.5	I<0.5	I	>0.5	I>0.5	I>0.5	I>0.5	I>0.5	I>0.5	I>0.5	I>0.5	I>0.5	I>0.5
I	P2	I	<001	I<001	I<001	I<001	I<001	I	>0.5	I>0.5	I>0.5	I>0.5	I>0.5	I>0.5	I>0.5	I>0.5	I>0.5	I>0.5
ИГ-П.01-07	I	X	I	116.81	83.81	98.113120.	I	19.31258.	I	67.810.	00011.42810	0001367.	61.214.1	19.51.121.1	I	I	I	I
I	M1	I	2.2071	1.551	2.70142.	561	I	8.481	4.141	2.551	8.001	8.041	8.081	7.521	8.191	8.121	2.261	
ИЧЕРЕЗ 3 ЧАСИ	I	P1	I	<0.5	I<0.1	I<0.1	I<0.1	I	>0.5	I>0.5	I>0.5	I>0.5	I>0.5	I>0.5	I>0.5	I>0.5	I>0.5	I>0.5
I	P2	I	<0.1	I<0.1	I<0.1	I<0.1	I<0.1	I	>0.5	I>0.5	I>0.5	I>0.5	I>0.5	I>0.5	I>0.5	I>0.5	I>0.5	I>0.5
ИГ-П.01-08	I	X	I	116.81	81.71	96.811256.	I	15.11249.	I	65.810.	00011.29810	0001322.41	240.1	9.51.154.1	I	I	I	I
I	M1	I	2.1841	1.531	2.67142.	521	I	8.391	4.081	2.471	8.001	8.031	8.081	6.6118.351	8.111	2.891		
ИЧЕРЕЗ 24 ЧАСИ	I	P1	I	<0.5	I<0.5	I<0.5	I<0.5	I	>0.5	I>0.5	I>0.5	I>0.5	I>0.5	I>0.5	I>0.5	I>0.5	I>0.5	I>0.5
I	P2	I	>0.5	I>0.5	I>0.5	I>0.5	I>0.5	I	<0.5	I<0.5	I<0.5	I<0.5	I<0.5	I<0.5	I<0.5	I<0.5	I<0.5	I<0.5
ИГ-П.01-09.	I	X	I	112.61	79.41	93.713128.	I	14.11252.	I	61.810.	00011.18810	0001297.	61.252.1	8.71.157.1	I	I	I	I
I	M1	I	2.1061	1.481	2.58139.	921	I	8.351	4.041	2.321	8.001	8.031	8.081	6.111.6.191	8.101	2.931		
ИЧЕРЕЗ 48 ЧАСИ	I	P1	I	>0.5	I<0.1	I<0.1	I<0.1	I	>0.5	I>0.5	I>0.5	I>0.5	I>0.5	I>0.5	I>0.5	I>0.5	I>0.5	I>0.5
I	P2	I	<0.1	I<0.1	I<0.1	I<0.1	I<0.1	I	>0.5	I>0.5	I>0.5	I>0.5	I>0.5	I>0.5	I>0.5	I>0.5	I>0.5	I>0.5

возвращения уровня АД к близким к фону значениям.

Из рассмотренных выше данных однозначно следует, что ПФ Э-10 обладает не только кардиостимулирующим действием, но и является вазоактивным препаратом, снижающим, с одной стороны, тонус резистивных отделов сосудистого русла, а с другой — увеличивающим тканевую перфузию за счет расширения капиллярной сети. В связи с этим может возрастать венозный возврат за счет увеличения скорости циркуляции или повышения венозного давления и, в соответствии с законом Старлинга, должно произойти не только увеличение систолического выброса, но и силы сердечного сокращения. Общий характер изменений фазовой струк-

что препарат обладает способностью мобилизации депонированной крови и увеличения ее циркулирующего объема. Иначе трудно объяснить столь резкое увеличение СО, СН и СИСО на фоне столь резкого уменьшения ОПС и входного артериального импеданса при практически исходном АД.

В ходе выполнения настоящей работы возникнал и такой вопрос: не являются ли наблюдаемые кардиогемодинамические сдвиги вторичными, компенсаторными или адаптивными реакциями на общую неспецифическую метаболическую активацию, возрастание энергозатрат и т.д. Следовало ожидать, что в этом случае, хотя бы на начальном этапе, должны были наблюдаться адаптив-



ные изменения внешнего дыхания и ритма сердцебиений, чего на самом деле не происходит — на всех этапах наблюдения частота сердцебиений и дыхания не претерпевает — изменений в пределах статистической достоверности, за исключением кратковременной эмоциональной реакции в момент прокалывания кожи перед инъекцией препарата. Кроме того, нельзя не обратить внимание на столь длительное стимулирование кардио-гемодинамики. Редко какой-либо фармакохимический препарат

или даже стероидный анаболик обладает таким действием. В связи с этим не лишено основания предположение, что препарат запускает пока неизвестные эндогенные механизмы, поддерживающие интенсивное функционирование сердечно-сосудистой системы в целом в течение большого срока, чем время его фармакологического действия. Все эти вопросы требуют дальнейшего анализа и обобщения с позиций возможного использования данного препарата в клинической практике.

ЛИТЕРАТУРА

- Джавахишвили Н. А., Бахуташвили В. И., Цагарели З. Г., Бахуташвили А. В. Экспериментальная морфология сердца и кровеносных сосудов. Киев, 1989, 21–23.
 - Карпецкий В. В., Соловьев С. В., Рерих Р. А. Пат. физиол. и эксп. тер., I, 74–77, 1986.
 - Лишманов Ю. Б., Амосов Е. Н., Слепушкин В. Д., Яременко К. В. Бюлл. экспер. биол. и мед., 8, 199–200, 1984.
 - Надарейшвили К. Ш., Джанджава М. М., Санебидзе О. И., Шарашенидзе Н. Б., Хуприя М. Н.

- Вопр. биол. и мед. техники (Тр. БМТО Грузии), 2, 203—210, 1974.

 5. Надарейшивили К. Ш., Фейгин Г. В., Алибеков А. Ф., Джанджава М. М., Шарашенидзе Н. Б. Вопр. биол. и мед. техники (Тр. БМТО Грузии), 4, 1978, 213—245.
 6. Павленко В. С., Слепунский В. Д., Лишманов Ю. Б., Золотов Г. К., Титов М. И. Вопр. мед. химии, 6, 61, 1984.
 7. Хлыстов В. В., Усынин А. Ф., Павленко В. С., Слепушкин В. Д. Бюлл. экспер. биол. и мед., 3, 326—365, 1983.

ପ୍ରଦୀପିରାନ୍ତରେ ୧-୧୦-୮ ମାର୍ଗରେ କାହାର କାହାରଙ୍କିରି ଶୁଣ୍ଡିଲେ କୋଣିଲେ ଏବଂ କାହାରଙ୍କିରି କାହାରଙ୍କିରି

2. ପ୍ରାଚୀନତାକାଳୀନ, 3. ଧୂଳିଶତାବ୍ଦୀକାଳୀନ, 4. ଗୋଟିଏକାଳୀନ, 5. ଶିଥିରାଜାକାଳୀନ, 6. ପ୍ରାଚୀନତାକାଳୀନ

საქართველოს სსრ მცნიერებათა აკადემიის ა. ნათიშვილის სახელობის ექსპერიმენტალური მოძრაობისათვის ინსტიტუტი, თბილისი

၁၃၀၈၂

ქრისტიანული ცდების პირობებში
ბოცვრებზე, რომელთაც ჩანერგილი
ჰქონდათ პრესტიტნალური ელექტროდე-
ბი ტეტრაბოლარული რეოგრამის, უკა-
და სუნთქვის რეგისტრაციისათვის, აგ-
რეთვე ენდოაორტიალური კათეტერი არ-
228

მაღალეფექტური მასტიმულინებელი მოქმედება მოიკარდიუმის შეკუმშვის-უნარიანობაზე და სისტემურ ჰემოდინამიკაზე, რაც გამოიხატება მარცხენა პარკუჭის სისტოლის ელექტრული და შექანიური კორელატების გამოვლინების ოპტიმიზაციასა და გულის კუნთის ელექტრული სტაბილობის გაზრდაში, საერთო პერიფერიული წინააღმდეგობისა და არტერიული ქსელის იმპედანსის შემ-

ცირკების ფონზე სისტოლური ინდექსის გაზრდაში, გულის შეკუმშვის სისტოლისა და სუნთქვის სარწმუნო ცელილებების გარეშე. ეფექტი ვლინდება ინეტრიდან 15—20 წთ შემდეგ, ერთი საათის განმავლობაში აღწევს შექსიმუმს და მთელი რიცი ნიშნების მიხედვით შენარჩუნებულია 1—2 დღის განმავლობაში სტატისტიკურად სარწმუნო დონეზე.

THE ACTION OF PLAPHERON (E-10) ON THE PHASE STRUCTURE OF CARDIAC CYCLE AND SYSTEMIC HEMODYNAMICS IN RABBITS

N. A. JAVAKHISHVILI, V. I. BAKHUTASHVILI, I. G. MEGRELADZE,
G. V. CHIKOBAVA, R. J. Gvetadze, K. Sh. NADAREISHVILI

A. N. Natishvili Institute of Experimental Morphology, Georgian Academy of Sciences, Tbilisi, USSR

I. S. Beritashvili Institute of Physiology, Georgian Academy of Sciences, Tbilisi, USSR

The changes of phase structure of cardiac cycle and systemic haemodynamics were studied after intravenous (i/v) injection of 0.2 mg/kg of plapheron E-10 in chronic experiments on rabbits with implanted presternal electrodes for the registration of tetrapolar rheogramme, EEG and respiration, as well as the endoaortal catheter for the registration of arterial pressure. The highly effective stimulating action of the given preparation was found on the myocardial contraction and systemic hemodynamics, which was revealed

by increases of electrical stability and optimisation of electromechanical correlation of the left ventricle systole and the increase of heart index against the background of total peripheral resistance and arterial network impedance decrease without noticeable changes of heart beat and respiration rate. The effect manifests itself in 15—20 min, reaches the maximum in an hour and according to a number of parameters persists during 1—2 days on a statistically reliable level.

УДК 591.88 : 611.813.12

ГИСТОЛОГИЯ

ВЛИЯНИЕ ГИПОКИНЕЗИИ НА ГЛИАНЕЙРОНАЛЬНЫЕ СООТНОШЕНИЯ В ДВИГАТЕЛЬНОЙ КОРЕ МОЗГА БЕЛЫХ КРЫС

Н. А. Костенко, И. М. Какабадзе

Институт физиологии им. И. С. Бериташвили АН ГССР, Тбилиси

Поступила в редакцию 11.01.89

На световом и электронно-микроскопическом уровнях исследовалось влияние 40-суточной гипокинезии на нейроно-глиальные взаимоотношения двигательной коры мозга половозрелой крысы.

Анализ распределения глиальных клеток показал, что число астроцитов увеличивалось на 42,3%, общее же количество олигодендроцитов уменьшалось на 9,5%. В верхнем комплексе слоев наблюдалось перераспределение сателлитной глии, что выражалось в увеличении количества нейронов с 2—4 сателлитами.

40-суточная гипокинезия вызывает вультраструктуре нейронов, глиоцитов и клеток капиллярной системы нерезкие сдвиги, охватывающие почти всю кору. Выявлен различный характер реактивных изменений олигодендроцитов и астроцитов. Некоторая часть олигодендроцитов гипертрофирована. Часть глиоцитов подверглась деструктивным сдвигам, другая же обнаруживала скопления в виде групп по 3—5 клеток с нормальными характеристиками структурной организации.

Длительная депривация двигательной активности, гипокинезия, неблагоприятно влияет на нормальное функционирование ЦНС, о чем свидетельствуют данные экспериментальной и клинической неврологии. В настоящее время гипокинезия рассматривается как риск-фактор, астенизирующий нервную систему, который в сочетании с информационно-эмоциональными перегрузками детерминирует предnevротические состояния и недифференцированные формы расстройств высшей нервной деятельности [17].

В частности, в спинном и головном мозгу наблюдаются отчетливые гистохимические [5, 8, 10] и морфоло-

гические изменения [1, 3, 7, 9, 13, 16]. В морфологических работах, выполненных на световом и электронно-микроскопических уровнях, обращалось внимание на сдвиги в архитектонических параметрах или на реактивные изменения клеточных органелл отдельных нейронов, элементов сосудистой стенки и глии.

Целью нашей работы было исследование нейроно-глиальных взаимоотношений при гипокинезии и выявление характера реактивной специфичности разных типов глиальных клеток (олигодендроцитов и астроцитов), несущих, как известно, разную функциональную нагрузку.

МАТЕРИАЛ И МЕТОДЫ

Исследование проводилось на 14 половозрелых белых крысах-самцах, 4 из которых входили в контрольную группу; остальные животные в течение 40 суток содержались

в специальных индивидуальных камерах-отсеках в условиях максимального ограничения движения. По истечении этого срока мозг наркотизированных нембуталом (40 мг/кг) жи-

зотных перфузировали введением через аорту 2,5%-ного глютаральдегида на фосфатном буфере (рН-7,4).

Для светооптических исследований (6 животных) мозг по извлечении из черепа промывался в фосфатном буфере и помещался в 10%-ный раствор формалина. Кусочки мозга заливались в парафин. Срезы толщиной в 15 мкм окрашивались крезил-виолетом и галлоцианин-хромовыми квасцами по Эйнарсону. Для количественной оценки соотношений нейронов и нейроглии подсчитывались ядра нейронов, олигодендроцитов и астроцитов, а также нейронов с разным числом сателлитов. Подсчеты проводились во всех слоях коры, кроме первого слоя, где практически нет нейронов и нет возможности вывести глиальные индексы. Выводились как

общие глиальные индексы, так и олигодендроцитные и астроцитарные. Обработка количественных данных и сравнительный анализ полученных результатов проводились методами вариационной статистики по Стьюденту.

Для электронно-микроскопического исследования (4 животных) обработка материала производилась по общепринятой методике с заключением в араллит. Ультратонкие срезы контрастировались раствором лимонно-кислого свинца и исследовались в электронном микроскопе JEM-100C. Контроль выделения слоев осуществлялся под световым микроскопом на срезах, изготовленных из соответствующих блоков и окрашенных крезил-виолетом.

РЕЗУЛЬТАТЫ ИССЛЕДОВАНИЯ И ИХ ОБСУЖДЕНИЕ

Результаты количественного анализа распределения нейронов и нейроглиальных клеток в контроле и в экспериментальном материале (40-су-

ммарно по всем слоям на 42,3%. Послойный анализ распределения астроцитов выявил, что это изменение обусловлено увеличением числа аст-

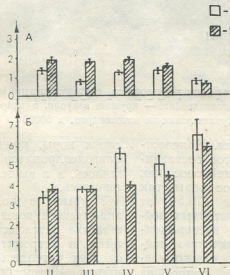


Рис. 1. Среднее число астроцитов (A) и олигодендроцитов (Б) в слоях коры мозга — поле 4: 1 — контроль, 2 — гипокинезия

точная гипокинезия) приведены на рисунках.

Подсчет количества астроцитов показал, что их число увеличилось

в верхнем комплексе слоев — II—IV ($p < 0,02$). В нижнем комплексе слоев (V—VI) число астроцитов увеличивалось лишь на 5%. Об-

щее количество олигодендроцитов по всем слоям уменьшалось на 9,5%. Это произошло за счет IV, V, VI слоев ($p < 0,02$), в то время как во II и III слоях их число не изменилось (рис. 1). Соответствующие глиальные индексы подтвердили такую направленность изменений количества нейроглиальных клеток: астроцитарный индекс в верхнем комплексе слоев был 0,08, стал 0,12, в нижнем комплексе слоев был 0,13, стал 0,12; олигодендроцитный индекс в верхнем комплексе слоев был 0,33, стал 0,32, в нижнем комплексе слоев был 0,75, стал 0,56.

Особое внимание обращалось на распределение олигодендроцитов и астроцитов по отношению к нейро-

к увеличению количества нейронов, имеющих сателлиты.

Анализ распределения сателлитных олигодендроцитов и астроцитов показал, что количество сателлитных астроцитов в экспериментальном материале увеличилось на 14%, а число сателлитных олигодендроцитов возросло лишь на 2% по сравнению с контролем. Соответствующие глиальные индексы подтвердили эти данные, т. е. можно говорить о незначительном изменении количества сателлитных нейроглиальных клеток. При рассмотрении послойного распределения сателлитных глиальных клеток обращает на себя внимание тот факт, что увеличение количества сателлитных астроцитов отмечается во всех



Рис. 2. Фрагменты перикарионов олигодендроцита и нейрона; в олигодендроците — крупные вакуоли, в нейроне — вакуолизированные митохондрии. $\times 60000$

нам в разных слоях коры. Количество нейронов без сателлитов составляет значительную часть нейронов как в каждом отдельном слое коры, так суммарно по всем слоям (79,5% от общего количества подсчитанных нейронов в контроле). В экспериментальном материале количество нейронов без сателлитов несколько увеличилось (на 4%). Как видно из таблицы, число нейронов с одним сателлитом уменьшилось на 2%, число нейронов с двумя сателлитами увеличилось на 26,6%, в основном за счет верхнего комплекса слоев. Появились нейроны с 4 сателлитами, чего в контрольном материале не отмечалось. Но общая картина такова, что сателлитоза не наблюдается, можно говорить лишь о тенденции

слоях коры, количество сателлитных олигодендроцитов в VI слое уменьшилось, а в вышележащих слоях увеличилось.

У крысы в поле 4 двигательного анализатора коры подавляющее большинство сателлитов это олигодендроциты, а астроциты составляют 8,7% от всех сателлитных нейроглиальных клеток. И тем более интересно, что именно астроциты изменяются в количестве при данном сроке гипокинезии; это относится как к общему количеству, так и к сателлитному представительству, причем в основном в верхнем комплексе слоев.

У половозрелой крысы изменение нормальных условий жизнедеятельности методами депривации, в частности, ограничение информационно-

двигательной активности приводит, как правило, не к резким или глубоким сдвигам, а отражается в тонких морфологических перестройках. Как показало наше исследование, сдвиги носили реактивный неспецифический характер, однако эти нерезкие изменения ультраструктурной организации охватывали всю кору и, в частности, средние слои. Были обнаружены также общие тенденции в ультраструктурных сдвигах нейронов, олигодендроцитов и астроцитов (рис. 2 а), которые можно было свести к вакуолизации митохондрий и накоплению в цитоплазме этих клеток лизосомо-подобных и липофусциновых телец.

На фоне вышеозначенных изменений, носящих «стерты» формы ультраструктурных сдвигов, обнаружива-

наруживали черты хроматолиза, вакуолизации митохондрий, некоторая часть дендритов образовывала варикозы с дезинтеграцией микробутул и накоплением сложных вакуолей. В цитоплазме астроцитов имели место деструкция митохондрий, расширение гранулярных цистерн с образованием крупных вакуолей (рис. 3). Аномальные сдвиги наблюдались и в олигодендроцитах, которые носили двойкий характер. Часть клеток гипертрофировала с повышением осмифильности ядра и цитоплазмы, другая, значительно большая часть олигодендроцитов, обнаруживала деструкцию митохондрий с накоплением вакуолей (рис. 4).

В очагах «повышенной реактивности» часто обнаруживались эндотели-

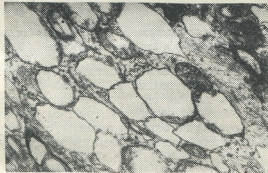


Рис. 3. Часть цитоплазмы астроцита с деструктивными формами митохондрий и расширенными цистернами гранулярной эндоплазматической сети. $\times 4800$

лись с определенной периодичностью очаги с более резкими отклонениями параметров ультраструктурных характеристик как нейронов и их отростков, так и клеток нейроглии и капиллярной системы. В таких очагах черты деструктивных повреждений клеточных органелл носили почти все нейроны и глиоциты независимо от типа, что отражало локальное нарушение (возможно обратимое) нормального функционирования системы нейрон—глия—капилляр. В связи с тем, что клеточные элементы этих зон обнаруживали деструктивные сдвиги, мы решили определять их как очаги «повышенной реактивности». В частности, здесь нейроны об-

ощиты с повышенной осмифильностью цитоплазмы и с пролиферацией органелл.

Анализ данных литературы [6, 16], в которых описываются изменения нервной ткани при различных воздействиях (длительная стимуляция или депривация, стрессовые нагрузки, дисфункция с полным обездвиживанием и т. д.), и наблюдаемые нами очаговые сдвиги в структуре нейронов, астроцитов и олигодендроцитов позволили охарактеризовать их как деструктивные, отражающие функциональное истощение. Аналогичные сдвиги описаны при длительном перенапряжении тормозных внутрикорковых механизмов, имеющих место при по-

вреждении, адекватных воздействиях или при длительных неадекватных нагрузках. В настоящее время с точки зрения функциональной морфологии такие сдвиги рассматриваются как «изменения по типу депривации» при длительной недостаточности афферентной импульсации [16].

участками повышенной саморегуляции, участков, где обнаруживается перенапряжение нейронных групп клеток системы нейрон—глия—капилляр при длительной депривации двигательной активности.

Наряду с вышесказанным, глиоциты в экспериментальном материале



Рис. 4. Фрагмент слизогодендрозита с деструктивными признаками митохондрий и накоплением вакуолей. х 39 000

Вышеозначенные данные, касающиеся различий в ультраструктурных сдвигах различных типов глиоцитов, можно рассматривать как различия в функциональной специфичности этих клеток при изменениях физи-

чески обнаруживали тенденцию к образованию групп по 3—5 клеток, которые плотно прилегали друг к другу (рис. 5). Интересно отметить, что глиоциты с деструктивными органеллами в таких группах не обнаружи-

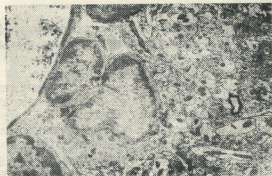


Рис. 5. Нормальные и гипертрофированные глиоциты в околосинаптическом участке. х 19 800

логических параметров, связанных с гипокинезией. Факт наличия очагов резких сдвигов на фоне ультраструктурных изменений компенсаторного характера можно трактовать как наличие в двигательной коре, наряду с

вализь. Этот факт может косвенно свидетельствовать об их пролиферации. Тем более, что вышеупомянутые данные об увеличении как общего количества астроцитов, так и количества сателлитных астроцитов

Таблица
записей

Распределение по слоям нейронов с разным числом сателлитов в коре поля 4: А—контроль, Б—гипокинезия (в % от общего количества нейронов)

Слой	Нейроны без сателлитов		Нейроны с 1 сателлитом		Нейроны с 2 сателлитами		Нейроны с 3 сателлитами		Нейроны с 4 сателлитами	
	А	Б	А	Б	А	Б	А	Б	А	Б
II	22,6	22,1	3,8	2,7	—	0,2	—	—	—	—
III	19,2	20,4	3,2	2,8	0,1	0,3	—	—	—	—
IV	18,7	19	3,4	2,8	0,2	0,4	—	—	—	—
V	8	9,8	3,1	3,1	0,5	0,5	0,1	—	—	0,05
VI	11	12	5,2	3,2	0,7	0,5	0,1	0,1	—	—
	79,5	83,3	18,7	14,6	1,5	1,9	0,2	0,1	—	0,05

подтверждают присутствие пролиферативных процессов при гипокинезии.

Из данных литературы известно, что в экспериментах с различного рода физиологическими и сенсорными депривациями признаки нарушений в деятельности ЦНС выявляются как в форме сдвигов в структурных характеристиках системы нейрон-глия—капилляр [5, 15], так и в изменениях количественных соотношений клеточных элементов этой системы. Результаты наших экспериментов подтвердили эти факты. Локализация же и степень интенсивности протекания морфо-функциональных перестроек зависит от вида, срока депривации, а также от функциональной специфиности области мозга [14].

Ограничение двигательной активности сопровождается локальными перенапряжениями, вызванными разрывом эффекторного звена иннервации [2], что аналогично процессам угнетения, которые могут облегчаться за счет физиологической пластичности.

ЛИТЕРАТУРА

1. Авраменко В. Г., Герес Ю. Ф. В кн.: Космическая биология и авиакосмическая медицина, I, «Наука», М., 1982, 69–72.
 2. Анохин П. К. Успехи физiol. наук, I, 19–54, 1970.
 3. Герус А. И. В сб.: Методологические, теоретические и методические аспекты современной нейроморфологии, М., 1987, 28.
 4. Гитилис В. С. В сб.: Научные труды Иркутского мед. ин-та, Иркутск, 1977, 139, 27–29.
 5. Михайленко А. А. Бюлл. экспер. мед. и биол., 71, 6, 109–113, 1971.
 6. Мошков Д. А. Петровская Л. Л., Масюк Л. Н. В сб.: Нейрофизиологические механизмы памяти и обучения, Пущино, 1984, 57–88.
 7. Насыров Р. А., Коновалов Г. В. Архив анат., 82, 5, 27–32, 1982.
 8. Певзнер Л. З. Функциональная биохимия нейрона, «Наука», М., 1972.
 9. Полова Э. Н., Фрумкина Л. Е. В сб.: Центральные механизмы двигатель-

ности и подключения определенных компенсаторных факторов, в частности и системой глиальных клеток [11].

В нашем эксперименте (40-суточная гипокинезия) выявлено, что астроциты проявляли большую пролиферативную активность по сравнению с олигодендроцитами. Учитывая данные ряда авторов о том, что длительная гипокинезия сопровождается приспособительными сдвигами к гипоксическим процессам, обусловленным локальными сужениями просвета сосудов [4, 7, 20], и приняв во внимание также тот факт, что гипоксия может вызвать пролиферацию астроцитов [19], данные нашего исследования отчасти можно объяснить и явлениями адаптаций к гипоксии, так как мозг чрезвычайно чувствителен к недостатку кислорода и нейротглия в первую очередь реагирует на малейшие нарушения в метаболизме нервной ткани ЦНС или на гомеостатические сдвиги [12].

- ных функций, 8, «Медицина», М., 1979, 72—76.
10. Поповкин Е.М., Насибуллин Б.А., Малахова О. Е. В сб.: Методологические, теоретические и методические аспекты современной нейроморфологии, М., 1987, 127—128.
 11. Ройтбак А. И. В кн.: Функции нейроглии, «Медицнера», Тбилиси, 1987, 205—214.
 12. Самойлов М. О. Реакция нейронов мозга на гипоксию, «Наука», Л., 1985, 190.
 13. Семенченко И. И. В сб.: Учение о локализации и организации церебральных функций на современном этапе, «Наука», М., 1978, 142—143.
 14. Семенченко И. И. В сб.: Адаптивные функции головного мозга (Тез. докл.), Баку, 1980, 166.
 15. Семенченко И. И., Попова Э. Н. Бюлл. экспер. мед. и биол., 68, 2, 619—623, 1984.
16. Тушмалова Н. А., Марахуева И. В. Сравнительно-физиологическое исследование ультраструктурных аспектов памяти, «Наука», М., 1986, 148.
17. Хананашвили М. М. Механизмы нормальной и патологической условно-рефлекторной деятельности, «Наука», Л., 1972.
18. Цветов П., Насыров Р. А. В кн.: Физиологические и клинические проблемы адаптации к гипоксии, гиподинамии и гипертермии, «Наука», М., 1981, 93.
19. Цицишвили А. Ш. В сб.: Физиология, патофизиология, фармакология мозгового кровообращения (Тез. докл. II Всесоюз. конф.), «Медицнера», Тбилиси, 1988.
20. Шапошников Е. А., Хандкарен О. А. Журн. невропат. и псих., 84, 12, 1761—1766, 1975.

პიროვნების გავლენა ვირთაგვას თავის ტვინის რერჩის
მოტორული ზონის გლიანირობულ ურთიერთობაზე

ნ. გოსტინი, ი. კაკაბაძე

სეროტონინის სტ მეცნიერებათა აკადემიის ი. ბერიტაშვილის სახელობის ფიზიოლოგიის
ინსტიტუტი, თბილისი

რეზიუმე

სინათლისა და ელექტრონულ-მიკროსკოპულ დონეზე შესწავლილია 40-დღიანი ჰიპოკინეზის გავლენა ვირთაგვას თავის ტვინის ქრების მოტორული ზონის ნეირო-გლიარ ურთიერთობაზე.

გლიაური უჯრედების განწილების რაოდნობრივა ანალიზმა გვიჩვენა, რომ ასტროციტების რიცხვი გაიზარდა 42,3%-ით, ოლიგოდენდროციტების რიცხვი კი შემცირდა 9—5%-ით. ქრების ზედა შრებში შეინიშნებოდა სატელიტური გლიას გადანაწილება, რაც გამოიხატებოდა 2—4 სატელიტიანი ნეირონების რაოდნობის მომატებაში.

- 40-დღიანი ჰიპოკინეზია მოტორული ქრების თითქმის ყველა შრეებში იწვევს არამკვეთო ცვლილებებს ნეირონების, გლიაციტებისა და კაბილარული სისტემის უჯრედების ულტრასტრუქტურაში. აღნიშნება ოლიგოდენდროციტებისა და ასტროციტების რეაქტიული ცვლილებების ხასიათის სხვადასხვაობა. ოლიგოდენდროციტების ნაწილი ჰიპერტროფირებულია. გლიაციტების ერთ ნაწილში აღინიშნება დესტრუქციული ცვლილებები. დანარჩენი გლიაციტები წარმოქმნიდნენ 3—5 უჯრედისაგან შემდგარ ჯგუფებს, ამასთანავე მათი სტრუქტურული ორგანიზაცია ნორმის ფარგლებშია.

INFLUENCE OF HYPOKINESIA ON THE GLIA-NEURON INTERRELATION IN THE MOTOR CORTEX OF THE ALBINO RAT BRAIN



N. A. KOSTENKO, I. M. KAKABADZE

I. S. Beritashvili Institute of Physiology, Georgian Academy of Sciences,
Tbilisi, USSR

Received: 8.10.1981

Summary

The effect of 40-day long hypokinesia on the glia-neuron interrelation in the motor cortex of adult albino rats was studied at light and electron microscopic levels.

The analysis of distribution of the glial cells showed that the number of astrocytes increased by 42,3% while the total number of oligodendrocytes decreased by 9,5%. In the upper complex of layers the redistribution of satellite glial cells evidenced by the increased number of neurons with 2—4 satellites was observed.

40-day long hypokinesia resulted in insignificant ultrastructural shifts in neurons, gliocytes and cells of the capillary system, involving almost the whole cortex. The reactive alterations observed in oligodendrocytes and astrocytes appeared to have different character. Some of the oligodendrocytes were hypertrophied. Some of the gliocytes underwent destructive shifts, others formed aggregations with 3—5 cells, the structural organization of which remained unaltered.

УДК 611—018.8 : 577.95

ГИСТОЛОГИЯ

ПРОЛИФЕРАТИВНАЯ АКТИВНОСТЬ КЛЕТОК И ОСОБЕННОСТИ СТРУКТУРНОЙ ОРГАНИЗАЦИИ СУБЭПЕНДИМНОГО СЛОЯ ДОРСО-ЛАТЕРАЛЬНОЙ СТЕНКИ БОКОВЫХ ЖЕЛУДОЧКОВ МОЗГА ЩЕНЯТ В РАННЕМ ПОСТНАТАЛЬНОМ ОНТОГЕНЕЗЕ

Э. Л. Микадзе, И. Г. Харебава, Н. Ш. Гелашвили,
Г. Д. Туманишвили

Тбилисский государственный университет им. И. Джанахчеви

Поступила в редакцию 10.05.89

Были изучены 1 мкм срезы субэпендимного слоя дорсо-латеральной стенки боковых желудочков мозга щенят различных возрастов. Обнаружено, что в пределах одного возраста организация клеточной выстилки полости желудочка, ширина и митотическая активность субэпендимы и структура связанных с ними отдела мозга в разных участках наружной стенки различны. В области переднего рога в течение определенного времени клетки выстилки по своей морфологии идентичны вентрикулярным клеткам. Предполагается существование определенной структурно-функциональной зависимости от числа вентрикулярных клеток ширины, митотической активности и темпов истощения субэпендимы, что в свою очередь определяет и меру постнатального структурирования прилежащих отделов мозга. Субэпендима, отличающаяся в области переднего рога наибольшей шириной, высокой степенью митотической активности и низкими темпами истощения, в течение первого постнатального месяца продуцирует три типа пролиферирующих клеточных популяций: индифферентные клетки, глиобласты и пронейробlastы.

Согласно современным представлениям, у незрелорождающихся млекопитающих структурирование таких отделов мозга, как кора мозжечка [9], зубчатой фасции гиппокампа [8, 11], обонятельной луковицы [8], не ограничивается периодом эмбрионального развития, а продолжается в течение определенного времени за счет как недифференцированного и слабодифференцированного резерва клеток, локализованных непосредственно в этих областях, так и за счет герминативных клеток субэпендимного слоя боковых желудочков. Однако в определении сроков структурной дефинитивности новой коры в отношении нервных элементов нет единого мнения. Согласно результатам некоторых исследователей [17, 8, 13, 4, 15] процесс формирования неокортика продолжается после рождения животного и обуславливается попол-

нением коры новыми как глиальными, так и нервными элементами, производимыми, в основном, субэпендимным слоем боковых желудочков. В то же время ряд авторов придерживается классической концепции относительно структурной завершенности новой коры нервными клетками к моменту рождения животного, допуская, что субэпендимный слой может являться источником глиальных клеток [2, 16, 12, 21, 5].

Целью настоящего исследования является изучение методом полутонких срезов особенностей структурной организации субэпендимного слоя дорсо-латеральной стенки боковых желудочков мозга щенят в раннем постнатальном онтогенезе и сроков его истощения, а также определение числа пролиферирующих клеточных популяций, производимых этим слоем.



Материалом для исследования служили 3, 7, 14, 30 и 60-дневные беспородные щенки смешанного пола (по три щенка на каждый возраст). У наркотизированных эфиром животных извлекали мозг и вырезали участки дорсо-латеральной стенки в области переднего рога, хвостатого ядра и заднего рога. Ткань мозга, предварительно погруженная на 2 ч в 2,5%-ный раствор глютаральдегида на 0,1 M фосфатном буфере, фикси-

ровалась в 2%-ном растворе четырехокиси осмия на том же буфере в течение 1,5–2 ч, при $T=4^{\circ}\text{C}$ и заливалась в ЭПОН-812 по стандартной методике. Срезы толщиной в 1–1,5 мкм, полученные на ультратоме УЭМПТ-3, окрашивались 1%-ным раствором толуидинового синего. Ширина субэпендимного слоя и диаметры клеток измерялись объект-микрометром ОМП.

РЕЗУЛЬТАТЫ ИССЛЕДОВАНИЯ И ИХ ОБСУЖДЕНИЕ

Перед тем как перейти к анализу полученных результатов, следует оговорить, что в настоящем исследовании за субэпендимный слой наруж-

ной стенки боковых желудочков принимается клеточный пласт, расположенный между эпендимной выстилкой и белым веществом или соответ-

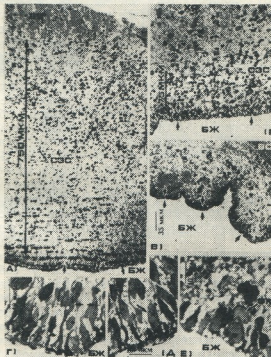


Рис. 1. Субэпендимный слой (СЭС) в различных участках наружной стенки боковых желудочков мозга 3-дневных щенят: а — в области переднего рога простирается от клеточной выстилки (малые стрелки) бокового желудочка (БЖ) до белого вещества (БВ) новой коры; г — клеточная выстилка в области переднего рога имеет характер ложнослистности (стрелками указаны вентрикулярные клетки); б — сверху ограничен участком хвостатого ядра (ХЯ); д — та же область, но ложнослистость выражена в меньшей степени; в — СЭС в этой области наружной стенки практически источен; е — клеточная выстилка представлена монорядом клеток, среди которых выделяются эпендимные клетки (показано стрелкой). Ув: а — 250; б, в — 330; г, д, е — 1200

ствующим образованием мозга (рис. 1 а, б, в). Основанием для подобного определения может служить наличие пролиферирующих клеток по всему слою.

На рис. 1 а, б, в представлены различные участки наружной стенки боковых желудочков 3-дневных щенят. Отчетливо видно, что в результате неравномерного распределения клеточного материала вдоль наружной стенки желудочка ширина субэпендимного слоя существенно различается. Эта закономерность отмечалась и другими авторами при исследовании толстых срезов мозга различных лабораторных животных [20, 2, 16, 3, 4, 1, 6]. Однако при изучении полуточных срезов дополнительно обнаружилось, что отдельные участки наружной стенки значительно отличаются и по характеру подлежащей эпендимной выстилки. Так, в области переднего рога (рис. 1 а), где ширина субэпендимы наибольшая, порядка 750 мкм, эпендимная выстилка представлена псевдостратифицированным эпителием, среди клеток которого превалируют верёвенообразные элементы (рис. 1 г) с характерной пренатальной морфологией. Эти клетки идентичны клеткам, описанным Зауером [19] в формирующейся нервной трубке эмбрионов свиньи и цыплят. Способность эпендимы сохранять пренатальные свойства в постнатальном развитии отмечена также Смартом [20] при изучении мозга мыши.

В области хвостатого ядра (рис. 1 б) ширина субэпендимы значительно уменьшена и равна приблизительно 75 мкм; при этом ложнослоистость эпендимы менее выражена (рис. 1 д) и выстилка полости желудочка представлена в основном пластом незрелых удлиненных клеток, среди которых наблюдаются и более дифференцированные формы.

В затылочном направлении вдоль боковых желудочков субэпендима постепенно истощается и наблюдаются участки, где слой представлен отдельными клетками; при этом эпендимная выстилка характеризуется монорядом клеток различной степени зрелости (рис. 1 в, е).

Субэпендимный слой в различных участках наружной стенки, в пределах одного возраста, отличается не

только шириной поперечника, но и числом делящихся клеток. Как это отмечалось ранее в количественных данных Льюиса [16] и Меписашвили [4], наиболее высокой степени митотической активности характеризуется субэпендима в области переднего рога.

С возрастом щенка происходит постепенное уменьшение ширины субэпендимного слоя вплоть до его исчезновения. Это связано, вероятно, как с падением митотической активности собственно слоя, так и с изменениями, претерпеваемыми клетками выстилки полости, которые в результате определенных трансформаций теряют пренатальные свойства, уменьшаются в размерах, а затем дифференцируются в клетки эпендимного ряда. Однако темпы исчезновения субэпендимы в области переднего рога, где слой непосредственно граничит с белым веществом коры, по сравнению с другими участками наружной стенки, более низкие и в течение первого постнатального месяца несущественны. Поэтому в наших исследованиях мы особое внимание уделяем именно этой области наружной стенки боковых желудочков.

У 7-дневных щенят ширина слоя равна — 700 мкм, 14-дневных — 600 мкм, 30-дневных — 400 мкм, тогда как у 60-дневных субэпендимный слой, как таковой, отсутствует и занимаемая им область замещена волокнами белого вещества. Следовательно, по нашим данным исчезновение субэпендимного слоя в области переднего рога у собак происходит в основном за период между 30 и 60 днями.

На основании проведенного анализа можно допустить, что между структурной организацией выстилки полости, шириной и митотической активностью субэпендимы, а также степенью структурированности связанных с ними отделов мозга существует определенная структурно-функциональная связь, которая в свою очередь коррелирует с этапами развития особи. В участках наружной стенки, где клетки выстилки трансформируются в элементы эпендимного ряда быстрее, исчезновение субэпендимного слоя характеризуется более высокими темпами, и формирование прилежащих отделов мозга, соответ-

ственno, завершается в более ранние сроки развития (рис. 1в, е). В областях бокового желудочка, где среди клеток выстилки наблюдаются и элементы с характерной пренатальной морфологией, субэпендима, как правило, имеет определенную ширину, а смежные отделы мозга, по нашему мнению, пополняются новыми клеточными элементами, мигрирующими из субэпендимного слоя. В некоторой степени это подтверждается на при-

тина и высокая митотическая активность (рис. 1а), могут служить показателем постнатального пополнения прилежащего неокортика как глиальными [22], так и нервными элементами. Последнее координировано подтверждают данные Харебава [7] о дефинитивном структурировании цитоархитектоники коры поля Рс1 щенят, и в особенности слоя IV, лишь к третьему постнатальному месяцу. По нашему мнению, в этой структур-

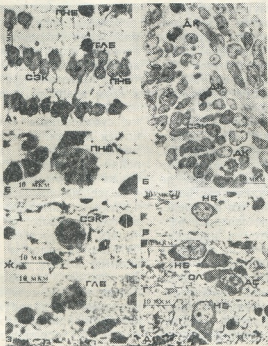


Рис. 2. Клетки субэпендимного слоя в области переднего рога бокового желудочка щенят в раннем постнатальном онтогенезе: а—разное распределение клеток в глубине СЭС 3-дневного щенка; СЭК—субэпендимные клетки; ПНБ—пропиобласти, ГЛБ—глиобласти, б—пласт недифференцированных клеток (ДК), на разных фазах митоза; в, г, д—нейробластические элементы на различных стадиях созревания; г—более дифференцированные формы клеток вейро-, олиго- и астроblastического рядов в СЭС 30-дневного щенка; е, ж, з—митотически активные пропиобласти, индифферентная (субэпендимная) клетка и глиобласти 3-дневного щенка. Ув. а, б, в, г, д—1200; е, ж, з—1500

мере хвостатого ядра (рис. 1б, д), структурированного в основном пренатально. По сравнению с этими участками, выраженная ложносложность клеточной выстилки в области переднего рога (рис. 1г) и, по-видимому, в результате этого наибольшая ши-

но-функциональной связи, доминирующая роль принадлежит организации клеточной выстилки, поэтому мы считаем, что клетки выстилки, сохраняющие пренатальную морфологию в постнатальном развитии, целесообразно определять как нейроэпители-

альные или вентрикулярные [10] (в отличие от предложенной в [10] номенклатуре, согласно которой клетки выстилки всех полостей мозга в постнатальный период развития однозначно определяются как эпендимные).

Согласно нашим собственным наблюдениям, субэпендимный слой содержит четыре типа клеточных популяций, а именно — субэпендимные, или индифферентные, клетки и элементы нейро-, глио- и эпендимобластического рядов. При этом надо отметить, что во всех изученных возрастах в слое наблюдается гетерохрония в степени созревания клеточных элементов, и клетки, локализованные по периферии, характеризуются более высокой степенью зрелости, по сравнению с таковыми в глубине слоя.

Первый тип — субэпендимные, или индифферентные, клетки. Это темноокрашенные полиморфные элементы, расположенные в виде плотно упакованных групп, либо рассеянные по всему слою. Форма этих клеток варьирует в зависимости от их расположения в слое и, соответственно, размеры клеток изменяются в пределах от $7,5 \times 4,0$ до $6,0 \times 5,0$ мкм. Крупные с грубыми глыбками хроматина ядра этих клеток окружены тонким ободком цитоплазмы, бедной органеллами и лишенной отростков (рис. 2 а).

Второй тип — глиобlastы, предшественники олиго- и астробластов; по степени хромофильтности и развития цитоплазмы они подобны субэпендимным клеткам, но отличаются от последних более правильной формой и меньшими размерами. Диаметры этих клеток порядка $4,5 \times 4,0$ мкм (рис. 2 а).

Третий тип — клетки нейробластического ряда, наиболее незрелые формы которых — пронейробlastы, представляют собой светлые крупные округлые клетки размером $8,5 \times 8,0$ мкм (рис. 2 а). Просветленные ядра этих клеток содержат 1—2 ядрышка; бедный органеллами узкий ободок цитоплазмы иногда образует небольшой натек на одном из полюсов клетки.

Четвертый тип — клетки эпендимного ряда (все данные о них будут представлены в отдельной статье).

В процессе постнатального онтогенеза клеточный состав субэпендимы претерпевает количественные и качественные изменения. Если у 3 и 7-дневных щенят превалируют индифферентные клетки, глиобlastы и пронейробlastы, среди которых отмечается большое число делящихся клеток, то у 14-дневных щенят незрелые формы наблюдаются реже, в то время как клетки с признаками дифференциации в нейро- и олигодендробластическом направлениях отмечаются повсеместно, а по периферии слоя уже наблюдаются незрелые астробlastы, легко идентифицируемые благодаря крупному очень просветленному ядру, на фоне которого резко выделяются грубые глыбки хроматина. Митотическая активность слоя в этом возрасте несколько понижена, но тем не менее по всему поперечнику субэпендимы наблюдаются делящиеся клетки. У месячных щенят индифферентные и незрелые клетки нейро- и глиобластического рядов, а также фигуры митозов, по сравнению с более ранними возрастами, отмечаются значительно реже. Однако и в этом возрасте, в участках, граничащих с полостью желудочка, наблюдаются пластины недифференцированных клеток, сохранивших пролиферативную активность (рис. 2 б). Кроме того, у месячных щенят в субэпендиме превалируют более зрелые формы нейро-, олиго- и астробластов (рис. 2 г), среди которых отмечаются клетки как глио- так и нейробластического рядов на разных стадиях созревания, включая и ранние (рис. 2 в, г, д).

У двухмесячных щенят субэпендимный слой отсутствует.

Учитывая, что идентификация типа митотически делящейся клетки, в особенности на уровне световой микроскопии, представляет определенные трудности, критерием принадлежности пролиферирующей клетки к тому или иному типу мы, как и другие авторы [14], принимали размеры последней. На основании различий в диаметрах нами выделены три группы делящихся клеток с размерами поперечника: 1 — $15,5 \times 15,0$ мкм; 2 — $11,0 \times 10,5$ мкм; 3 — $9,0 \times 8,5$ мкм (рис. 2 е, ж, з). Сравнивая эти величины с вышеупомянутыми размерами интерфазных клеток и учитывая относи-

тельно адекватное увеличение объема различных клеток во время митоза, делящиеся клетки в субэпендиме, в соответствии с их размерами, мы классифицируем как: 1 — пронейробласти, 2 — индифферентные клетки и 3 — глиобласти. Исходя из этого, мы полагаем, что субэпендимный слой в области переднего рога содержит три типа пролиферирующих клеточных популяций: индифферентные (субэпендимные) клетки — предшественники к глиальным и нервным элементам; глиобласти, дающие начало олиго- и астробластам, и пронейробласти — наиболее незрелые формы клеток нейробластического ряда. Так как в наших исследованиях пикнотические клетки наблюдались в незначительном количестве, мы, так же как Приват и Леблон [18], считаем, что дальнейшая судьба этих клеток заключается в их дифференциации и миграции за пределы слоя, хотя, по мнению Смарта [20], число новообразованных в слое клеток уравновешивается числом гибнущих. Наши данные относительно числа пролиферирующих клеточных популяций в субэпендиме согласуются с данными Мелиашвили [4], хотя ряд авторов [16, 12, 18] считает, что субэпендимный слой содержит единую клеточную популяцию субэпендимных клеток, дающих начало лишь глиальным элементам. При этом Приват и Леблон допускают, что субэпендима может генерировать

и нейробласти. По мнению Смарта [20], субэпендима содержит две пролиферирующие популяции — предшественники нервных и глиальных клеток. Стенсаас и Гилсон [21] в субэпендиме выделяют простые и сложные субэпендимные клетки и полагают, что и те и другие представляют различные фазы митотического цикла одного и того же типа клеток. Это кажущееся на первый взгляд несоответствие в выводах, по нашему мнению, является следствием неадекватности области и методов исследования вида и возраста животных.

Таким образом, на основании изучения 1 мкм срезов дорсо-латеральной стенки боковых желудочков мозга щенят в раннем постнатальном онтогенезе, мы полагаем, что ширина, митотическая активность и темпы истощения субэпендимы, которые определяют меру постнатального структурирования прилежащего отдела мозга, находятся в структурно-функциональной связи с числом клеток выстилки, сохранивших пренатальную морфологию в постнатальном развитии. Субэпендимный слой, отличающийся в области переднего рога наибольшей шириной, высокой митотической активностью и низкими темпами истощения, в течение первого постнатального месяца продуцирует три типа пролиферирующих клеточных популяций, которые пополняют новую кору как глиальными, так и нервными элементами.

ЛИТЕРАТУРА

- Букия Р. Д. В сб.: Труды пед. ин-тов Грузинской ССР, VI серия естественных наук, ТГПИ им. А. С. Пушкина, Тбилиси, 1978, 3—18.
- Грачева Н. Д. Авторадиография синтеза нуклеиновых кислот и белков в нервной системе, «Наука», Л., 1969.
- Каландаришвили Э. Л. В сб.: Труды Гос. пед. ин-та им. А. С. Пушкина, Тбилиси, 1971, 253—269.
- Мелиашвили И. С. Постнатальный нейрогенез и регенераторные возможности ЦНС млекопитающих, Докт. дисс., Тбилиси, 1973.
- Резников К. Ю. Пролиферация клеток мозга позвоночных в условиях нормального развития мозга и при его травме, «Наука», М., 1981.
- Тактакишвили А. Д. В сб.: Труды пед. ин-тов Грузинской ССР, VI серия естественных наук, ТГПИ им. А. С. Пушкина, Тбилиси, 1978, 56—67.
- Харебава И. Г. Постнатальное формирование цитоархитектоники и межнейрональных связей новой коры (поля Рс₁) собаки, Канд. дисс., Тбилиси, 1977.
- Aitman J. J. Comp. Neurol., 128, 431—474, 1966.
- Angervine J., Coulombe A., Bodian Jr., Edds M., Hauburger Jr., Jacobson M., Lyser K., Prestige M., Sidman R., Varon S., Weiss P. Anat. Res., 166, 2, 257—262, 1970.
- Bayer Sh., Jackel J., Puri P. Science, 216, 458, 890—892.

11. Blakemore W. F. J. Anat., 104, 423—433, 1969.
12. Butler A., Calley D. Brain Res., 83—97, 1972.
13. Das G. D. J. Neurol. Scien., 43, 2, 1 93—204, 1979.
14. Kaplan M. S. J. Fur Hirnforsch., 24, 23—33, 1983.
15. Lewis P. D. Nature, 217, 974—975, 1968.
16. Messier B., Leblond C., Smart I. Exp. Cell Res., 14, 2, 224—226, 1958.
17. Privat A., Leblond C. J. Comp. Neurol., 146, 277—302, 1972
18. Sauer F. C. J. Comp. Neurol., 69, 13—25, 1935.
19. Smart I. J. Comp. Neurol., 116, 3, 325—347, 1961.
20. Stensaas I. J., Gilson B. C. Z. Zellforsch., 132, 297—322, 1972.
21. Sturrock R. R. J. Anat., 141, 1, 19—26, 1985.

ლენგის თავის ტვინის გვირდითი პარკუჭის ღორცონების დონის სებეპენდიკული შრის სტრუქტურული მოდელის მიზანისა და უჯრედთა პროცესის გვირცების შესწავლა ადრიულ პოსტნათულ მონიშვნების

0. მიქაელი, ი. ხარებავა, ნ. გალავალი, გ. თუმანიშვილი

ფ. ჯავახიშვილის სახელმძიმის თბილისის სახელმწიფო უნივერსიტეტი

რეზიუმე

შესწავლითი იყო სხვადასხვა ასაკის ლენგის გვერდითი პარკუჭის გარე კედლის სუბეპენდიმური შრის 1 მეტ ანათლები. დადგენილია, რომ ერთი და იგივე ასაკის ლენგებში გვერდითი პარკუჭის ღრუს ამოფენილობის ორგანიზაცია, სუბეპენდიმური შრის სიგანე და მიტოზური აქტივობა და აგრეთვე მათთან მომიჯე ტვინის ნაწილების სტრუქტურა განსხვავებულია გარე კედლის სხვადასხვა უბანში. წინა ჩქის უბანში ღრუს ამოფენილობის უჯრედები, გარკვეული ღროის მონაცემებში თავისი მორფოლოგიით იდენტურია ვენტრიკულური უჯრედების. გამოთქმულია მოსაზრება, რომ სუბეპენდიმური შრის სიგანე, მიტოზური აქტივობის უმაღლესი ხარისხით და განლევის დაბალი ტემპებით, ლენგის განვითარების პირველი თვის განმავლობაში წარმოქმნის 3 ტიპის პროლიფერიტებად უჯრედთა პოტულაციას: ინდიფერენტულ (სუბეპენდიმურ) უჯრედებს, გლობულასტებს და პრონეირობლასტებს.

ობა და შრის განლევის ტემპები, რაც თავის მხრივ განსაზღვრავენ მომიჯნე ტვინის ნეტილების პისტინტალურ სტრუქტურირებას, გარკვეულ დამოკიდებულებაში არაან ვენტრიკულურ უჯრედების რაოდენობასთან. სუბეპენდიმური შრე, რომელიც წინა ჩქის უბანში განიჩნევა უდიდესი სიგანით, მიტოზური აქტივობის უმაღლესი ხარისხით და განლევის დაბალი ტემპებით, ლენგის განვითარების პირველი თვის განმავლობაში წარმოქმნის 3 ტიპის პროლიფერიტებად უჯრედთა პოტულაციას: ინდიფერენტულ (სუბეპენდიმურ) უჯრედებს, გლობულასტებს და პრონეირობლასტებს.

PROLIFERATIVE ACTIVITY OF CELLS AND STRUCTURAL ORGANIZATION PECULIARITIES OF THE SUBEPENDYMAL LAYER OF DORSO-LATERAL WALL OF LATERAL VENTRICLE OF PUPPIES DURING EARLY POSTNATAL ONTOGENESIS

E. L. MIKADZE, I. G. KHAREBAVA, N. Sh. GELASHVILI,
G. D. TUMANISHVILI

I. Javakhishvili Tbilisi State University, USSR

S u m m a r y

Immun thick sections of the subependymal layer of the lateral ventricle dorsolateral wall of puppies at different ages were studied. It has been revealed that

the organization of the epithelium covering the lumen of the ventricle, the width and mitotic activity of the subependyma and the structure of the adjacent

brain areas vary in different parts of the external wall of the lateral ventricle. In the region of the anterior horn the cells of the epithelium are morphologically identical with the ventricular cells. It is supposed that there is a definite structural and functional dependence on the number of ventricular cells and the width, the mitotic activity and the rate of the exhaustion of the subependymal layer,

which in their turn determine the degree of postnatal structural development of the adjacent brain regions. The subependyma, distinguished in the region of anterior horn by the largest width, high mitotic activity and lower rate of exhaustion, during the first postnatal month produces 3 types of proliferating cell populations: indifferent cells, glioblasts and proneuroblasts.



УДК 611.018.611.864.1

ГИСТОЛОГИЯ

УЛЬТРАСТРУКТУРНАЯ ОРГАНИЗАЦИЯ НЕИРОНОВ И СИНАПСОВ ЛАТЕРАЛЬНОЙ ГИПОТАЛАМИЧЕСКОЙ ОБЛАСТИ КРЫС, НЕПРЕДРАСПОЛОЖЕННЫХ К АЛКОГОЛЮ ПРИ ОСТРОЙ ЭТАНОЛОВОЙ ИНТОКСИКАЦИИ

Е. Г. Мхеидзе, М. Б. Хитаришвили

Институт физиологии им. И. С. Бериташвили АН ГССР, Тбилиси

Поступила в редакцию 15.12.88

Изучена ультраструктурная организация нейронов и межнейрональных контактов латерального гипоталамуса (ЛГ) непредрасположенных к алкоголю крыс (ДС) при острой алкогольной интоксикации

Резкие деструктивные изменения наблюдаются как в соме и отростках нейронов, так и синапсах. Они выражаются в вакуолизации и дезорганизации мембранных компонентов, набухании митохондрий, а также в изменении аксо-дendритных синапсов, имеющих пресинаптическим компонентом терминалы типов Ia и III.

Вышеуказанные структурные изменения, по-видимому, указывают на изначально высокую чувствительность к мембранотропному действию алкоголя и отличную ферментативную активность у ДС крыс. Не исключается также возможность аккумуляции метаболитов, формирование продуктов конденсации — так называемых «ошибочных передатчиков», структурное сходство которых с медиаторами обуславливает нейротоксический эффект этанола.

Исследование физиологии и патоморфологии мозга при хроническом алкоголизме исследовались многими учеными [2, 3, 18, 24, 36, 39], однако вопросы онтогенеза алкогольных поражений мозга невозможно решить только на клиническом материале. В этом аспекте особенную ценность приобрело экспериментальное моделирование алкогольной интоксикации, что дало возможность изучения динамики морфофункциональных сдвигов в ходе патологического процесса [6, 7, 16, 18, 27, 33, 45]. Данные об ультраструктурных перестройках в коре и подкорковых образованиях [4, 14, 16, 37] служат основой для понимания нарушения таких важных процессов высшей нервной деятельности как память, поведение, условно-рефлекторная деятельность и т. д., наблюдавшихся при алкогольной интоксикации. В частности, анализ ультраструктурных изменений в латеральном гипоталамусе при острой и хронической алкогольной интоксикации может послужить исходным пунктом для понимания механизмов нарушения интегративной функции гипоталамуса в осуществлении сложных эмоционально-поведенческих реакций.

В настоящей статье представлены данные исследования нейронов и межнейрональных контактов ЛГ непредрасположенных к алкоголю крыс при острой этаноловой интоксикации.

Исследование проводили на беспородных крысах-самцах. Для разделения крыс на предрасположенных и непредрасположенных к потреблению алкоголя применялся метод «алкогольного наркоза» [11]. Данным методом удается выявить особи с изначально высоким уровнем алкогольной мотивации, короткоспящие (КС), у которых в условиях добровольного потребления алкоголя развивается экспериментальный алкоголизм, тогда как долгоспящие (ДС) характеризуются изначально низкой алкогольной мотивацией и в условиях хронической алкоголизации погиба-

ют, по-видимому, из-за повышенной чувствительности к токсическому действию этанола.

Подопытным животным (5 крыс) ежедневно в течение 8 дней внутрьбрюшно однократно вводили 25%-ный раствор этанола из расчета 3,5 мл абсолютного этанола на 1 кг веса животного по методу Бурова Ю. В. [6]. Объем вводимого этанола (J) исчисляли согласно формуле:

$$J = \frac{Dg/\text{кг} \cdot M\text{г}}{250},$$

РЕЗУЛЬТАТЫ ИССЛЕДОВАНИЯ И ИХ ОБСУЖДЕНИЕ

Детальное исследование ультраструктурной организации клеток ЛГ при острой алкогольной интоксикации непредрасположенных к алкоголю ДС крыс выявило существенные изменения ультраструктуры как сомы, так и отростков нейронов. Зна-

где D — необходимая доза, M — масса животного. Головной мозг наркотизированного гексаналом животного перфузировали 2,5%-ным раствором глютаральдегида на фосфатном буфере. Кусочки изучаемых областей дополнительно фиксировали 2,5%-ным раствором OsO_4 в течение 2,5 ч и заключали в араклит. Срезы контрастировали цитратом свинца и изучали в электронном микроскопе ЯЭМ-100 С.

ядерной оболочки многочисленны, что придает ядру лопастный характер. Наружная мембрана ядерной оболочки по всей окружности ядра не следует параллельно внутренней, выпячиваясь отходит от нее на значительное расстояние и приобретает вид околоядерных цистерн (рис. 1а, б). Эти изменения указывают, по-видимому, на нарушение избирательной проницаемости наружной мембранны.

В цитоплазме нейронов отмечается резкое расширение цистерн эндоплазматической сети с исчезновением рибосом на их мембранах. Отдельные профили эндоплазматической сети представлены в виде больших вакуолеподобных образований (рис. 15). Цитоплазма на периферии клеток резко просветлена и бедна органеллами.

Встречаются клетки, в которых расширение цистерн эндоплазматической сети не сопряжено уменьшением числа рибосом на их мембранах, что, по-видимому, указывает на гетерогенность нейронов в их подверженности к повреждающему действию этанола (рис. 1а) [46, 49].

Снижение числа рибосом с характерными изменениями кариоплазмы может быть связано со снижением белкового синтеза, поскольку этаноловая интоксикация в значительной степени влияет на синтез нейронального белка, нарушая процесс трансляции на рибосомах [5—7, 16, 17, 33, 34, 37].

Одной из структур, претерпевающих значительные структурные изменения, являются митохондрии (рис. 2а, б). Митохондрии достигают гигантских размеров, отмечается рез-



Рис. 1. ЛГ ДС крысы: а — фрагмент нейрона; б — фрагмент перикариона с расширенными цистернами цитоплазматической сети, $\times 23000$

чительные структурные изменения претерпевают большинство малых нейронов. Ядерный хроматин, имеющий тенденцию к конденсированию в хлопья, располагается около ядерной мембранны, что, по-видимому, указывает на снижение матричной активности цистронов, необходимое для образования белков [10]. Ядрышко смешено к периферии. Инвагинации

кая дезорганизация и разрушение крист. Часто митохондрии представлены в виде крупных вакуолей с беспорядочно разбросанными в них осколками крист. По мнению ряда исследователей [23, 29—32, 41, 42], эти изменения являются результатом нарушения захвата кислорода и торможения некоторых дыхательных ферментов. В перинуклеарном пространстве крупных нейронов с многочисленными органеллами, цистерны комплекса Гольджи увеличены в длине и представлены в виде полулунных, извилистых причудливой формы профилей (рис. 1а).

При исследовании экспериментального материала стали явными характерные изменения дендритов в виде очагового поражения проявляющиеся в просветлении дендроплазмы с редукцией и фрагментацией микротрубочек. В очагах деструкции дендроплазмы наблюдаются вакуоли различной величины (рис. 2а, б; 3а, б). Изменения дендритов, по данным Поповой Э. Н. [15], зависят от сроков алкогольной интоксикации и индивидуальных особенностей организма.

В крупных дендритах отмечаются очаги локального сужения и варикозного расширения. Изредка в расширенных участках дендрита наблюдаются инвагинированные аксонные терминали, что, по мнению ряда авторов [4, 8, 14—16], является компенсаторной реакцией, обеспечивающей выход медиатора в пораженный дендрит.

Наблюдаемые изменения дендритов позволили предположить важную роль нарушений дендритного аппарата как постсинаптической части синаптических контактов в патогенезе алкогольных поражений мозга.

Этаноловая интоксикация у ДС крыс, наряду с вышеуказанными изменениями ультраструктурной организации нейронов ЛГ, вызывает изменения межнейрональных контактов, действуя, по мнению Селеми [38], как тормоз синаптической передачи некоторых нейротрансмиттеров.

Следует отметить, что аксоматические синапсы с пресинаптическими терминалиями, содержащими сферические светлые везикулы (терминали типа I по нашей классификации [12]) не претерпевают каких-либо значительных изменений, тогда как в ак-

со-дендритных синапсах с пресинаптическими терминалями типов II и III заметно увеличивается число крупных везикул с плотной серде-



Рис. 2. ЛГ ДС крысы. Участок нейропиля;
а — митохондрия с разрушенными кристами;
б — деформированная митохондрия. х 28000



Рис. 3. ЛГ ДС крысы. Участок нейропиля;
а — вакуолизированные дендриты; б — локальное сужение дендрита. х 28000

виной (рис. 3а, 4а). Пресинаптическая терминаль в некоторых аксо-дендритных синапсах принимает причудливые формы. Наряду со смор-

щенными темными наблюдаются большие терминалы, содержащие значительное число крупных светлых пузырьков, имеющих вид опустошенных вакуолей малого размера.

В митохондриях аксонных терминалей как аксо-соматических, так и аксо-дendритных синапсов отмечается дезорганизация и разрушение крист (рис. 4а). В некоторых случа-

трансмиттерных вещества, локализованных в морфологически отличающихся друг от друга пузырьках. В них, конечно, трудно установить избирательную специфичность этанолового воздействия на медиаторную систему. Это и подтверждают противоречивые данные биохимических исследований [1, 19, 26, 35, 40—44].

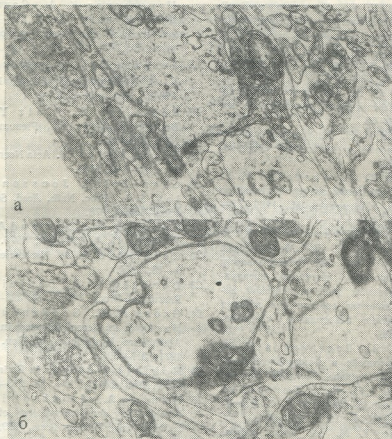


Рис. 4. ЛГ ДС крысы. Участок нейропиля: а — х 32000; б — дегенерация терминали по „темному“ типу. х 34000

ях наблюдаются пресинаптические терминалы дегенерирующие по «темному» типу; как правило, такие терминалы контактируют с дендритами среднего калибра (рис. 4б).

Имеющиеся в литературе данные [22, 20, 25] указывают на то, что в различных образованиях нервной системы, в том числе головном мозгу млекопитающих, один и тот же нейрон может содержать два и более

По нашему мнению, острая этаноловая интоксикация у непредрасположенных к алкоголю крыс наряду с мембранные-структурным воздействием вызывает изменения и в нейротрансмиттерных системах. Конечно, данным методом трудно установить именно на какую из них она действует; но одно становится ясным, что при острой этаноловой интоксикации изменения претерпевают аксо-дendритные синапсы с пресинаптически-

ми терминалями типа Ia и III. Не исключена также возможность, что, наряду с изменением уровня и скорости оборота нейротрансмиттеров, происходит аккумуляция метаболитов, формирование и накопление продук-

тов конденсации, так называемых «шибочных передатчиков» [43], структурное сходство которых с медиаторами обуславливает нейротоксический эффект этанола.

ЛИТЕРАТУРА

1. Анохина И. П., Маковская И. В., Манилов К. В., Кудинова Е. В. В кн.: Фармакология экспериментального алкоголизма, 1982, 49—53.
2. Баскина Н. Ф. В кн.: Алкоголизм и алкогольные психозы, М., Ин-т психиатрии, 1963, 38, 230—234.
3. Боброва Л. В. Тез. докл. Красноярского государственного медицинского ин-та, 1974, 51—55.
4. Боголепов Н. Н. Ультраструктура синапсов в норме и патологии, «Медицина», М., 1975.
5. Бородкин Ю. С., Усатенко М. С. В кн.: Фармакология экспериментального алкоголизма, «Медицина», М., 1982, 75—97.
6. Буров Ю. В., Жуков В. Н. Кампов-Полевой А. Б. Методическая рекомендация по экспериментальному фармакологическому изучению препаратов, предлагаемых для клинической апробации в качестве средств для лечения и профилактики алкоголизма, «Медицина», М., 1980.
7. Буров Ю. В., Ведеников Н. Н. В кн.: Нейрохимия и фармакология алкоголизма, «Медицина», М., 1985, 54—59.
8. Вербицкая Л. Б., Боголепов Н. Н. Ж. Невр. и псих. им. С. С. Корсакова, I, XXXIV, 7, 1984, 987—993.
9. Воробьева Т. М. Ж. высш. нервн. деят., 27, 2, 252—261, 1977.
10. Зубарский Н. Б. В кн.: Функциональная биохимия клеточных структур, «Наука», М., 1970, 266—290.
11. Кампов-Полевой А. Б. В кн.: Фармакология эксп. алкоголизма, «Медицина», М., 1982, 130—135.
12. Мхендзел Е. Г., Хитаришвили М. Б. Изв. АН ГССР, сер. биол., 16, 3, 172—178, 1990.
13. Никольская К. А., Сагимбаева Ш. К. Ж. высш. нервн. деят., 28, 5, 948—956, 1978.
14. Попова Э. Н. Бюлл. эксп. мед., 85, I, 87—89, 1978.
15. Попова Э. Н. Ж. неврол. и психиатр. им. С. С. Корсакова, 81, 7, 1084—1094, 1981.
16. Попова Э. Н., Полянская В. Б., Никольская К. А., Сагимбаева Ш. К., Кривицкая Г. Н., Кешелава С. Д. В кн.: Мозг и алкоголь, «Наука», М., 1984, 182—204.
17. Хохриги Н. Т. Ж. невр. и псих. им. С. С. Корсакова, XXXIV, 7, 1031—1034, 1984.
18. Begleiter H., Platz Y. In: The Biology of Alcoholism, Plenum Press, 2, 1972, 293—343.
19. Borg Meldgaard. Acta Neurol. Scand., 67, 131—142, 1983.
20. Chan-Palay, Jonsson G., Palay S. L. Proc. Nath. Acad. Science, 75, 1582—1586, 1978.
21. Colfges R. W., Dymond A. M. Biol. Psychiat., II, 4, 433—443, 1976.
22. Cottrellie G. A. Neuroscience, 2, 1, 1—18, 1977.
23. Denoble V. I., Begleiter H. Pharmacol. Bioch. Behav., 10, 393—396, 1979.
24. Gross M. M., Goodenough D. R., Hasty J. In: Recent Advances in Studies of Alcoholism, Washington, US Gov. Print off., 1971, 317—397.
25. Hokfelt T. In: Prog. in Brain Res., Elsevier, Amsterdam, 1971, 34, 213—222.
26. Hunt N. A., Majchrowicz E. In: Biochemistry and Pharmacology of Ethanol, 2, New York, Plenum Press, 1979, 167—205.
27. Kianimaa K. In: Animal Models in Alcohol Research, London, Academic Press, 1980, 317—322.
28. Littleton J. M., John G. J. Pharm. Pharmac., 2, 570—580, 1977.
29. Littleton J. M., John G., Grieve S. J. Alcohol Clin. Exp. Res., 3, 50—56, 1979.
30. Littleton J. M., Grieve S. J., Griffiths P. J., John J. K. In: Biol. Effects of Alcohol, New York, Plenum Press, 1980, 7—19.
31. Less H. Soc. Neuroscience Abst., 8, 1028—1029, 1982.
32. Michaelis E. K., Michaelis M. L. In: Research Advances in Alcohol and Drug Problems, 7, New York, Plenum Publ. Corporation, 1983, 127—173.



33. Noble E. P., Tewari S. Fed Proc., 3, 1942—1945, 1975.
34. Pohorecky L. A. In: Alcohol Intoxication and Withdrawal, III A, New York, Plenum Press, 1977, 495—513.
35. Predescu V., Roman I., Romicila A., Neurol. Psych. Neurochir., 21, 1, 7—14, 1976.
36. Reitz R., Schilling R. I. In: Alcohol Tolerance, Amsterdam, Elsevier Biochemical Press, 1980, 241—264.
37. Roach M. K. In: Bioch. and Pharm. of Ethanol, 2, New York, Plenum Press, 1979, 67—80.
38. Salamy A., Williams H. EEG and Clin. Neurophys., 35, 1, 3—10, 1973.
39. Tabakoff B. Clin Exp. Res., 3, 351—352, 1979.
40. Tabakoff B. In: Current in Alcohol Research and the Prevention of Alcohol Problems
- lems, Bern Hans. Huber Publishers, 1985, 33—44.
41. Takekoshi F. T., Rubin E. Lab. Invest., 52, 2, 120—131, 1985.
42. Ticku M. K., Bruch T. P. Drug and Alcohol Depend., 6, 64—65, 1980.
43. Topel H. Alcohol, 2, 6, 711—766, 1985.
44. Triet D., Terlecki L., Pinel J. P. J. Subst. Alcohol Actions Misuse., 1, 165—172, 1980.
45. Walker D. W., Hunter B. E. Neuropsychologia, 16, 545—553, 1978.
46. Wayner M. J. Physiol. Behav., 6, 6, 747—749, 1971.
47. Wayner M. J., Gawronski, Roubice C. In Intern. Symp. Biological Aspects of Alcohol Consumption, 27—29, 1971, Helsinki, 20, 1972, 233—239.
48. Wayner M. J. Ann. New York Acad. Sci., 215, 13—37, 1973.
49. Wood J. G. J. Histochem. Cytochem., 11, 2, 1060—1067, 1974.

ალკოჰოლისაფე არამიღრებილი ვირთაგვის დატერალური
ჰიპოთალაზუსის ნირონებისა და სინაფსების ულტრასტრუქტული
ორგანიზაცია ეთანოლით მავავი ინტორესის დროს დონის

მ. მიმი, ა. ჩითარიშვილი

საქართველოს სსრ მეცნიერებათა აკადემიის ი. ბერიძის მეცნიერებელის სახელობის
უზრუნველყოფის ინსტიტუტი, თბილისი

რეზიუმე

ეთანოლით მწვავე ინტორესის დროს შესწავლითი ლატერალური ჰიპოთალაზუსის ნეირონებისა და სინაფსების ნატიფი სტრუქტურა ალკოჰოლისადმი არამიღრებებით ვირთავება.

დასტრუქციული ცვლილებები აღნიშნება, როგორც ნეირონების სრმასა და მორჩებში, ისე სინაფსებში, რაც გამოიხატება მემბრანული კომპონენტების დეზორგანიზაციაში, ზიტონდრიების გაჯირებაში და ვაკუოლიზაციაში. ცვლილებებს განიცდის აგრეთვე ის აქსო-დენდრიტული სინაფსებიც, რომელთა კომპონენტების აკუმულაცია, კონდენსაციის პროცესების ე. წ.

აღნიშნული სტრუქტურული ცვლილებები მაჩვენებელი უნდა იყოს ეთანოლის მემბრანოტროპული მოქმედების მიმართ თანდაყოლილი მგრძნობელობისა, რომელიც დამახსიათებელია „არაალეოზოლიკი“ ვირთავებისათვის. არ არის გამორჩეული აგრეთვე სხვა პროცესებიც, როგორიცაა მეტაბოლიტების აკუმულაცია, კონდენსაციის პროცესების ე. წ. „შეცდომითი მედიატორების“ დაგროვება, რომელთა სტრუქტურული მსგავსება მედიატორებთან იწვევს ეთანოლის ნეიროტოქსიურ ეფექტს.

ULTRASTRUCTURAL ORGANIZATION OF NEURONS AND SYNAPSES OF LATERAL HYPOTHALAMIC AREA IN RATS NOT PREDISPOSED TO ALCOHOL DURING ACUTE ETHANOL INTOXICATION



E. G. MKHEIDZE, M. B. KHITARISHVILI

I. S. Beritashvili Institute of Physiology, Georgian Academy of Sciences,
Tbilisi, USSR

Summary

In rats not predisposed to alcohol, i. e. long-sleeping ones (LS) the ultrastructural organization of the lateral hypothalamic (LH) neurons and interneuronal contacts was studied during acute alcohol intoxication.

Sharp destructive changes were observed in some nerve processes and synapses, being manifested in vacuolization and desorganization of membrane components, in swelling of mitochondria and in alteration of axo-dendritic synapses, the presynaptic components of which are rep-

resented by terminals of Ia and III types.

The above-mentioned structural changes might indicate the existence of primary high sensitivity to membranotropic action of alcohol and the excellent enzymatic activity in LS rats. A possibility of metabolite accumulation, formation of condensation products of the so-called "false transmitters", providing the neurotoxic effect of ethanol by structural resemblance to neurotransmitters, must not be also excluded.



УДК 611.815

гистология

ОРГАНИЗАЦИЯ ЗРИТЕЛЬНОЙ ПРОЕКЦИИ В РАЗЛИЧНЫЕ КОРКОВЫЕ ПОЛЯ У КОШЕК

М. Ш. Пирцхалайшвили

Тбилисский государственный педагогический институт им Сулхан-Саби Орбелiani

Поступила в редакцию 01.07.88

Методом люминесцентного выявления ретроградного транспорта примулина изучалась организация эfferентных связей дорсального ядра наружного коленчатого тела (НКТд) и ядер задне-латерального таламического комплекса с различными по функциональной значимости корковыми полями.

Проекции НКТд в первичные зрительные поля (17, 18, 19) и зону Клера-Бишопа (С—В) организованы ретинотопически, а в ассоциативные поля теменной коры (5, 7, 21) — исключительно диффузные. Инициальные нейроны топически организованных проекций принадлежат, главным образом, основным (A и A₁) слоям, а диффузных — мелкоклеточным (С—С₃) слоям НКТд. Ядра задне-латерального таламического комплекса в первичных зрительных полях представлены без признаков топической организации, а в ассоциативных полях теменной коры и зоне С—В топически организованы. Основным источником проекций в зону С—В является нижнее ядро подушки таламуса.

Современные нейроанатомические методы, основанные на ретро- и антероградном аксоноплазматическом транспорте различных маркеров, позволяют получить новые факты, существенно расширяющие знания об организации таламо-кортикального звена зрительной системы [1, 2, 5, 11, 14, 15, 18, 19, 20, 21, 22]. Однако, из-за определенных методических особенностей, эти данные все еще содержат множество противоречий. Они касаются, главным образом, локализации окончаний прямых путей основных таламических центров классиче-

ской и экстрагеникулярной зрительных систем — соответственно НКТд и ядер задне-латерального таламического комплекса (подушка таламуса — Pul и задне-латеральное ядро — LP) в различных корковых полях.

Целью настоящего исследования являлось изучение структурной организации эfferентных систем связей НКТд и таламических образований экстрагеникулярной зрительной системы с различными по функциональной значимости корковыми полями.

МАТЕРИАЛ И МЕТОДИКА

Исследования проводились на половозрелых кошках обоих полов, которым в стерильных условиях под внутримышечным нембуталовым наркозом (45 мг/кг) производили инъекции примулина (ЧДА, Шосткинский завод химреактивов). Инъекции

производились в поля зрительной, теменной и латеральной супрасильвической области коры больших полушарий, в которых методами терминалной дегенерации нами выявлена определенная топическая организация проекций НКТд [4]. Локализация

каждой проекции дается на рис. 1 а. Для инъекции приготавливали водный раствор насыщенного при 37°C красителя, который вводили в объеме 0,5—1,5 мкл стеклянной микропипеткой 2—3 порциями по всей толще коры. По истечении 48—72 ч нар-

(+4°C). Фронтальные срезы латерального полушария толщиной 30 мкм получали на замораживающем микротоме, собирали в воду, настигали на стекла и просушивали в воздухе. После заключения в 30%ный водный раствор глицерина сре-

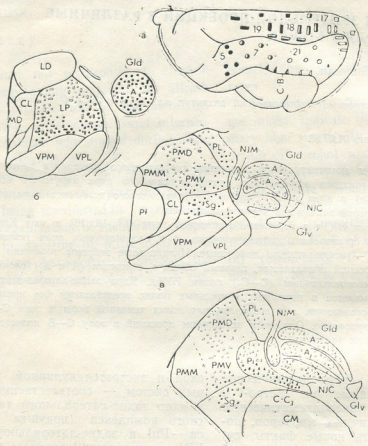


Рис. 1. Схема мест инъекций примулина (а) в кору 17, 18, 19, 5, 7, 21 полей и зоны С—В; б, в, г—суммарная схема, изображающая распределение ретрографию меченых инициальных клеток в НКТд и задне-латеральном таламическом комплексе при различных инъекциях (фигуры, обозначающие распределение инициальных клеток, соответствуют фигурам обозначения мест инъекций)

котизированных животных перфузировали 10%-ным формалином на физиологическом растворе. Мозг извлекали и оставляли на ночь в 5%-ном формалине на 30%-ном водном растворе сахара в холодильнике

и просматривали в люминесцентном микроскопе «ЛЮМАМ-И З», применяя систему светофильтров СС 15—6 и ЖС 18 ЖЗС 19. Примулинодержащие нейроны дают яркое желтое свечение цитоплазмы [3].



Инициальные нейроны эфферентных систем связей таламуса с 17, 18 и 19 полями коры. Инъекции маркера в поле 17 метят, главным образом, нейроны слоев А и А₁ НКТд и в меньшей степени слоев С—С₃. При этом ярко светящиеся клетки, в основном крупных и средних размеров, выстроены в колонки, смещающиеся в передне-заднем направлении в зависимости от локализации мест инъекций. В каудальном направлении количество инициальных нейронов уменьшается. Меньшее число светящихся клеток обнаруживается в медиальном интерламинарном ядре (NIM) и очень мало в вентролатеральной части медиального (PM) и нижнего (Pi) ядер подушки таламуса. Со смещением инъекций в центральные участки поля 17 колонка меченых клеток, занимающая основные слои НКТд, смещается в каудальном направлении. Меньшее число инициальных нейронов обнаружено в центральном интерламинарном ядре (NIC), слоях С—С₃ и А—А₁ интерламинарного сплетения. Инъекции, произведенные в задний полюс постлератеральной извилины, вызывают появление большого числа меченых клеток в медиальной части слоев А и А₁ на каудальном уровне НКТд (рис. 2а), в NIC слоях С—С₃ и А—А₁ интерламинарного сплетения. В NIM и в задне-латеральном комплексе таламических ядер инициальные нейроны представлены в таком же числе и порядке, как и в предыдущих случаях.

Инъекции в передние участки поля 18 дают метку в клетках передней части НКТд. Как в основных слоях, так и в интерламинарном сплетении А—А₁, NIM и NIC отмечается явно выраженное преобладание примулиноводержащих крупных клеток по сравнению со случаями инъекций в поле 17. Кроме того, колонки, создаваемые меченными клетками основных слоев НКТд, менее компактны, чем это отмечалось после инъекций в поле 17. После введения маркера в поле 18 также значительно возрастает число меченых нейронов в латеральной части PM и задне-латерального таламического ядра (LP). Инъекции

примулина в средние участки поля 18 метят клетки также в слоях А и А₁ и в интерламинарном сплетении. Большое количество меченых клеток прослеживаются в NIC и С—С₃ слоях. Они обнаруживаются также в PM (рис. 2б), PL, Pi и супрагеникулярном (Sg) ядрах. После инъекций в более каудальные участки поля 18 скопление инициальных нейронов прослеживается на каудальном уровне указанных ядер. Основные слои НКТд содержат меньшее число меченых клеток средних размеров. По сравнению с предыдущими случаями нарастает количество меченых клеток в PM и Pi ядрах.

Инъекции люминофора в передние части поля 19 приводят к появлению большого числа меченых клеток в С—С₃ слоях и NIM. При этом значительно возрастает количество меченых клеток в вентролатеральной области PM, в медиальной части Pi и латеральной части LP ядер. Со смещением точек инъекций в каудальном направлении распределение меченых клеток в таламусе перемещается также в каудальном направлении. Основное число меченых клеток располагается в С—С₃ слоях НКТд, меньшее — в NIM и А—А₁ слоях. Множество маркированных клеток определено в центральной и вентролатеральной частях PM. В дорсо-медиальных частях Pi и LP ядер их немного.

Инъекции примулина в каудальные части поля 19 вызывает свечение значительного числа клеток, главным образом, в средне-медиальной части С—С₃ слоев на среднем и заднем уровнях НКТд (рис. 2в). Меченные клетки прослеживаются в вентролатеральной части PM. Значительное их число определено в вентролатеральной части LP и дорсо-медиальной части Pi ядер.

Инициальные нейроны эфферентных систем связей таламуса с теменными ассоциативными (5, 7, 21) полями коры. Инъекции маркера, произведенные в пределах поля 5, вызывают появление специфического све-

чения в малых веретенообразных нейронах передней части слоев С—С₃ НКТд. Незначительное число меченых клеток расположено в слоях А, А₁ и NIM. В вентро-латеральной части РМ число меченых клеток велико, их меньше в дорсальной части РМ. Значительное количество примулинодержащих клеток выявлено в средне-медиальной части Sg ядра. Нейроны, проецирующиеся в поле 5,

не НКТд. Меньшее число проекционных нейронов принадлежат слоям А и А₁ и NIM.

Инъекции в крайне задние участки средней супрасильвиевой извилины (поле 21) ведут к появлению меченых клеток в дорсо-медиальной части РМ ядра. Число меченых нейронов уменьшается в вентро-латеральном направлении. Значительное число инициальных клеток обнаружива-

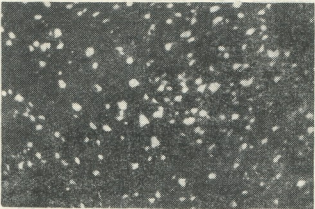


Рис. 2. Инициальные нейроны; а — задней части основных слоев НКТд, проецирующихся в заднюю часть поля 17; б — медиального ядра подушки таламуса, проецирующихся в среднюю часть поля 18; в — средне-медиальной части С—С₃ слоев, проецирующихся в каудальную часть поля 19. Об. 10x(а), 40x (б, в), ок. 6x (а, а), и 3х (б)

обнаружены также в вентро-медиальной части PL ядра и в LP ядре таламуса, где меченные клетки расположены полосами.

Инъекции примулина в поле 7 дают обилие меченых клеток в РМ, в основном, в его вентро-латеральной части. Меченные клетки обнаружены также в медиальной части PL. Примулинодержащие веретенообразные нейроны в большом числе располагаются в слоях С—С₃ на среднем уров-

няется в PL ядре, а также в дорсо-латеральной части LP ядра, в Pi и NIM.

Инициальные нейроны эффеरентных систем связей таламуса с зоной Клер-Бишопа. Инъекции всего передне-заднего протяжения зоны С—В вызывает интенсивное свечение клеток в Pi, в вентро-латеральной и дорсо-латеральной частях РМ ядра, меньшего числа — в LP и Sg ядрах и во всех слоях НКТд. Основная масса крупных и средних меченых кле-

ток выявляется в области Рі ядра. В случаях инъекций передней части зоны С—В меченные клетки сконцентрированы в более вентральной части Рі ядра и в передней части НКТд, а после инъекций задних участков — в дорсо-латеральной части Рі и задней части НКТд.

Таким образом, распределение проекционных нейронов в структурных компонентах НКТд и таламических образованиях экстрагеникулярной зрительной системы обнаруживает признаки топической организации (рис. 1б, в, г). Сопоставление результатов собственных исследований с данными литературы [6, 13, 16, 24, 25] выявляют, что участки А—А₁ слоев НКТд, принимающие проекцию от верхней и нижней частей сетчатки, в свою очередь формируют организованные в передне-заднем направлении проекции в первичные зрительные поля и зону С—В. Другими словами, ретинотопическая организация в геникуло-кортикалной системе определяется нейронами основных (А и А₁) слоев НКТд.

Существенным, на наш взгляд, является то, что такой же принцип организации выявляется в проекциях ядер задне-латерального таламического комплекса в теменные ассоциативные поля [5, 7, 21]. Участки предста-

вительства верхней и нижней частей сетчатки (нижнего и верхнего поля зрения) [2, 16, 17, 23, 24] проецируются в передние и задние части теменных ассоциативных полей, что свидетельствует о сохранении основной ретинотопической организации в указанных проекциях.

Не менее важным результатом проведенного исследования нам представляется факт, свидетельствующий о том, что нейроны, формирующие диффузные корковые проекции за пределами первичных зрительных полей, локализованы в мелкоклеточных (С—С₃) слоях НКТд, а источником диффузных проекций в первичных зрительных полях являются нейроны малых размеров задне-латерального таламического комплекса.

Соответственно, сопоставление полученных нами данных со сведениями о корковых проекциях клеток структурных компонентов НКТд и ядер задне-латерального таламического комплекса [4, 7, 9, 10, 17], дает основание выделить системы топически организованных и диффузных связей в геникуло-кортикальных и экстрагеникуло-кортикальных проекциях и тем самым определить субстрат взаимодействия геникулярной и экстрагеникулярной зрительных систем на корковом уровне.

ЛИТЕРАТУРА

1. Обухова Г. П. В кн.: Аксональный транспорт веществ в системах мозга (Мат. Всес. конф.), Киев, 82—86, 1981.
2. Обухова Г. П. Арх. анат., 82, 6, 17—22, 1982.
3. Отеллин В. А., Мешканайтэ В. И., Рыбаков В. Л. Арх. анат., 80, 1, 26—29, 1981.
4. Пирцхалайшвили М. Ш. Изв. АН ГССР, сер. биол., 12, 3, 155—161, 1986.
5. Bullier J., Kennedy N., Salinger W. J. Comp. Neurol., 228, 2, 309—328, 1984.
6. Garey Z. I., Powell T. P. S. Proc. Roy. Soc., 169, 1, 107—126, 1967.
7. Graybiel A. M. Brain Res., 44, 1, 99—125, 1972.
8. Graybiel A. M. Invest. Ophthalm., 11, 322—332, 1972.
9. Graybiel A. M., Berson D. M. In: C. N. Woolsey (Ed.), Multiple Cortical Sensory Areas: Somatic, Visual and Auditory. The Human Press, Clinton, NY, 1972, 223—228.
10. Graybiel A. M., Berson D. M. In: T. O. Schitt, F. G. Worden and F. Dennis (Eds), The organization of the cerebral cortex, MIT Press, Cambridge, M. A. 1972, 286—319.
11. Holländer N., Vongras N. J. Comp. Neurol., 173, 3, 519—539, 1977.
12. Kawamata K. Exp. Neurol., 45, 2, 451—461, 1974.
13. Laties M. A., Sprague J. M. J. Comp. Neurol., 127, 1, 35—70, 1966.
14. Le Vay S., Gilbert C. D. Brain Res., 113, 1, 1—19, 1976.
15. Maciewicz R. I. Brain Res., 84, 2, 308—312, 1975.
16. Naito J. J. Comp. Neurol., 251, 3, 376—387, 1986.
17. Niimi A., Inoshita N., Kadota M. Brain Behav. Evol., 9, 1—6, 422—457, 1974.
18. Niimi K., Matsuoka H., Yamazaki Y. Brain Behav. Evol., 18, 1—6, 114—139, 1981.

19. Niimi K., Matsuoka N., Yamazaki Y., Matsumoto N., I. Nirnforsch., 24, 2, 173—187, 1983.
20. Raczkowski D., Rosenquist A. Brain Res., 199, 2, 447—451, 1980.
21. Symonds L., Rosenquist A., Edwards S., Palmer L. Neurosci., 6, 10, 1985—2020, 1981.
22. Tong L., Kalil R. E., J. Comp. Neurol., 212, 1, 103—117, 1982.
23. Tusa R. I., Palmer L. A., Rosenquist A. C. Soc. Neurosci. Abstr., 1—52, 1975.
24. Updyke B. V. J. Comp. Neurol., 173, 1, 81—122, 1977.
25. Updyke B. V. J. Comp. Neurol., 201, 3, 477—506, 1981.

კატის მხედველობის პროექციის ორგანიზაცია ჰემისფეროთა
შერჩის სხემადასხვა ვიღებში

3. უილდელაივალი

სულხან-საბა არბელიანის სახელობის სახელმწიფო პედაგოგიური ინსტიტუტი, თბილისი
რეზიუმე

პრიმულინის რეტროგრადული ტრანსპორტის ლუმინესცენტული გამოვლენის მეთოდით შესწავლილ ქნა გარეთა დამუშველილი სხეულის ღორსალური ბირთვის (დგვლს) და თალამუსის უკანალატერალური ბირთვული კომპლექსის ეფერენტული კაშშირების ორგანიზაცია ჰემისფეროთა ფუნქციურად განსხვავებულ ქრებულ ველებში.

დგლ-ის პროექცია მხედველობის პირველად ველებში (17, 18, 19) და კლერ-ბიშოპის (C—B) ზონაში ორგანიზებულია რეტინო-ტრანსპორტული, ხოლო თხემის ქერქის ასოციაციურ ველებში (5, 7, 21) აღნიშნული ბირთვის პროექცია მხოლოდ დიფუზურ ხსიათს ატარებს.

ტრანსპორტი თრანსიზებულ პროექციათა ინციალური ნეირონები დგლ-ის ძირითად (A და A₁) შრებს ვანეკუთხება, ხოლო დიფუზურის — წყრილურედოვან (C—C₃) შრებს. თალამუსის უკანალატერალური კომპლექსის ბირთვები მხედველობის პირველად ველებში ტრანსპური ორგანიზაციის ნიშნების გარეშე წარმოდგენილი, ხოლო თხემის ქერქის ასოციაციურ ველებში და C—B-ის ზონაში მათი პროექცია ტრანსპორტული თრანსიზებულია. C—B-ის ზონის ძირითად საპროექციო წყაროს თალამუსის ბალაზის ქვედა ბირთვის ნეირონები წარმოადგენენ.

ORGANIZATION OF CAT'S VISUAL PROJECTIONS TO DIFFERENT CORTICAL AREAS

M. Sh. PIRTSKHALASHVILI

Sulkhana-Saba Orbeliani State Pedagogical Institute, Tbilisi, USSR

Summary

Using Primulin retrograde transport luminescence method, study was made of the organization of efferent connections of the lateral geniculate body dorsal nucleus (LGD) and the thalamic dorso-lateral nuclei complex with the functionally varying cortical areas.

LGD projection to the visual primary areas (17, 18, 19) and to the Clare-Bishop (C—B) zone is organized retinotopically, while this nucleus appears to have a diffuse projection to the parietal cortex association areas (5, 7, 21). Initial

neurons of the topically organized projections are attributed essentially to A and A₁ layers of LGD, while the diffuse ones to the small-cellular (C—C₃) layers. The thalamic dorso-lateral nuclei complex is represented in the primary visual area without any signs of topical organization, while in the parietal cortex association areas and in the C—B zone their projection is topically organized. The major projection source of the C—B zone appears to be the neurons of the thalamic inferior nucleus of pulvinar.

УДК 581.8

БОТАНИКА

К АНАТОМИЧЕСКОМУ СТРОЕНИЮ ЧЕМЕРИЦЫ ЛОБЕЛЯ

Н. А. Анели¹, Дж. Н. Анели, Н. Л. Мачайдзе, Г. Э. Аладашвили

Институт фармакохимии им. И. Г. Кутателадзе АН ГССР, Тбилиси

Поступила в редакцию 12.02.88

В работе приводятся данные об анатомическом строении различных органов растения чемерица Лобеля, в котором наблюдается наличие как типичных, так и совершенно новых взаимосочетаний разнотипных агрегатов проводящих пучков. Из выявленных анатомических новшеств отмечается оригинальная комплектация всех типов агрегатов. Листья изолатерального губчатого типа. Широкая стержневая часть корневища состоит из рыхлых, расположенных рядом голых агрегатов, которые самостоятельно перемежаются цепочками сосудов с 6 флоэмыми островками.

Из многолетних однодольных растений по содержанию биологически активных веществ (алкалоиды: иервин, рубиервин, гермодин, верозолинин и др.; глюкозид вератрамин; смола, сахара, дубильные и красящие вещества [5, 8, 9, 10]) особого внимания заслуживает чемерица Лобеля — *Veratrum lobelianum* Bernh. (сем. лилейные — *Liliaceae*).

Растение широко применяется в народной и научной медицине. В ветеринарии отвар корней и корневища используют как средство, улучшающее пищеварение у животных, а в больших дозах — в качестве рвотного средства [5, 6]. Чемерица Лобеля как лекарственное растение включена в Гос. Фармакопею СССР [7].

Для распознавания растения в молодом возрасте и для идентификации чемерицы необходимо проведение морфолого-анатомических исследований вегетативных частей: стебель (ось соцветия), лист, корень, корневище.

Растение до 10—15 лет не имеет надземного стебля: имеются лишь многочисленные обхватывающие друг друга черешки листьев. Вследствие этого растение имеет габитус стеблевого типа высотой 1,5 м и более. Крупные листья ежегодно отмирают, постепенно разрастается корневище,

на нем появляются луковицы обновления (3—5 штук, длиной 5—6 см), достигая длины до 15 см и ширины 2—3 см. Ближе к листовым ободкам развиваются многочисленные крупные корни (диаметр 4—6 мм). Длина некоторых этих шнуровидных корней достигает около 180 см (рис. 1). Стебель (ось соцветия) чемерицы в reproductive зреющий период вырастает внутри многочисленных круговых покровов черешков листьев с метелкой цветков и достигает высшей точки. Одновременно стебель внутри черешков постепенно нарастает в толщину, потребляя накопленные питательные вещества листьев, корневища и толстых корней.

Ввиду того, что стебель чемерицы не имеет узлов, растение можно причислить к аподальной группе, к которой должны быть отнесены также лук, банан, гладиолус и некоторые другие растения. Стебель снаружи покрыт однослойной эпидермой. Далее расположена многоклеточная мезодерма, в которой по всему кругу разбросаны коллатеральные, круглой формы, голые проводящие агрегаты (пучки) или просто агрегаты. После мезодермы вкруговую простирается сплошной пояс стедендальных клеток, в котором разбросаны мелкие, круглой формы агрегаты (рис. 2,7). В

далнейшем (внутри) агрегаты принимают более эллиптическую форму (по радиальной ориентации) и опоясаны стернеидальными клетками. Они

же самое можно говорить о крупных агрегатах (в крупных жилках) — они удлиненные. Вокруг агрегатов расположены стернеидальные клетки,



Рис. 1. Растение в фазе распускания почки возобновления:
1 — корни; 2 — растение в продольном разрезе: а — кроющие,
б — ассимиляционные листья; с — очаги воспроизведения стебля;
д — корневище; 3 — ассимиляционные листья развернуты; 4 — отдельный лист в почке; 5 — корневище; 6 — корешки; 7 — кро-
ящий лист; 8 — отмершие корни; 9 — почка возобновления

постепенно сокращаются в числе и образуют безагрегатную зону сердцевины. В центре — небольшая воздушная полость. Тип строения стебля колизейнорыхлоорбитальный.

Листья тонкие, покрыты однослойной крупноклеточной эпидермой с обеих сторон (рис. 3). Мезофилл изолатеральный, губчатый с малыми межклетниками (рис. 3,1). Крупные жилки выступают на верхней стороне листа. Ксилемная часть агрегатов расположена ближе к выпуклым участкам жилок листа. Крупные и мелкие жилки изодиаметральные, для точности лучше их называть прерывисто-панцирными (рис. 3,5; 4,20). То-

прерывающиеся с двух сторон (рис. 3,5).

Клетки верхней эпидермы прямоугольностеночного типа [1], а нижней — сравнительно мелкие и более узкие (рис. 3,6). Устьица чечевидно-тонкостеночного типа имеются только на нижней стороне листа (рис. 3,7). На нижней эпидерме развиты малочисленные тупоконусовидные двухклеточные трихомы. Колленхима (уголковая) лучше выражена на выступах крупных жилок (рис. 3,3).

Почки возобновления покрыты двумя типами листьев: кроющие (бес-

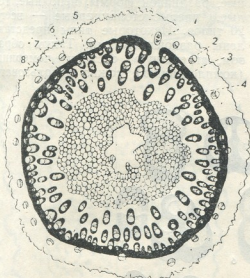


Рис. 2. Поперечный срез стебля соцветия: 1-2 — кора (мезодерма) с гольми каулифолиарами; 3 — стеренидальный пояс с панцирными транзиторными агрегатами; 4 — транзиторные агрегаты; 5 — межагрегатная паренхима; 6 — медуляр; 7 — транзиторные агрегаты в стеренидальном поясе; 8 — воздушная полость (сердцевина)

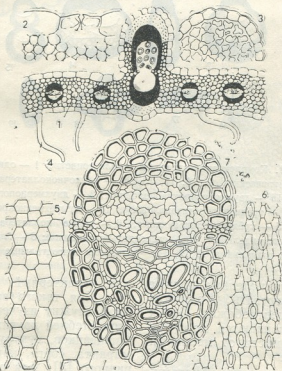


Рис. 3. Структура листа: 1 — губчатая паренхима; 2 — устьице в разрезе; 3 — колленхима в выпуклой части листа; 4 — тупоголовая простая трихома с базисом; 5 — верхняя и 6 — нижняя эпидермы; 7 — транзиторный агрегат

цветные) — 8 и более кругов и вегетирующие (скорее черешки) — 10 и более кругов, которые постепенно переходят в складчаторасположенные листовые пластинки (рис. 5, 1₂). В черешковых ободках по одному кругу

ные, различной формы, неполные, голые, прерывистопанцирные, всего 20 типов. Некоторые типы представлены разновидностями. Таким образом, агрегатную систему чемерицы (комплектацию) можно использовать

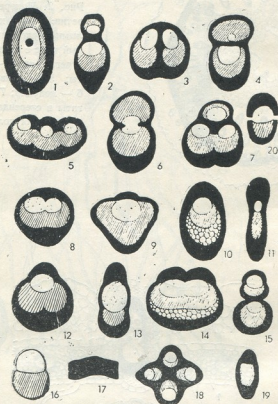


Рис. 4. Комплектация агрегатов стебля соцветия: 1 — одиночно-концентрические; 9, 10, 11, 13, 20 — одиночноколлатеральные; 2, 4, 15 — двухмернопротивоположные; 3 — двухмернограницные; 7 — трёхмернопротивоположные; 18 — четырёхмернокрестовидные; 5 — трёхмернограницные; 16 — голые коллатеральные; 17 — стереидальные; 19 — стереидальноксилемные; 6 — близнецы радиальные; 8, 12, 14 — близнецы тангентальные

расположены многочисленные полные коллатеральные агрегаты. Количество их возрастает центробежно. Почки возобновления развиваются до 3-х и более — в зависимости от мощности развития растения.

Комплектация агрегатов. Анатомический анализ стебля показывает разнородность структуры по наличию и расположению ксилемы, флоэмы, стероидов и метаболической паренхимы (рис. 4). Все агрегаты закрыты и панцирные. Они могут быть одиночные, парные, трех- и четырехсекцион-

ные, различной формы, неполные, голые, прерывистопанцирные, всего 20 типов. Некоторые типы представлены разновидностями. Таким образом, агрегатную систему чемерицы (комплектацию) можно использовать как характерный видовой признак [2]. Для такого заключения основанием служит изучение агрегатных систем стеблей других растений: 21 вид борщевиков, кукурузы, юкки славной, маранта, сорго, карната, алое древовидного [3]. Для однодольных растений признаки комплектации агрегатных систем должны считаться как определяющим показателем, так и весьма ценным новшеством для систематической анатомии [4].

Корневище анатомически мало отличается от крупных частей цвето-

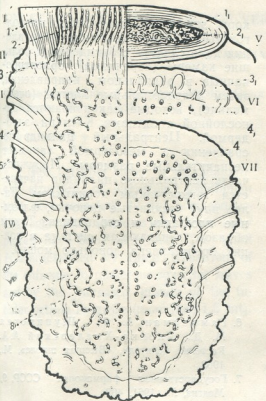


Рис. 5. Строение корневища: 1—почка возобновления на продольном срезе: 1—кроющие листья; 2—ассимиляционные листья; II — листогенная часть: 3—зачатки черешков, III —корнегенная часть корневища: 4—мезодерма; 5—корешок; IV — корневище: 6 — сосуды в коре; 7, 8 — сосуды и агрегаты; V—почка возобновления на поперечном разрезе: 1_1 — кроющие листья; 2_1 —ассимиляционные листья; VI—корнегенная часть на поперечном разрезе: 3₁ — мезодерма; 4₁ — зачатки корней; VII—корневище на поперечном разрезе: 4 — мезодерма

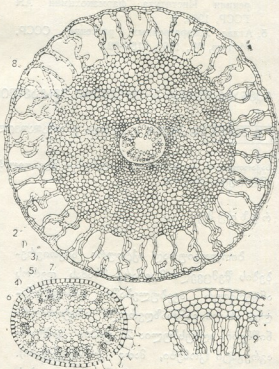


Рис. 6. Строение корня на поперечном срезе: 1 — эпидерма; 2 — аэренхима; 3 — мезодерма; 4 — перицикл; 5 — флюзма; 6 — сосудистые цепочки ксилемы; 7 — эндодерма; 8 — мезодерма коры; 9 — воздушные полости

ножки. Шире представлена кора, в которой по периферии имеются многочисленные корневые зачатки (рис. 5). Внутри разбросаны агрегаты. Наверху корневища вкруговую расположены кроющие чешуи и почечные листья. Корневище многолетнее. На короткой дистанции (0,5—1 см) переходит в зону воспроизведения стебля (ось соцветия — рис. 5, II-3).

Корень многорадиального типа. Ксилемные ряды расположены цепочкообразно — 19—20 штук (рис. 6,3), а флоэма в виде промежуточных площадок (рис. 6,5). Крупные сосуды расположены к центру, а по периферии более мелкие. Снаружи

ЛИТЕРАТУРА

1. Анели Н. А. В кн.: Атлас эпидермы листа, «Мечниче́ба», Тбилиси, 1975, 36.
 2. Анели Н. А., Мгеладзе Г. В. Тез. 25-й научной конференции Института фармакохимии АН ГССР, Тбилиси, 1982, 9—10.
 3. Анели Н. А. Сборник трудов Института фармакохимии АН ГССР, Тбилиси, 1, 12, 1973, 142—149.
 4. Анели Н. А. Тез. 27-й научной конференции Института фармакохимии АН ГССР, 1964, 9.
 5. Атлас лекарственных растений СССР, Медгиз, М., 1962, 618—621.
 6. Гаммерман А. Ф., Щупинская М. Д., Яценко-Хмелевский А. А. Растения целители, «Высшая школа», М., 1963.
 7. Государственная фармакопея СССР, 9, Медгиз, М., 1961, 409.
 8. Мачайдзе Н. Л., Сихарулидзе И. С. Химия природных соединений, 5, 655—660, 1962.
 9. Энукидзе И. Ф. Труды Тбилисского гос. мед. института, 7, 1956, 51—53.
 10. Юнусов С. Ю. Алкалоиды, «Фан», Ташкент, 1981.

მცხოვრის უძრავი ანატოლიური გადაწყვეტილების

6. ՏԵՐԵՆ, 7. ՏԵՐԵՆ, 6. ԹԻՒԱԾԵ, 8. ԱԼՎԱՐԵՑՅՈՒՆ

საკართველოს მეცნიერებათა აკადემიის ა. ქუთათელაძის სახელობის ფარმაკოლოგიის ინსტიტუტი, თბილის

၁၇၈၀၂၃၂

ბიოლოგიურად აქტიური ნივთიერებების შემცველი მცენარე შხამას ღეროს ანატომიურ აგებულებაში გამოვლენილია ახალი განმსაზღვრელი ანატომიური ნიშნები. აღნუსსხულია 20 ტიპის გამტარი აგრეგატი (კონები, მათი კომპლექტები). ფესურის სწრაფი გადასვლა ფოთლების ყორწიებში და მათი გრერგოლი ზრდა სივ-

коры эпидермальные клетки продолговатые. В тангенциальном направлении далее следует субэпидерма и большие камеры (аэрэнхима), ориентированные в радиальном направлении, затем мезодермальные клетки (очень мелкие), которые заканчиваются однолистовой с пятнами Каспари эндодермой. Центральный цилиндр по сравнению с мезодермой занимает незначительные размеры. Наружная часть центрального цилиндра начинается тонкостенным перициклом. Далее идут сосудистые цепочки, флоэмные площадки и сердцевина. Таким образом, запасающая система в корнях представлена довольно мощно.

- Гаммерман А. Ф., Шупинская М. Д., Яценко-Хмелевский А. А. Растения целители, «Высшая школа», М., 1963.
- Государственная фармакопея СССР, 9, Медгиз, М., 1961, 409.
- Мачайдзе Н. Л., Сицхагуридзе И. С. Химия природных соединений, 5, 655—660, 1962.
- Энукидзе И. Ф. Труды Тбилисского гос. мед. института, 7, 1956, 51—53.
- Юнусов С. Ю. Алкалоиды, «Фан», Ташкент, 1981.

რძეშე (1,5 მეტრზე მეტი). განახლების კვირტები (3 და მეტი) წრისებურად და ფარულია უფერო საფარველებით და ფოთლის ყუნწების სარტყელებით. უკანასკნელი შეიცავენ თითო წყება წრისებურად განლაგებულ მრავალრიცხოვან სრულ გამტარ კონებს. საყავავილე ლერთ ვითარდა 10 და მეტი წლის შემდეგ.

ON ANATOMICAL STRUCTURE OF VERATRUM LOBELIANUM BERNH

[N. A. ANELI], D. N. ANELI, N. L. MACHAIDZE, G. E. ALADASHVILI



Kutateladze Institute of Pharmacochemistry, Georgian Academy of Sciences, Tbilisi, USSR

Summary

New defining signs in the anatomical structure of veratrum lobelianum have been revealed. 20 types of conducting aggregates (bundles and their complexes) have been described. The plant is characterized by rapid transition of the rhizome to numerous covering leaves and by the increased growth of the tubular petiole longwise (more than 1.5 m).

The gemma innovations (3 and more are covered by the colourless integument (up to 8) and petiole stele (more than 10) with numerous collateral aggregates. Petioles, going up, transit to phychophyllus laminae. The flora axis develops in 10-15 years.

Нові визначальні знаки у структурі анатомічної будови вератруму лобеліануму. Описано 20 типів провідних агрегатів (бундлів та їх комплексів), які характеризують рослину як швидко розвивається з кореневища до численних покривних листів та як зростає трубчаста петіольна ось у довжину (понад 1,5 м).

Листочки гемм (3 і більше) покриваються безбарвними оболонками, які захищують ядро з пірамідальними клітинами. Стебло петіоля відходить від осі розетки покривних листів та зростає в довжину (до 1,5 м). Розрізняють 10-15 років розвитку рослини.

БИОЛОГІЧНЕ ЗНАЧЕННЯ ВІДКРИТИХ

Відкриті нові визначальні знаки у структурі анатомічної будови вератруму лобеліануму. Описано 20 типів провідних агрегатів (бундлів та їх комплексів), які характеризують рослину як швидко розвивається з кореневища до численних покривних листів та як зростає трубчаста петіольна ось у довжину (понад 1,5 м). Розрізняють 10-15 років розвитку рослини.

Відкриті нові визначальні знаки у структурі анатомічної будови вератруму лобеліануму. Описано 20 типів провідних агрегатів (бундлів та їх комплексів), які характеризують рослину як швидко розвивається з кореневища до численних покривних листів та як зростає трубчаста петіольна ось у довжину (понад 1,5 м). Розрізняють 10-15 років розвитку рослини.

БІОЛОГІЧНОЕ ЗНАЧЕНИЕ ОТКРЫТЫХ

открытые новые определяющие признаки в анатомической структуре вератрума лобеліанум. Описаны 20 типов проводящих агрегатов (буандлов и их комплексов), которые характеризуют растение как быстро развивающееся из корневища к числу покровных листьев, а также как растущая трубчатая ось петиоля (более 1,5 м).

Открыты новые определяющие признаки в анатомической структуре вератрума лобеліанум. Описаны 20 типов проводящих агрегатов (буандлов и их комплексов), которые характеризуют растение как быстро развивающееся из корневища к числу покровных листьев, а также как растущая трубчатая ось петиоля (более 1,5 м).

УДК 579.873.2 : 547.96

МИКРОБИОЛОГИЯ

ДИНАМИКА НАКОПЛЕНИЯ БИОМАССЫ, КЛЕТОЧНОГО И ВНЕКЛЕТОЧНОГО БЕЛКА *MYSOBACTERIUM RUBRUM* И ЕГО МУТАНТАМИ

Г. Я. Дараселия, Н. А. Гагелидзе, Л. Л. Амиранашвили

Институт биохимии растений АН ГССР, Тбилиси

Поступила в редакцию 18.04.88

Изучена динамика накопления биомассы, клеточного и внеклеточного белка *Mysobacterium rubrum* и его пигментными мутантами. Установлено, что логарифмическая фаза исходного штамма наступает к 16 ч, оранжевого мутанта к 14 ч, а беспигментного — к 18 ч роста. Удельная скорость роста у изученных культур $\mu = 0.019$ 0,03 ч⁻¹. Максимальное количество белка у исходного (45%) и оранжевого (67%) штаммов наблюдается на четвертые сутки роста, а у беспигментного (50%) на пять сутки. Максимум накопления внеклеточного белка у исходного штамма достигает на седьмой день, у оранжевого и беспигментного мутантов на восьмой день культивирования и составляет 1,5, 1,4 и 1,2 мг/мл соответственно.

Одним из наиболее важных вопросов микробиологической науки является изыскание новых микроорганизмов — продуцентов белков, каротиноидов и витаминов группы В.

В литературе имеются данные о содержании белка в клетках различных групп микроорганизмов [1, 2, 11]. Однако сапрофитные микобактерии в этом плане являются малоизученны-

ми. Более того, полученные результаты крайне разноречивы. Отсутствуют в литературе и данные по содержанию белка в культуральной жидкости. Поэтому задачей наших исследований являлось сравнительное изучение накопления биомассы, клеточного и внеклеточного белка *M. rubrum* и его мутантами.

МАТЕРИАЛЫ И МЕТОДЫ ИССЛЕДОВАНИЯ

Объектами исследования служили *M. rubrum* ВКМ В-874 и его оранжевый и беспигментный мутанты, полученные нами ранее методом химического мутагенеза [4].

Выращивание культур проводили на синтетической среде следующего состава (в г/л): мочевина — 1,5, Na_2HPO_4 — 4, KH_2PO_4 — 3, MgSO_4 — 1, глюкоза — 30, сахароза — 10, FeCl_3 — 1 мг, тиамин — 0,6 мг при $\text{pH} = 7,0$ в качалочных колбах объ-

емом 750 мл, содержащих по 50 мл питательной среды при температуре 30° на круговой качалке при 230 об/мин в течение 10 суток.

Рост культур регистрировали измерением оптической плотности культуральной жидкости на СФ-26 при длине волн 660 нм, а также методом взвешивания. Количество белка в биомассе определяли по методу Петерсона [4], а в культуральной жидкости по Лоури [15].

РЕЗУЛЬТАТЫ ИССЛЕДОВАНИЯ И ИХ ОБСУЖДЕНИЕ

Была прослежена динамика роста исходного штамма и пигментных мутантов на глюкозо-сахарозной среде. Результаты представлены на рис.

1—3. Как видно, существенных различий в динамике роста исходного штамма и его мутантов не обнаруживалось. Логарифмическая фаза у ис-

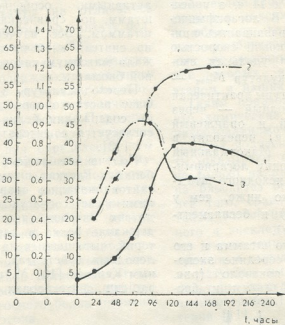


Рис. 1. Динамика биомассы, клеточного и внеклеточного белка *Mycobacterium rubrum* ВКМ В-874: 1 — биомасса, 2—внеклеточный белок, 3—белок в клетках

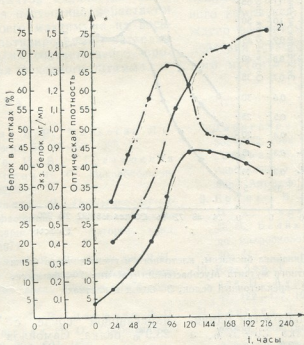


Рис. 2. Динамика биомассы, клеточного и внеклеточного белка оранжевого мутанта *Mycobacterium rubrum*: 1 — биомасса, 2 — внеклеточный белок, 3—белок в клетках

ходного штамма наступает к 16 ч, у оранжевого мутанта к 14 ч, а у беспигментного — 18 ч. В логарифмической фазе культуры развивались приблизительно с одинаковой скоростью роста. Максимальная удельная скорость всех трех культур M_{\max} — 0,19—0,02 ч⁻¹. Культуры практически одновременно (исходный — через 110 ч, беспигментный и оранжевый мутанты — через 96 ч) переходят в стационарную фазу. Максимальный выход биомассы к концу логарифмической фазы роста у исходного штамма (8 г/л) несколько ниже, чем у пигментного (12 г/л) и беспигментного мутантов (10 г/л).

Сравнение исходного штамма и его клеточного белка в середине экспоненциальной фазы показало (рис. 1—3), что исходный штамм и бес-

белка мутанты оказались наиболее активными, особенно оранжевый штамм, по сравнению с исходным штаммом. Все изученные культуры по синтезу клеточного белка опережали максимум накопления собственной биомассы.

Переход культур в стационарную фазу роста сопровождался снижением содержания белка в клетке, что согласуется с литературными данными [13].

Полученные данные о содержании белка в клетках штамма и его мутантов оказались сравнительно высокими и не согласуются с данными других авторов, исследовавших содержание белка в клетках микобактерий, выращенных на различных углеродных субстратах. Так, по данным Керстен [10] *M. tuberculosis* рго-ролист синтезировал на глюкозо-ас-

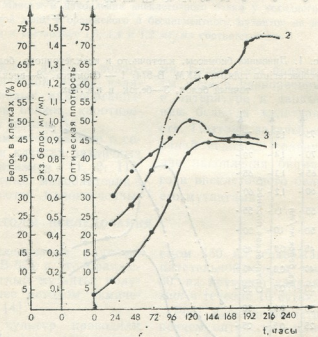


Рис. 3. Динамика биомассы, клеточного и внеклеточного белка беспигментного мутанта *Mycobacterium rubrum*: I — биомасса, 2 — внеклеточный белок, 3 — белок в клетках

пигментный мутант содержали одинаковое количество белка 36—37%, а оранжевый мутант — 40%.

Максимальное количество клеточного белка у оранжевого (67%) и исходного (45%) штаммов наблюдается к 80—90 ч, а у беспигментного к 120 ч (50%). По синтезу клеточного

парагиановой среде с октадецином 23,9% белка. Самойлов и др. [12] установили, что *M. lutem* на среде с парафином синтезировал 27,6% белка. По данным Ерошина [9] содержание белка в клетках микобактерий, выращенных на парафиине, колеблется от 30 до 35%. Зобнина [8], изучая

M. carotepum, пришла к выводу, что пигментные мутанты не отличались от исходного штамма по синтезу белка и накапливали около 30%.

Следует подчеркнуть, что объяснение низкого содержания клеточного белка у других изученных микобактерий нужно искать в методической части определения белка. Подтверждением такого объяснения является тот факт, что при определении клеточного белка у *M. rubrum* и его мутантов применение метода Лоури оказалось не совсем подходящим, так как при использовании этого метода часть клеток микобактерий оставалась неразрушенной, что было подтверждено нами методом микроскопирования. Поэтому мы, учитывая своеобразное строение клеточных стенок сапрофитных микобактерий, для определения клеточного белка применили метод Петерсона.

Исследование динамики накопления внеклеточного белка в процессе роста культур показало, что исходный штамм максимума достигает на седьмой день. У оранжевого и беспигментного мутантов количество экзогенного белка постепенно нарастает и достигает своего максимума на восемь день культивирования, составляя 1,5 и 1,4 мг/мл соответственно, против 1,2 мг/мл исходного штамма.

Постепенное увеличение количества внеклеточного белка и последующее снижение максимума клеточного можно объяснить как лизисом части клеток микобактерий, так и синтезом некоторыми внеклеточными ферментами, изучение которых является следующим этапом в наших исследованиях.

Таким образом, можно заключить, что химические мутагены, а именно нитрозоалкилмочевины, с помощью которых получены пигментные мутанты, оказывают существенное влияние не только на пигментогенез [7], но и на биосинтез белков *M. rubrum*. Более того, сравнивая пигментные мутанты *M. rubrum* по синтезу клеточного и внеклеточного белка с другими известными микроорганизмами, мы пришли к выводу, что они не только не уступают им, а превышают такие культуры, как дрожжи [16], мышелевые грибы [17] и некоторые бактерии [1].

Следовательно, оранжевый мутант *M. rubrum* по своей комплектности, т. е. по синтезу каротиноидов [7], витаминов группы В [5] и содержанию белка можно выдвинуть как промышленный процент белково-витаминного комплекса, что и было подтверждено эффектом биологического воздействия сухого препарата оранжевого мутанта на организм птиц [6].

ЛИТЕРАТУРА

1. Александян Е. Р., Маркосян Л. С. Микробиология, 54, 49–55, 1985.
2. Ботвишко И. В., Гречушкина Н. Н., Егоров Н. С. Микробиология, 52, 856–889, 1984.
3. Дараселия Г. Я. Получение мутантов *Mycobacterium phlei* активных по синтезу каротиноидов, Автореф. канд. дисс., Л., 1972.
4. Дараселия Г. Я., Даушвили Л. П., III Научн. конф. микробиологов и вирусологов, Тез. докл., Тбилиси, 1978, 68–69.
5. Дараселия Г. Я., Даушвили Л. П., Прангишвили И. О. Сообщения АН ГССР, 100, 701–704, 1980.
6. Дараселия Г. Я., Мдивани М. Л., Бочоридзе Л. Д., Даушвили Л. П. Респ. науч. конф. по вопросам технической биохимии, Тез. докл., Тбилиси, 1980, 213–214.
7. Дараселия Г. Я. Микробиология, 51, 968–972, 1982.
8. Зобнина В. П. Физиологическая роль каротиноидов у *Mycobacterium sarcinum*, Автореф. канд. дисс., М., 1974.
9. Ерошин В. К., Иерусалимский Н. Д., Скрябин Г. К., Лозинов Л. Б., Беликов В. С. IX международ. конгр. по микробиологии, Тез. докл., М., 1966, 40–41.
10. Клебер Г. П., Фрікке Б., Клесек П., Аурих Г. Укр. біохім журн., 47, 422–427, 1975.
11. Керстен Д. К. Некоторые физиологические свойства и состав клеток углеводородокисляющих микобактерий, Автореф. канд. дисс., МГУ, 1966.
12. Самойлов П. М., Баранов Н. А., Воробьев Л. И., Федулова И. Е. Микробиология, 7, 246–268, 1968.

13. Шкидченко А. И. Изв. АН ССР, сер. биол., 4, 571—575, 1977.
14. Gory L., Peterson A. Analytical Biochemistry, 2, 346—356, 1977.
15. Lowry O.H., Rosenbrough N.T., Fair A. L., Randall T. R. Biology Chemical, 193, 265—275, 1951.
16. Martini Alessandro, Martin Voughan Ann., Elizabeth Miller, Martin V. Antifac. Agt. Univ. Study Perugia, 30, 561—570, 1975
17. Christis C., Cauvaraki C., Georgopoulos S. G., Mactris B., Vomoyoyami V. Appl. Microbiol., 29, 250—254, 1975.

ბიომასის, უჯრედული და არაუჯრედული ცილის დაზრდვების დინამიკა *MYCOBACTERIUM RUBRUM*-ზე და მის მუტანტებში

შ. დარასელია, ნ. გაგელიძე, ლ. ამირანაშვილი

საქართველოს სარ მეცნიერებათა აკადემიის მცენარეთა ბიოქიმიის ინსტიტუტი, თბილის
რეზიუმე

შესწავლით ბიომასის, უჯრედული და არაუჯრედული ცილის დაგროვების დინამიკა *M. rubrum*-სა და მის პიგმენტიან მუტანტებში. დადგნენილია, რომ ლაგფაზა საწყის შტამში დგება კულტურების მე-16 საათზე, ნარინჯისფრ მუტანტში — მე-14 საათზე, ხოლო უპიგმენტო მუტანტში—ზრდის მე-18 სთ-ზე. ყველა შესწავლით კულტურის ზრდის ხედვითი სიჩქარე $M_{max} = 0,019—0,02$ სთ-ს.

უჯრედული ცილის მაქსიმალური რაოდენობა მიღწევა საწყის (45%) და ნარინჯისფრ (67%) შტამში ზრდის მეოთხე დღეს, ხოლო უპიგმენტო შტამში (50%) — მეხუთე დღეს. არაუჯრედული ცილის დაგროვება მაქსიმუმს საწყის შტამში აღწევს მეშვიდე დღეს, ხოლო ნარინჯისფრ და უპიგმენტო მუტანტებში — კულტურების მერვე დღეს და შეადგენს შესაბამისად 1,5, 1,4 და 1,2 მგ/მლ.

DYNAMICS OF BIOMASS ACCUMULATION OF CELLULAR AND EXTRACELLULAR PROTEIN IN *MYCOBAKTERIUM RUBRUM* AND IN ITS MUTANTS

G. Ya. DARASELIA, N. A. GAGELIDZE, L. L. AMIRANASHVILI

Institute of Plant Biochemistry, Georgian Academy of Sciences, Tbilisi, USSR

Summary

Dynamics of biomass accumulation of cellular and extracellular proteins in *M. rubrum* and in its pigmentary mutant was studied. It was established that lagphase in the initial mutant occurs on 16 h of cultivation, in orange mutant on 14 h and in pigmentless—18 h of growth. Specific rate of all the cultures studied was μ_{max} —0.019—0.02 h^{-1} . Maximum amount of cellular proteins in

initial (45%) and in orange (67%) strains was observed on the fourth day of growth and in pigmentless (50%) on the fifth day. Maximum accumulation of extracellular protein for the initial strain occurs on the seventh day, for the orange and pigmentless mutants on the eighth day of cultivation and forms 1.5, 1.4 and 1.2 mg/ml, respectively.



[стр.] — Оригинальная [стр.] — Установлено [стр.]

— Составлено от лица автором [стр.] — Текущий список [стр.]

— Проверено и подписано [стр.] — Установлено [стр.] (который ученый)

— МАСД — Установлено [стр.] — Установлено [стр.] — Установлено [стр.]

БИОФИЗИКА

УДК 616.12 : 616.441—008.61 : 536.7

ПРЕОБРАЗОВАНИЕ ЭНЕРГИИ МИОФИБРИЛЛАМИ
МИОКАРДА СОБАКИ В НОРМЕ, ПРИ Л-ТИРОКСИНОВОМ
ТОКСИКОЗЕ И АТИРЕОЗЕ

Н. В. Карсанов, Д. Р. Татулашвили, Г. В. Сукоян

Республиканский научно-исследовательский центр медицинской биофизики МЗ ГССР,
Тбилиси

Поступила в редакцию 10.01.1989

На очищенных миофибрillах миокарда собаки показано, что процесс взаимодействия миофибрill миокарда с АТФ в норме характеризуется короткой фазой выраженного поглощения тепла, сменяемой фазой его устойчивого выделения. Энталпия гидролиза АТФ миофибрillами прогрессивно нарастает в фазах изотонического сокращения и генерации сжимающей силы и резко падает в фазе поддержания напряженного состояния. Эффективность использования энергии в процессе изотонического сокращения миофибрillами приближается к 100%, в период же поддержания напряженного состояния несколько снижается.

При Л-тирохиновом токсикозе 2-недельной продолжительности, несмотря на возрастание количества выделяемой энталпии в покое и процессе сокращения, энталпия непосредственно сократительного процесса существенно от нормальной не отличается, а количество выделяемого тепла достоверно превышает нормальный уровень. Это ведет к резкому возрастанию расточительности процесса. При Л-тирохиновом токсикозе (ЛТТ) 2—3-месячной продолжительности, когда энталпия сократительного процесса становится достоверно ниже нормальной (при неизменно относительно высокой скорости выделяемого тепла), снижение экономически становится еще более рельефным. Резко падает она и при атиреозе. Количество выделяемой при этом энталпии также ниже нормального уровня и не сопровождается соразмерным снижением количества выделяемого тепла. Сделан вывод, что как при ЛТТ, так и при атиреозе (АТ) снижение экономичности сократительного процесса миофибрillами кардиомиоцита обусловлено нарушением активации Mg-АТФазной активности миофибрill актина тонкой нити.

Ранее было установлено [4, 5], что при ЛТТ еще до развития энергодефицитного состояния мышцы сердца наступает резкое снижение способности миофибрill развивать напряжение. Одновременно было показано, что и при гипотиреозе имеет место уменьшение способности системы сократительных белков миокарда (ССБМ) генерировать силу.

В свою очередь опыты с гибридными актомиозинами, образованными из актина, полученного из сердец животных с ЛТТ [7] или АТ [6] и миозина нормального миокарда, и на-

оборот, показали, что понижение сократительных свойств ССБМ обусловлено изменением свойств актина (в случае ЛТТ и АТ), а также миозина (при АТ).

Согласно данным [9, 12], полученным на полосках миокарда, сократительный процесс при краткосрочном ЛТТ (кЛТТ) у кроликов протекает в неэкономичном режиме, а при гипотиреозе — в режиме повышенной экономичности. И это несмотря на то, что при гипотиреозе развивается не гипертрофия миокарда, как при гипертиреозе, а атрофия.

Повышение экономичности сократительного процесса при гипотиреозе и стенозе аорты у кроликов Альперт и соавт. [8] (также как и Пул и соавт. [24] при стенозе легочной артерии у кошек) связали со снижением АТФазной активности миозина (при гипотиреозе в результате замены изоформы миозина V_1 на V_3 [12]), а снижение

МАТЕРИАЛ И МЕТОДЫ

Работа проведена на 24 беспородных собаках массой 12–18 кг. Из них 6 — нормальные, 6 — с кЛТТ (двухнедельной продолжительности), 6 — с дЛТТ и 6 — с дАТ (д — длительной, 2–3-месячной продолжительности). ЛТТ воспроизводили по методу Пятника и Ольсон [23] путем ежедневного (кроме субботы и воскресенья) внутримышечного введения Л-тироксина в дозе 0,7 мг/кг веса животного, а АТ — оперативного удаления щитовидной железы [1]. Опытные и контрольные животные забивались одновременно под гексеналовым наркозом.

Методы получения очищенных миофибрилл, расчета энталпии гидролиза АТФ и определения количества выделенного тепла, rCa среди, а также статистического анализа материала даны в работе [3].

Данные электрофорограмм в 10%-ном ДСН ПААГ свидетельствуют, что миофибриллы нормальных собак и собак с кЛТТ, дЛТТ и дАТ содержат все белковые фракции нормальных миофибрилл, а отсутствие действия азота натрия (ингибитор $\text{Na}_K\text{-ATФазы}$ митохондрий и синтеза АТФ в участке III электронтранспорта

РЕЗУЛЬТАТЫ ИССЛЕДОВАНИЯ

Динамика и степень сокращения миофибрилл. Длина саркомера в норме, а также при АТ и ЛТТ при взаимодействии миофибрилл с АТФ (5 mM) и $\text{rCa} < 8$ (состояние покоя) по данным фазово-контрастной микроскопии не изменяется, а при rCa , равном 6,0 (сокращение), уменьшается в продолжение 1 мин до размера А-полосы саркомера — с $2,09 \pm 0,04$ до $1,63 \pm 0,02$ мкм в норме, с $2,04 \pm 0,03$ до $1,60 \pm 0,03$ мкм при кЛТТ, с $2,15 \pm 0,03$ до $1,69 \pm 0,02$ мкм при дЛТТ, с $2,19 \pm 0,04$ до $1,67 \pm 0,02$ мкм при дАТ.

жение экономичности с повышением содержания изоформы миозина при тиреотоксикозе — с высокой АТФазной активностью — V_1 [9].

В настоящей работе поставлена задача исследовать преобразование энергии изолированной ССБМ (очищенными миофибриллами) кардиомиоцита при ЛТТ и АТ.

тирующей цепи — между цитохромоксидазным комплексом и O_2), олигомицина (ингибитор АТФ-синтетазы синтеза АТФ путем нарушения использования протонного градиента) и рутения красного (ингибитор митохондриального транспорта Ca) на величину выделяемых энталпий и тепла при взаимодействии миофибрилл с АТФ указывает на отсутствие в миофибриллах функционально активных митохондриальных мембран (табл. 1).

На сократительные свойства ССБМ (в данном случае сканированные волокна) эти ингибиторы влияния не оказывают (табл. 1).

За динамикой взаимодействия миофибрилл с АТФ следили путем определения длины саркомера методом фазово-контрастной микроскопии, измерения интенсивности светорассеяния под углом 90° (при $\lambda = 550$ нм) и под углом 45° (при $\lambda = 440$ нм) на спектрофотометре «Спекол» (фирмы «Карл Цейс», ГДР) с использованием приставки для титрования, спаженной магнитной мешалкой, и приставки для мутности соответственно. Показания прибора регистрировали каждые 30 с в продолжение 15 мин.

Это во всех случаях также в продолжение 1 мин сопровождается снижением интенсивности светорассеяния под углом 90°, которое в дальнейшем не изменяется. Интенсивность же светорассеяния под углом 45° продолжает нарастать и выходит на плато к 4 мин.

Согласно этим данным, так же как и в случае миофибрилл миокарда кролика в норме и при токсико-аллергическом миокардите [3], процесс сокращения миофибрилл мы разделили на три фазы: 1) изотоническое

Таблица 1

Контроль отсутствия митохондриальных мембран в препаратах очищенных миофибрил и их действия на сократительную способность синтезированных волокон миокарда

Группа	Ингибитор (присутствие— отсутствие)	На Na^+ , 10 мМ			Олигомицин, 10 мкг			Рутений красный, 1 мкМ		
		P, * мН/мкг ²	ΔH , мДж/мкг	ΔQ , мДж/мкг	P, мН/мкг ²	ΔH , мДж/мкг	ΔQ , мДж/мкг	P, мН/мкг ²	ΔH , мДж/мкг	ΔQ , мДж/мкг
Норма (n=3)	+	24,1±2,1	134,5±7,9	9,7±1,0	22,9±3,1	131,9±9,6	7,6±1,0	23,8±1,8	119,2±4,2	7,7±1,2
	-	23,9±1,9	136,2±6,8	9,9±1,1	23,9±1,9	130,1±4,9	7,7±1,2	23,9±1,9	125,2±2,5	6,8±1,4
ХЛТТ (n=3)	+		159,5±15,2	12,8±0,7		146,5±3,5	16,1±1,8		147,8±3,4	17,3±2,4
	-		163,0±14,8	13,4±0,5		149,6±1,9	16,5±2,1		149,6±1,9	16,5±2,1
ЯЛТТ (n=3)	+		72,6±4,8	12,5±1,0		69,2±6,2	14,9±1,9		63,2±4,5	13,6±2,0
	-		73,4±5,8	12,3±1,1		64,3±6,8	13,7±1,1		64,3±6,8	13,7±1,1

* P — напряжение, развиваемое синтезированными волокнами миокарда

сокращение — совершение внутренней работы по преодолению эластического сопротивления цитоскелета [20, 21, 28] и промежуточных нитей [28], перестройке тонких нитей из тетрагональной решетки в гексагональную [11], выталкиванию жидкости из межмиофибрillлярных пространств [22] и смещению сокращенных саркомеров (интервал времени 0—1 мин); 2) генерация сжимающей силы и работы по сминанию и сгибанию концов толстых нитей [15] и пронетрации Z-мембран толстыми нитями [13, 14] (интервалы 1—3 — быстрая и 3—5 — медленная подфазы); 3) поддержание напряженного состояния (интервал 5—15 мин).

Энталпия гидролиза АТФ и выделение тепла. Термоакинетическая кривая взаимодействия миофибрill миокарда с АТФ как в норме, так и в патологии, как в условиях покоя, так и при сокращении имеет двухфазный характер. Первая фаза — теплопоглощение, происходящее в первые 20—30 с, сменяется тепловыделением (вторая фаза), достигающим максимума к началу второй минуты и затем постепенно спадающим к базисной линии.

В состоянии покоя в норме (табл. 2) при взаимодействии миофибрill с АТФ в интервале времени 0—1 мин происходит всплеск скорости выделения энталпии (ΔH) и поглощения (акцепции) энергии ССБМ ($\Delta H - \Delta Q$), после чего в интервалах времени 1—3, 3—5 и особенно 5—15 мин скорость ΔH и $\Delta H - \Delta Q$ резко падает, несмотря на это интегральное количество энталпии и энергии, поглощенной ССБМ (табл. 3), хотя и с замедленной скоростью, но непрерывно возрастает и достигает степени достоверности к 5 мин взаимодействия и сохраняется до конца опыта.

Скорость выделения тепла (табл. 2) падает в значительно меньшей степени, но и в этом случае в интервалах 3—5 и 5—15 мин ее снижение относительно интервала 0—1 мин становится достоверным. В связи с этим общее количество энергии, диссирировавшей в тепло к третьей минуте, достоверно превышает количество, выделившееся к первой минуте. Уровень диссириации же, наблюдаемый на 3 мин, достоверно превышается к 15 мин (табл. 3).

В покое при кЛТТ, дЛТТ и дАТ динамика изменения скоростей выделения энталпии, поглощения энергии ССБМ и выделения тепла в общих чертах остается такой же, что и в норме. Однако, если в случае дАТ абсолютные величины скоростей (табл. 2), а также интегральных количеств (табл. 3) ΔH , ΔQ и $\Delta H - \Delta Q$ во все интервалы времени и за 15 мин в целом остаются в пределах нормальных значений, то при кЛТТ скорости ΔH и $\Delta H - \Delta Q$ в интервале времени 1—3 и 5—15 достоверно, а 0—1 и 3—5 мин недостоверно возрастают. Это при кЛТТ к концу каждого интервала времени ведет к существенному увеличению интегральных количеств ΔH и $\Delta H - \Delta Q$. В частности, к 15 мин сокращения их интегральные величины превышают нормальные в 1,8 раза. В интервалах 3—5 и 5—15 мин достоверно возрастают и скорость выделения тепла. Это ведет к достоверному увеличению общего количества выделенного к 15 мин тепла в 1,5 раза. Скорость же выделения ΔH , ΔQ и $\Delta H - \Delta Q$ при дЛТТ ниже, чем при кЛТТ, и ниже, чем в норме (в последнем случае несущественно). Однако даже несущественное понижение скоростей этих показателей в отдельных интервалах времени и в целом за 15 мин ведет к снижению интегральных количеств ΔH , ΔQ и $\Delta H - \Delta Q$, причем не только относительно кЛТТ, но и нормы.

В норме, при сокращении, как скорости, так и интегральные количества выделенной энталпии, энергии, поглощенной ССБМ, и энергии, диссирировавшей в тепло, во всех фазах сокращения существенно (по сравнению с покоя) возрастают (табл. 2 и 3).

При кЛТТ и дАТ в фазе изотонического сокращения скорости выделения энталпии и поглощения энергии ССБМ существенно не отличаются от нормальных, но при дЛТТ они ниже нормальной в 1,6 раза. В подфазе быстрой генерации сжимающей силы скорости выделения энталпии и поглощения энергии ССБМ при кЛТТ по сравнению с нормой возрастают и превышают уровень покоя почти в 2 раза. Но при дЛТТ и дАТ вместо нарастания, наблюдаемого в норме, и только что отмеченного повышения при кЛТТ они падают до уровня

Скорости изменения термодинамических показателей взаимодействия миофibrilla миокарда с АТФ в условиях покоя и сокращения в норме, при ЛТТ и АТ

Фаза	Интервал времени, мин	Норма (n=6)			кЛТТ (n=6)			дЛТТ (n=6)			АТ (n=6)			
		ΔH	ΔQ	ΔH-ΔQ	ΔH	ΔQ	ΔH-ΔQ	ΔH	ΔQ	ΔH-ΔQ	ΔH	ΔQ	ΔH-ΔQ	
Покой	0—1	32,4±3,9	1,4±0,4	31,1±3,8	41,8±4,1	2,0±0,7	39,8±4,2	28,6±2,0	2,4±0,7	26,3±2,2	35,3±3,0	1,0±0,3	31,3±2,8	
	1—3	4,6±0,8	0,6±0,1	3,9±0,7	11,0±2,6	0,8±0,6	10,2±2,0	3,3±1,1	1,0±0,2	2,8±1,1	3,9±0,8	1,1±0,3	2,8±0,9	
	3—5	7,0±0,8	0,4±0,1	6,6±0,8	7,9±1,9	0,8±0,1	7,2±1,9	2,8±0,6	0,9±0,1	1,9±0,6	4,2±1,5	0,8±0,1	3,0±1,5	
	5—15	2,2±0,5	0,3±0,1	1,8±0,5	5,9±1,1	0,6±0,1	5,3±1,1	1,2±0,2	0,5±0,1	0,8±0,2	2,2±0,3	0,4±0,1	1,8±0,3	
Изотонического сокращения	0—1	73,1±8,3	2,6±0,5	70,5±8,4	87,3±9,9	3,0±1,0	84,2±10,4	44,4±1,9	2,7±0,4	41,7±2,0	61,8±6,5	1,4±0,7	60,4±6,4	
Генерации сжимающей силы	1—3	12,9±1,5	2,2±0,4	10,8±1,4	21,6±5,7	3,2±0,4	18,9±5,9	7,9±3,4	2,9±0,2	1,4±1,0	3,0±0,8	2,3±0,7	0,6±0,2	
	3—5	17,0±2,4	1,3±0,1	15,8±2,5	13,3±3,0	2,4±0,5	13,5±2,2	6,7±0,8	2,0±0,3	4,7±1,0	10,5±2,1	1,7±0,2	8,8±2,2	
Поддержания напряженного состояния	5—15	4,4±0,8	1,0±0,1	3,3±0,7	5,8±0,9	1,6±0,2	4,1±0,8	2,0±0,3	0,9±0,3	0,6±0,2	3,1±0,5	1,1±0,2	+§↑□Δ	

Значимость различий средних (P): сравнение по вертикали: (*)—с интервалом 0—1, (§)—с интервалом 1—3, (†)—с интервалом 3—5, (=)—покой с сокращением; по горизонтали: (+)—с нормой, (□)—с кЛТТ, (Δ)—с дЛТТ

Таблица 3

Термодинамические показатели сокращения и покоя миофибректа миокарда в норме, при ЛЛТ и АТ

Фаза	Интервал времени, мин	Норма (n=6)			кЛЛТ (n=6)			дЛЛТ (n=6)			АТ (n=6)		
		ΔH	ΔQ	ΔH-ΔQ	ΔH	ΔQ	ΔH-ΔQ	ΔH	ΔQ	ΔH-ΔQ	ΔH	ΔQ	ΔH-ΔQ
Покой	0—1	32,4±3,9	1,4±0,4	31,1±3,8	41,8±4,1	2,0±0,7	39,8±4,2	28,6±2,0	2,4±0,7	26,3±3,2	38,3±3,8	1,0±0,3	37,3±2,8
	0—3	41,7±4,6	2,8±0,4	38,9±4,7	63,7±3,1	3,6±0,8	60,1±3,5	36,2±2,6	4,4±0,9	31,8±2,9	46,2±3,2	3,3±0,8	42,9±3,1
	0—5	55,8±5,8	3,7±0,5	52,1±6,0	79,5±4,9	5,1±0,9	74,7±5,0	41,9±3,2	6,2±1,0	35,6±3,2	53,7±5,6	4,8±1,0	48,9±5,2
	0—15	76,2±8,7	7,1±0,8	69,1±9,2	138,6±13,	11,1±1,3	127,4±12,	54,2±4,1	11,0±1,2	43,2±3,7	75,4±7,3	8,3±1,3	67,1±6,7
Изотоническое сокращение	0—1	73,1±8,3	2,6±0,5	70,5±8,4	87,3±9,9	3,0±1,0	84,2±1,04	44,4±1,9	2,7±0,4	41,7±2,0	61,8±6,5	1,4±0,7	60,4±6,4
Генерации быстрых сжимающей силы	0—3	99,1±9,4	7,1±1,0	92,0±8,9	130,4±6,8	9,4±0,9	121,0±7,2	52,9±2,6	8,5±0,5	44,4±2,7	67,7±2,1	5,9±0,8	61,5±2,1
	0—5	134,5±7,9	9,7±1,0	124,9±7,2	162,2±9,4	14,2±1,4	147,9±10,0	66,2±3,6	12,5±0,8	54,4±5,2	88,6±5,3	9,4±0,6	79,2±5,4
Поддержание напряженного состояния	0—15	178,7±12,4	19,9±0,8	158,8±12,1	219,7±17,4	30,5±2,4	189,1±16,1	85,9±5,6	24,6±2,1	104,4±6,1	119,5±9,6	20,7±2,5	99,4±10,3

Значимость различий средних (P): сравнение по вертикали: (*) — с интервалом 0—1 мин, (§) — интервалом 0—3 мин,

по горизонтали: (+) — с нормой, (□) — с кЛЛТ, (Δ) — с дЛЛТ;

по горизонтали: (+) — с нормой, (□) — с кЛЛТ, (Δ) — с дЛЛТ;

ия, наблюдаемого в покое (табл. 2). В результате интегральное количество выделенной энергии к 3 мин сокращения при дЛТТ снижается на 46,7%, а количество энергии, поглощенной ССБМ, на 51,8%. При дАТ эти показатели снижаются соответственно на 31,7 и 33,2% (табл. 3). В подфазе медленного развития сжимающей силы скорости обоих показателей возрастают, но не достигают нормальных значений, составляют всего 61 и 40% нормы при дАТ и дЛТТ соответственно. В фазе поддержания напряженного состояния скорость выделения энталпии при всех патологиях, также как и в норме, резко падает, но в случае дЛТТ устанавливается на уровне в 2 раза более низком, чем в норме, а при кЛТТ и дАТ — на уровне нормы.

Скорость выделения тепла (табл. 2), а также общее его количество (табл. 3) при кЛТТ по сравнению с нормой во всех фазах в 1,5 раза выше нормальной (хотя различия и недостоверны), а при дЛТТ и дАТ не отличается от нормы (если не считать достоверного возрастания тепла при дЛТТ в подфазе медленной генерации сжимающей силы).

Вычитание из термодинамических показателей сокращения миофибрил показателей состояния покоя (табл. 4) дает возможность оценить работу актомиозинового ансамбля в период генерации силы рес. Результаты, полученные в норме, с большой наглядностью демонстрируют, что в процессе сокращения миофибрил происходит смена трех скоростей вы свобождения энталпии и поглощения энергии ССБМ. Наибольшие скорости наблюдаются в фазе изотонического сокращения. В подфазах генерации силы они снижаются в 5—6 раз. И, наконец, последнее снижение происходит в фазе поддержания напряженного состояния. В этой фазе скорости выделения энталпии и поглощения энергии ССБМ относительно скоростей в фазе изотонического сокращения — если взять величины, наблюдавшие в фазе поддержания напряжения, без вычитания уровней, наблюдавших в покое* (табл. 2), —

* В этой фазе число миозиновых мостиков, не образовавших актомиозиновый ансамбль с сильной связью, составляет всего 19%, тогда как в покое 82%.

снижаются в 18 и 26 раз, а при вычитании (табл. 4) — в 9 и 12 раз, соответственно. Интегральные количества ΔH и $\Delta H - \Delta Q$ в отдельных фазах изменяются соответственно скоростям этих процессов.

Количество энергии, диссириующее в тепло, от фазы к фазе в периодах изотонического сокращения и генерации сжимающей силы существенно возрастает примерно с одинаковой скоростью. В фазе же поддержания напряженного состояния скорость диссипации относительно изотонического сокращения энергии в тепло существенно снижается, но в меньшей степени, чем ΔH и $\Delta H - \Delta Q$. В результате, достаточность сократительного процесса весьма небольшая: в фазе изотонического сокращения и подфазах генерации сжимающей силы существенно возрастает и вновь удваивается в фазе поддержания напряженного состояния.

При кЛТТ скорость выделения энталпии и скорость поглощения энергии ССБМ, а также скорость выделения тепла во всех фазах имеют тенденцию к повышению, но достоверной эта тенденция становится лишь в случае общего количества выделенного тепла, и то в фазе поддержания напряжения (за 15 мин в целом). В связи с этим в этой фазе достоверно повышается и достаточность сократительного процесса.

При дЛТТ и дАТ скорость выделения и интегральные количества выделенной энталпии, энергии, поглощенной ССБМ, и энергии, диссирировавшей в тепло, резко падает уже в фазе изотонического сокращения (в случае тепла недостоверно). К концу подфазы быстрой генерации сжимающей силы общее количество выделенной энталпии и энергии, поглощенной ССБМ, при дАТ в 2,5 и 2,8 раза, а при дЛТТ соответственно в 3,4 и 4,2 раза ниже, чем нормальное. Это обусловлено тем, что скорости выделения энталпии и поглощения энергии ССБМ падают до или почти до скоростей в состоянии покоя.

В подфазе медленной генерации сжимающей силы скорости возрастают, но при дЛТТ составляют лишь 1/3 скорости выделения энталпии и 1/4 скорости поглощения энергии в норме, а при дАТ соответственно 1/2

Термодинамические показатели и скорости их изменения, полученные путем вычитания показателей состояния покоя из значений в условиях сокращения в норме, при ЛТТ и АТ

Интервал времени, часы	Норма (n=6)			кЛТТ (n=6)			пЛТТ (n=6)			АТ (n=6)		
	ΔH	ΔQ	ΔH-ΔQ	ΔH	ΔQ	ΔH-ΔQ	ΔH	ΔQ	ΔH-ΔQ	ΔH	ΔQ	ΔH-ΔQ
0—1	40,7±5,4	1,3±0,4	39,4±5,4	45,4±7,2	1,7±0,9	44,5±7,4	15,8±2,9	0,3±0,7	17,3±3,3	23,5±6,1	0,4±0,8	23,1±5,8
0—3	57,5±6,1	4,3±1,7	52,6±5,7	66,7±8,5	5,8±1,3	60,9±9,6	16,7±3,0	4,1±0,7	12,6±0,6	22,8±0,7	2,7±0,7	18,6±1,8
0—5	78,8±3,0	6,0±1,1	72,9±3,4	82,7±11,4	9,2±1,8	73,5±13,0	24,4±3,8	6,4±0,8	18,1±3,3	34,9±5,9	4,6±1,1	30,3±1,7
0—15	*§†	*§†	*§†	*	*§†+	*	*+□	*§†	+□	*§†	*§†□	*§†

Скорости изменения термодинамических показателей

0—1	40,7±5,4	1,3±0,4	39,4±5,4	45,4±7,2	1,7±0,9	44,5±7,4	15,8±2,9	0,3±0,7	17,3±3,3	23,5±6,1	0,4±0,8	23,1±5,8
1—3	8,3±1,8	1,6±0,5	6,9±1,8	11,0±6,4	2,4±0,4	6,6±5,9	4,1±3,3	1,9±0,2	2,2±3,2	-1,0±3,7	1,2±0,7	-2,3±3,6
3—5	10,0±2,5	0,9±0,2	9,2±2,7	7,9±3,0	1,7±0,4	6,3±2,5	3,9±0,7	1,1±0,3	2,8±1,0	6,3±0,9	1,0±0,3	4,4±1,5
5—15	*§†	*	*§†	*§†	§	*§†+	*+□	§□	*§†	*§†	*§†	*†

Значимость различий средних (Р); сравнение по вертикали: (*) — с интервалом 0—1 (0—1), (§) — с интервалом 0—3 (1—3),
 (+) — с интервалом 0—5 (3—5); по горизонтали: (+) — с нормой,
 (□) — с кЛТТ, (Δ) — с пЛТТ

и 2/5. Что касается скорости, а также количества выделенного тепла (табл. 2.3), то эти показатели в подфазах генерации сжимающей силы не отличаются от нормальных, как и во всем исследуемом интервале времени. Расточительность сократительного процесса в связи с этим относительно нормы резко (в 4 раза при дЛТТ и в два раза при дАТ) увеличивается (рис. 1).

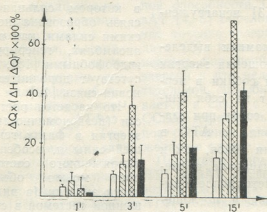


Рис. 1. Расточительность сократительного процесса в норме — □, при дЛТТ — $\text{—} \diagup$, дЛТТ — $\text{—} \times \times \times$, и дАТ — ■

В фазе поддержания напряженного состояния при дЛТТ и дАТ имеет место достоверное, по отношению к

норме, снижение скоростей общих величин выделенной энталпии (на 68,2 и 69,6 % при дЛТТ и соответственно 31,8 и 57,9 % при дАТ) и энергий, поглощенных ССБМ, соответственно на 94,0 и 79,7 % при дЛТТ и 86,7 и 46,3 % при дАТ. Общее количество выделенного тепла проявляет тенденцию к повышению. В результате, расточительность сократительного про-

цесса возрастает в еще большей степени (в 5 раз при дЛТТ и в 3 раза при дАТ).

ОБСУЖДЕНИЕ РЕЗУЛЬТАТОВ

Норма. Таким образом, и в покое и, особенно, при сокращении, наряду с выделением ССБМ энергии, в процессе гидролиза АТФ происходит ее поглощение. В состоянии покоя эта энергия используется для разрыва ригорной связи и перехода тонких и толстых нитей миофибрилл в высокоэнергетическое, неравновесное состояние [3, 16], а при сокращении — для генерации сжимающей силы и совершения внутренней работы, а также для всего спектра реакций, протекающих в покое (если считать, что каждый цикл актомиозинового ансамбля завершается образованием жесткой ригорной связи) [19].

Таким образом, поглощенная энергия ССБМ при рассмотрении вопроса на уровне единичного генератора силы, отдельного актомиозинового ан-

самбия и саркомера в целом, как в случае свободного сокращения миофибрилл, так и ауксотонического, близкого к изометрическому сокращению глициеринизированных волокон миокарда, потребляется на один и тот же процесс — образование и переход актомиозинового ансамбля в высокоэнергетичное неравновесное состояние и генерацию силы (после запуска сократительного процесса), вектор которой в обоих случаях направлен к середине саркомера. Далее, в зависимости от условий сокращения, саркомером и волокном в целом производится или внутренняя (в случае свободного сокращения миофибрилл) или внешняя (в случае закрепленного волокна) работа. После ее совершения в обоих случаях устанавливается механическое равновесие между ге-

нерируемой силой, т. е. тянувшим усилием и силами, противодействующими этому усилию. При этом развивающиеся максимальные тянувшие усилия в обоих случаях могут быть равны. Этим и объясняется то, что термодинамические параметры сокращения глициеринизированных волокон в условиях ауксотонического режима близки к термодинамическим параметрам сокращения [3] ненагруженных миофибрилл.

При сравнении динамики выделения энталпии и поглощения энергии ССБМ кролика [3] и собаки в первую очередь обращает на себя внимание тот факт, что у собак при взаимодействии миофибрилл с АТФ в норме, как в состоянии покоя, так и при сокращении в интервале времени 0—1 мин, наблюдается всплеск вы свобождения энталпии и поглощения энергии ССБМ (без явного всплеска выделения тепла), отсутствующий в случае миофибрилл кролика. Кроме того, спад скоростей выделения энталпии и поглощения энергии ССБМ после всплеска оказался более резким, чем в случае миофибрилл кролика, и происходящим не одно-, а двухступенчато — первый раз в периоде генерации сжимающей силы и второй — в периоде поддержания напряженного состояния. Следует отметить и то, что абсолютные значения этих показателей после спада у собаки оказались существенно более низкими, чем у кролика. Эти различия нужно рассматривать, по-видимому, как проявление большего совершенства механизмов регуляции преобразования энергии в миофибриллах собаки по сравнению с миофибрillами миокарда кролика.

Данные о трех уровнях Ca, Mg-АТФазной активности при сокращении миофибрилл у собаки дают основание говорить не о четырех, как в случае миофибрилл кролика [3], а о 5 функциональных состояниях актомиозинового ансамбля, образованно-

го сильной связью*: 1) неактивном (в случае покоя); 2) активном с коротким временем жизни (в периоде изотонического сокращения); 3) активном с удлиненным временем жизни (в подфазах генерации сжимающей силы); 4) заторможенном, долгоживущем, близком к ригорному, но отличающемся от него (в фазе поддержания напряженного состояния); 5) ригорном (потерявшем энергию), в котором сильная актомиозиновая связь образована не электростатическими силами, как в актомиозиновых ансамблях, генерирующих силу, а гидрофобными [18], и в котором существует дополнительная актомиозиновая связь [10].

Что касается роста расточительности (неэкономичности) использования энергии в фазах генерации сжимающей силы и, особенно, поддержания напряженного состояния, то этот рост можно объяснить отдачей части энергии (в виде тепла), поглощенной системой в связи с переходом ее в высокоэнергетическое состояние, в состояние с низкой внутренней энергией и повышенной энтропией, т. е. в состояние, близкое к ригорному (в конце каждого актомиозинового цикла).

L-тиroxиновый токсикоз и атиреоз. Для кЛТТ, судя по скоростям и особенно интегральным показателям в покое, а также при сокращении (в последнем случае если из показателей сокращения не вычитать показатели покоя), характерно повышение скорости вы свобождения энталпии, поглощения энергии ССБМ и диссипации ее в тепло. Однако это характерно, нужно считать, лишь для базальной активности миофибрилл, а не для самого сократительного акта, так как при сокращении, судя по разности сокращения — покой, увеличения ΔH и $\Delta H - \Delta Q$ относительно нормы не происходит, и можно говорить лишь о тенденции к их возрастанию.

* Количество актомиозиновых ансамблей, образованных сильной связью в случае миофибрилл собаки в покое, найдено равным 18%, в конце изотонического сокращения — 38,5%, генерации сжимающей силы — 44%, поддержания напряженного состояния — 83%, ригоре — 81% от максимально возможного числа (количество миозиновых мотриков).



Увеличение высвобождения энталпии в покое можно было бы объяснить экспрессией Л-тироксином быстрой изоформы миозина (V_1), как и в случае грызунов и других мелких животных [26]. Однако наши неопубликованные данные отвергают такое допущение, так как у собак Л-тироксин не вызывает экспрессии синтеза V_1 , изоформы миозина. Следовательно, или нужно допустить посттрансляционную модификацию миозина, или, правильнее, связать это с изменением свойств второго основного белка миофибрилл, актина, так как опыты с гибридными актомиозиновыми макромолекулами, содержащими актин миокарда собаки с кЛТТ и миозин нормального миокарда, выявили повышение АТФазной активности гибридлов [7]. Тем более, что при ЛТТ конформации тропонин-тропомиозинового комплекса [2] и кальциевой чувствительности скипированного волокна [25], а также актомиозина [27] не происходит. Однако даже тенденция к возрастанию, высвобождению и поглощению энергии ССБМ ведет к достоверному возрастанию выделения системой тепла и в покое и при сокращении, что делает сократительный процесс при кЛТТ расточительным.

Для дЛТТ и дАТ повышение скорости выделения энталпии, поглощение энергии и выделения тепла уже

не характерно. Наоборот, при дЛТТ и дАТ, особенно судя по интегральным показателям, характерно снижение выделения энталпии и поглощения энергии ССБМ, сопровождаемое увеличением количества выделяемого при этом тепла — высокая расточительность сократительного процесса.

Таким образом, данные, полученные в настоящей работе, свидетельствуют, что понижение сократительной способности ССБМ при дЛТТ и дАТ [4, 5] обусловлено, как и в случае токсико-аллергического миокардита [3], количественным и качественным нарушением преобразования энергии и что недостаточность сократительной способности ССБМ развивается в связи с потерей способности ССБМ переходить в высокозарженное состояние, особенно резко выраженное в случае дЛТТ.

Понижение способности ССБМ при ЛТТ и дАТ высвобождать и использовать свободную энергию гидролиза АТФ, генерировать силу и производить работу связано, очевидно, с изменением свойств актина (в случае кЛТТ) и актина и миозина (в случае дЛТТ и дАТ). Об этом свидетельствуют данные, полученные с гибридными актомиозиновыми макромолекулами [6, 7], исследования конформационной подвижности [2] и полимеризационной способности актина [17].

ЛИТЕРАТУРА

- Кабак Я. М. Практикум по эндокринологии, Изд-во МГУ, М., 1968.
- Карсанов Н. В., Джинчевлашвили Б. Г. Изв. АН ГССР, сер. биол., 14, 2, 134—142, 1988.
- Карсанов Н. В., Магаладзе В. А., Мачарашвили Т. Н., Сукоян Г. В., Татулашвили Д. Р. Вестник АМН СССР, 12, 60—68, 1988.
- Карсанов Н. В., Мелашивили Н. О., Ханидрава Н. З., Мамулашвили Л. Д., Демуря Е. Д. В сб.: Артериальная гипертония и недостаточность сердца, Ин-т клин. и эксп. кардиологии им. М. Д. Цинамдзевришвили, Тбилиси, 1971, 115—117.
- Карсанов Н. В., Мелашивили Н. О., Хугашвили З. Г., Мамулашвили Л. Д. Азрумелашвили М. И., Ханидрава Г. К., Капанадзе Р. В. Кардиология, 30, 2, 81—87, 1990.
- Карсанов Н. В., Эристави Д. Д. Биофизика, 28, 5, 748—751, 1983.
- Эристави Д. Д., Гуледани Н. Е., Карсанов Н. В. VI Всес. конф. по биохимии мышц. Тез. докл., Тбилиси, 1989, 151—152.
- Alpert N. R., Mulieri L. A. Circulat. Res., 50, 491—500, 1982.
- Alpert N. B., Mulieri L. A. Fed. Proc., 45, 2597—2600, 1986.
- Bertrand R., Chaussepied A., Kassab R. Biochem., 27, 5728—5736, 1988.
- Dreizen P., Herman L. Biophys. J., 41, 245a, 1983.

12. Holubarsch Ch., Goulette R. P., Litten R. Z., Martin B. J., Mullieri L. A., Alpert N. R. Circulat. Res., 56, 78—86, 1985.
13. Hoyle G., McAlear J. H., Silverston A. J. Cell Biol., 26, 621—640, 1965.
14. Huxley H. E. In: The structure and Function of Muscle, I, New York-London, 1972.
15. Jewell B. R. Circulat. Res., 40, 221—230, 1977.
16. Karsanov N. V., Sukoyan G. V., Tatulashvili D. R. Biomed. Sci., 1990 (in press).
17. Karsanov N. V., Pirtskhalavishvili M. P., Semerikova V. J., Losaberidze N. Sh. Basic Res. Cardiol., 81, 199—212, 1986.
18. Katoh T., Morita F. J. Biochem., 96, 1223—1230, 1984.
19. Lynn R. W., Taylor E. W. Biochem., 10, 4617—4624, 1971.
20. Maruyama K., Sawada H., Kimura S., Ohashi K., Nagasawa H., Umezume Y. J. Cell Biol., 99, 1391—1397, 1984.
21. Matsubara S., Maruyama K. Jap. J. Physiol., 27, 589—600, 1977.
22. Morel J. E. Prog. Biophys. Mol. Biol., 44, 73—96, 1981.
23. Piatnek D. A., Olson R. E. Fed. Proc., 15, 145, 1956.
24. Pool P. E., Chandler B. M., Spann J. F., Sonnenblick E. H., Braunwald E. Circulat. Res., 24, 313—320, 1969.
25. Sacki Y. Pflugers Arch., 408, 578—583, 1987.
26. Swynghedauw B. Physiol. Rev., 66, 710—771, 1986.
27. Toyoda-Oka T., Ross J. Biochim. Biophys. Acta, 590, 407—410, 1980.
28. Wang K. In: Contractile Mechanisms in Muscle. (Plenum Publishing Corporation), New York, 285—305, 1984.

კალცის მიოკარდიუმის მიოფიბრილების მიზრ მნიშვნელოვანი რაოდაშვნა ნორმასას, L-თიოროქსილი ტრაქსილოზისა და ათიღეოზის დროს

5. ქარსანოვი, დ. რატჩლაშვილი, გ. ლევონიანი

საქართველოს სსრ ჯანდაცვის სამინისტროს რეპარატური სამეცნიერო-კვლევითი სამეცნიერო ზონაზე ცენტრის ცენტრი, თბილისი

რეზიუმე

ძალის მიოკარდიუმის გასუფთავებულ მიოფიბრილებზე ნაჩვენებია, რომ ნორმაში მიოკარდიუმის მიოფიბრილების ურთიერთქმედება ატფ-თან ხასიათდება სითბოს შთანთქმის გამოხატვის მოვლე ფაზით, რომელიც იცვლება მისი გამოყოფის მდგრადი ფაზით. მიოფიბრილებით ატფ-ის ჰიდროლიზის ენტალპია პროგრესულად იზრდება იზოტონური შეკუმშვის ფაზაში ჭიდვადი ძალის განერაციის დროს და მკვეთრად ეცემა დაძაბულობის მდგომარეობის შეკავების ფაზაში. მიოფიბრილების იზოტონური შეკუმშვის პროცესში ენერგიის გამოყენების ეფექტურობა უახლოვდება 100%-ს, დაძაბულობის მდგომარეობის შეკავების პერიოდში კი რამდენიმე ჭვეითდება. ორგვირითი ხანგრძლივობის L-თიოროქსინული ტოქსიკოზის დროს მოხვენების მდგომარეობაში და შეკუმშვის

პროცესში, მიუხედავად გამოყოფილი ენტალპიის ზრდისა, უშუალო შემცუმშვადი პროცესის ენტალპია არსებითად არ განსხვავდება ნორმიდან, გამოყოფილი სითბოს რაოდენობა კი სარწმუნოდ აღმარტება ნორმალურ დონეს. ეს იწვევს შემცუმშვადი პროცესის არაეკონომიურობის მკეთრ ზრდას. 2—3-თვიანი ხანგრძლივობის L-თიოროქსინული ტოქსიკოზის დროს, როდესაც შეკუმშვის პროცესის ენტალპია ნორმასთან შედარებით სარწმუნოდ დაბალია, შედარებით უცვლელი გამოყოფილი სითბოს მაღალი სიჩქარის შემცუმშვადი პროცესის ეკონომიური დაქვეითება ხდება უფრო რელიეფურად. მკვეთრად ეცემა შეკუმშვის პროცესის ეკონომიურობა ათირეოზის დროსაც. ამ დროს გამოყოფილი ენტალპიის რაოდენობა იგრეთვე დაბალია ნორ-

მასთან შედარებით და არ მიმდინარეობს გამოყოფილი სითბოს რაოდენობის თანაბარი დაქვეითებით. გაეტებულია დასკვნა, რომ როგორც L-თიროქსინული ტოქსიკოზის, ასევე ათირეოზის დროს კარდიომიოკირქბის მოთაბარილების შე-

კუმულაციის პროცესის ეკონომიური დაქვა-
ითება გასირიბებულია წვრილი კარბო-
ფების აქტივის პროტორების მიერ შინ-
ფიბრილების Mg-ატფაზის აქტივობის
გააქტიურების დარღვევით.

ENERGY TRANSDUCTION BY CANINE MYOCARDIAL MYOFIBRILS IN NORM, IN L-THYROXINE TOXICOSIS AND ATHYREOSIS

N. V. KARSAOV, D. R. TATULASHVILI, G. V. SUKOYAN

The Republican Centre of Medical Biophysics of the Georgian Public Health Ministry, Tbilisi, USSR

Summary

The experiments carried out on the purified canine myocardial myofibrils have shown that the process of myocardial interaction with ATP in norm is characterized by a short phase of pronounced heat absorption which is followed by the phase of its stable liberation. ATP hydrolysis enthalpy by myofibrils is progressively increased in isotonic contraction and shrinkage force generation phases and is sharply decreased in tension maintenance phase. The efficiency of energy utilization in the process of isotonic contraction by myofibrils approaches 100% and in tension maintenance phase it slightly decreases.

In 2-week thyrotoxicosis in spite of the released enthalpy increase at rest and during contraction the enthalpy of the contractile process per se does not differ significantly from the normal one,

and the amount of heat liberation definitely exceeds the normal level. It leads to a sharp increase of contractile process wastefulness. In 2-3 months' thyrotoxicosis when the enthalpy of contractile process is below the normal one at a relatively constant high rate of heat liberation, the decrease of contractile process economy becomes more pronounced. The contractile process economy decreases sharply in athyreosis as well. The quantity of released enthalpy is also below the normal level and is not accompanied by proportionate decrease of the amount of liberated heat. It is concluded that both in thyrotoxicosis and athyreosis the decrease of contractile process economy in cardiomyocyte myofibrils is due to disturbances of myofibril Mg-ATPase activation by actin protomeres of thin filament.

УДК 576.312.231.

МОЛЕКУЛЯРНАЯ БИОЛОГИЯ

**ВЛИЯНИЕ ГИББЕРЕЛЛОВОЙ КИСЛОТЫ И
ГИББЕРЕЛЛИНСВЯЗЫВАЮЩИХ БЕЛКОВ НА СИНТЕЗ
РНК В ХЛОРОПЛАСТАХ**

Д. И. Джохадзе, Н. Н. Тевзадзе, Л. А. Назарова, Р. И. Гоглидзе

Институт биохимии растений АН ГССР, Тбилиси

Поступила в редакцию 16.09.88

Изучено влияние фитогормона гибберелловой кислоты (ГК-А_3) и гиббереллинсвязывающих белков (ГСБ) из ядер эпикотилей фасоли на синтез РНК в интактных хлоропластах и в системе, которая содержала хлоропластную РНК-полимеразу и хлоропластную или ядерную ДНК в качестве матрицы. Показано, что добавление ГК- A_3 или ГСБ в инкубационную среду для синтеза РНК увеличивает транскрипционную активность хлоропластов в обоих случаях, но гораздо сильная стимуляция наблюдается при добавлении обоих компонентов вместе. В системе хлоропластной РНК-полимеразы и ДНК при добавлении ГК- A_3 без ГСБ возрастание синтеза РНК не наблюдается, тогда как при внесении в систему обоих компонентов вместе синтез РНК возрастает почти в четыре раза. Делается вывод, что ядерные белки, обладающие способностью специфически связываться с ГК- A_3 , участвуют в гормональной регуляции транскрипции и во внеядерных образованиях — хлоропластах.

Изучение механизма действия гибберелловой кислоты (ГК-А_3) на процесс транскрипции в клетках высших растений показало, что ГК- A_3 стимулирует эндогенную транскрипционную активность ядер и хроматина, а также хлоропластов молодых листьев фасоли [3, 4]. При этом, с пересчетом на количество ДНК, степень стимуляции гораздо сильнее выражена в интактных ядрах, чем в хроматине. На основании этих данных было высказано предположение о присутствии в ядрах гиббереллинсвязывающего фактора, который принимает участие в гиббереллинзависимой стимуляции процесса транскрипции и, по-видимому, теряется при выделении хроматина из ядер. Такое предположение подтвердилось экспериментами, которые показали, что в кариоплазме ядер эпикотилей фасоли присутствует фактор белковой природы, обладающий способностью специфически связываться с фитогормоном [10] и обеспечивающий взаимодействие ГК- A_3 с генетическим суб-

стратом клетки в процессе транскрипции. Подобные фитогормонсвязывающие белки идентифицированы для различных фитогормонов и в разных фракциях растительной клетки [2, 6, 12, 13].

Целью настоящей работы было исследование участия специфических гиббереллинсвязывающих белков (ГСБ), выделенных из кариоплазмы ядер, в транскрипции в хлоропластах эпикотилей фасоли. При постановке вопроса мы исходили из того, что в хлоропластах высших растений генетическая система организована не по-ядерному, в частности, их наследственный материал (ДНК) обладает рядом особенностей и не связан с другими субстанциями, как это имеет место в хроматине ядер. Опыты проводились в системах синтеза РНК *in vitro*, содержащих, с одной стороны, интактные хлоропласти, а с другой — хлоропластную РНК-полимеразу и хлоропластную ДНК (хлДНК) или ядерную ДНК (ядДНК) в качестве матрицы.

В качестве объекта были использованы эпикотиля растений фасоли (*Phaseolus vulgaris*, сорт «Мухранула»), выращенных в лабораторных условиях. Клеточные ядра и хлоропласты получали по методу Боттомлея и др. [9], модифицированному в нашей лаборатории [1]. Из этих же органелл получали ДНК: из ядер (ядНК) — по Мармуру [15], а из хлоропластов (хлДНК) — согласно прописи Букдженса и др. [8]. Хлоропластную РНК-полимеразу получали из листьев гороха (*Pisum sativum*, сорт «Победитель») по методу Сана и Шапиро [14]. ГСБ выделяли из предварительно очищенных ядер, которые лизировали в буферном растворе А, содержащем: трис-HCl, pH 7,5—50 mM; MgCl₂—10 mM; NaCl—10 mM; фенилметилсульфонилфторид — 3 мкM, 2-меркаптоэтанол — 10 mM. Лизис проводили в стеклянном гомогенизаторе при 0—4°C. Суспензию центрифугировали при 1200 g в течение 10 мин. Супернатант, содержащий ядерные белки, концентрировали и наносили на колонку TSK-геля HW-55. Элюцию белков проводили буферным раствором А, содержащим 100 mM NaCl. Способность связывания с ГК-А₃ определяли инкубацией

элюирующих белковых фракций с ¹⁴C-гиббереллином, как описано в работе [11]. Фракции, проявляющие сродство к фитогормону, объединяли, дилизовали против буфера А, концентрировали и использовали для опытов.

Количество белка определяли по Бредфорду [7], а эндогенную транскрипционную активность интактных хлоропластов как описано в работе [4]. РНК-синтезирующая система с хлоропластной РНК-полимеразой содержала следующие компоненты: Трис-HCl, pH 7,8—50 mM; MgCl₂—20 mM; дитиотреонол — 1 mM; нуклеозидтрифосфаты (АТФ, ГТФ, УФ) — по 0,3 mM; ¹⁴C-ЦТФ — 0,25 мкКюри (уд. активность 446 мкКюри/mM); ДНК в количестве 10 мкг, хлоропластная РНК-полимераза — 6 мкг на пробу. Конечный объем инкубационной смеси — 100 мкл. Инкубация длилась в течение 20 мин при 30°C. Пробы, в которые добавлялись ГК-А₃ или ГСБ, предварительно инкубировались с этими веществами без нуклеотидтрифосфатов при 0°C в течение 20 мин (обработку проб и подсчет радиоактивности проводили по работе [1]).

РЕЗУЛЬТАТЫ ИССЛЕДОВАНИЯ И ИХ ОБСУЖДЕНИЕ

В табл. 1 приведены результаты эксперимента, в котором определялось действие ГК-А₃ и ядерных ГСБ

Таблица 1

Действие ГК-А₃ и ГСБ на эндогенную транскрипционную активность хлоропластов эпикотилей фасоли

Инкубационная смесь	Радиоактивность, имп./мин. на 50 мкг ДНК	%
Полная смесь (контроль)	1 390	100
Полная смесь + ГК-А ₃ (10 ⁻⁶ M)	3 154	227
Полная смесь + ГСБ (25 мкг на пробу)	2 220	160
Полная смесь + ГК-А ₃ + ГСБ	5 264	379

на эндогенную транскрипционную активность хлоропластов, выделенных из эпикотиля фасоли. Как видно из этих результатов, преинкубация хлоропластов с ГК-А₃ в течение 20 мин влечет за собой стимуляцию транскрипционной активности более чем в два раза. Указанная в таблице концентрация фитогормона в инкубационной среде — 10⁻⁶ M, при которой наиболее сильно проявляется РНК-синтезирующая активность органелл, была установлена в предварительных опытах. При преинкубации хлоропластов с ГСБ (25 мкг на пробу) также возрастает транскрипционная активность органелл, но в этом случае примерно 1,5 раза. Однако во время преинкубации хлоропластов с обеими компонентами вместе синтез РНК в органеллах увеличивается более чем 3,5 раза. Эти данные свидетельствуют

Влияние ГК-А₃ и ГСБ на синтез РНК в хлоропластной РНК - полимеразной системе *in vitro*

Инкубационная смесь	Радиоактивность, имп/мин на 30 мкг ДНК			
	ядДНК	%	хлДНК	%
Полная смесь (контроль)	825	100	924	100
Полная смесь+ГК-А ₃ (10^{-6} М)	850	103	970	105
Полная смесь+ГСБ (25 мкг на пробу)	1237	150	1293	140
Полная смесь+ГК-А ₃ +ГСБ	3996	484	3666	396

ют о том, что ядерные ГСБ могут участвовать во взаимодействиях ГК-А₃ и хлоропластным геномом. В пользу такого соображения свидетельствуют данные экспериментов, в которых определялись эффекты ГК-А₃ и ядерных ГСБ во внеклеточной РНК-синтезирующей системе с использованием в качестве матриц хлДНК и ядДНК, а в качестве транскрибуирующего фермента — хлРНК-полимеразы, полученной из листьев гороха. Согласно результатам этих экспериментов, приведенным в табл. 2, добавление ГК-А₃ (10^{-6} М) в вышеуказанную РНК-полимеразную систему, не влечет за собой стимуляцию транскрипции; при добавлении ГСБ (25 мкг на пробу) наблюдается возрастание транскрипции на 40—45%, а при внесении в систему этих же

компонентов вместе, синтез РНК увеличивается очень сильно: с хлДНК — в четыре раза, а с ядДНК — почти в пять раз.

Определенное возрастание транскрипции под влиянием ГСБ без ГК-А₃ можно объяснить, по-видимому, тем, что эти белки обладают и общим стимулирующим свойством в синтезе РНК, что известно для многих неосновных белков хроматина [5, 16].

Исходя из полученных нами экспериментальных данных, следует, что фракции ядерных белков, обладающих способностью специфического связывания с ГК-А₃, по-видимому, участвует в гормональной регуляции транскрипции и во внеядерных образованиях — хлоропластах.

ЛИТЕРАТУРА

1. Джохадзе Д. И., Балашвили М. И. Биохимия, 41, I, 161—165, 1976.
2. Романов Г. А., Таран В. Я., Хвойка Л., Кулаева О. Н. Физ. раст., 30, 2, 93—103, 1985.
3. Тевзадзе Н. Н., Амзашвили М. Г., Джохадзе Д. И. Физ. раст., 30, 2, 404—405, 1983.
4. Тевзадзе Н. Н., Джохадзе Д. И. Сообщения АН ГССР, 122, I, 141—142, 324—327, 1987.
5. Федина А. Б., Бурханова Э. А., Харченко В. И. Физ. раст., 34, 2, 324—327, 1987.
6. Baily H. M., Barker R. D. Biol. Plant., 27, 2—3, 105, 1985.
7. Bradford M. M. Analytical Biochem., 72, 248—254, 1976.
8. Bookjems L. Analytical Biochem., 141, 1, 244—247, 1984.
9. Bottomley, Whiffeld P. R., Spenser d. Arch. Biochem. and Biophys. 251, 1, 35—41, 1972.
10. Tevzadze N. N., Jokhadze D. I. In: Intern. Symp. Physico-chemistry of DNA and Mol. Mechanisms of Genome Functioning, Abstracts, Tbilisi, 1987, 6—8.
11. Bruns R. F., Lawson-Wedding K. Analytical Biochem., 132, 1, 74—80, 1983.
12. Hiroponi T., Yukoko S., Tadaski K. Plant and Cell Physiol., 24, 6, 1087, 1983.
13. Keith B., Brown S., Srivastava L. M. Proc. Nat. Acad. Sci. USA, 79, 5, 1515, 1987.
14. Sun E., Shapiro D. R., Wu B. W., Tewari K. K. Plant Molecular Biology, 6, 6, 429—438, 1986.
15. Marmur J., Doty P. J. Mol. Biol., 5, 1, 109—118, 1962.
16. Rizzo P. J., Pederson K., Cherry J. H. Plant Sci. Lett., 8, 3, 205—210, 1977

გიბერელინის მეზაპასა და გიბერელინდაგარავისის გიბერელინის გავლენა რ 6 მ-ს სინთეზის ქლოროპლასტიზაციის

დ. ჯოხაძე, ნ. თევზაძე, ლ. ნაზაროვა, რ. გოგლიძე

საქართველოს მეცნიერებათა აკადემიის მცენარეთა ბიოქიმიის ინსტიტუტი, თბილისი

რეზიუმე

შესწავლილია ფოტოპორმონ გიბერელინის მეზაპასა (გმ- A_3) და ლობიოს ეპი-ჟოტილების ბირთვებიდან გამოყოფილი გიბერელინდაგავშირებელი ცილების (გ დ ც) გავლენა რ 6 მ-ს სინთეზზე ინტენსურ ქლოროპლასტებში და სისტემაზე, რომელიც შეიცავდა ქლოროპლასტულ ანდ-პოლიმერაზას და მატრიცას ქლოროპლასტული ან ბირთვულ დნმ-ის სახთ. საჩენებია, რომ რ 6 მ-ს სინთეზის საინტებაციო არეში გმ- A_3 -ის ან გ დ ც-ის დამატებისას ორივე შემთხვევაში მატულობს ქლოროპლასტების ტრანსკრიპციული აქტივობა; გაცილებით ძლიერი სტი-

მულაცია შეიმჩნევა ორივე კომპონენტის ერთად დამატებისას; ქლოროპლასტული რ 6 მ-პოლიმერაზასა და დ ც მ-ს შემცველ სისტემაში გმ- A_3 -ის დამატებისას გ დ ც-ის გარეშე რ 6 მ-ს სინთეზის მატება არ ხდება, მაშინ როდესაც სისტემაში ორივე კომპონენტის ერთად შეტანისას რ 6 მ-ს სინთეზი თითქმის ოთხჯერ იზრდება. გაკეთებულია დასკნეა, რომ ბირთვული ცილები, რომელთაც გ მ- A_3 -თან სპეციფიკურად დაკავშირების უნარი გააჩნიათ, ტრანსკრიპციის პორმონულ რეგულაციაში მონაწილეობენ ბირთვგარე წარმონაქმნებში — ქლოროპლასტებში.

THE INFLUENCE OF GIBBERELLIC ACID AND CIBBEREELLIN-BINDING PROTEIN ON RNA SYNTHESIS IN CHLOROPLASTS

D. I. JOKHADZE, N. N. TEVZADZE, L. A. NAZAROVA, R. I. GOGLIDZE

Institute of Plant Biochemistry, Georgian Academy of Sciences, Tbilisi, USSR

Summary

The influence of gibberellic acid (GA_3) and gibberellin-binding protein (GBP) obtained from the kidney bean epicotyl cells on RNA synthesis in intact chloroplasts and in the system containing chloroplast RNA-polymerase and chloroplast or nuclear DNA as matrix was studied. The addition of GA_3 and GBP into the incubation medium for the RNA synthesis was shown to increase transcriptional activity of chloroplasts in both cases, but stimulation was much stron-

ger when both components were added together: at the addition of only GA_3 to the system of chloroplast RNA-polymerase and DNA no increase of RNA synthesis was seen. While at the addition of both components the RNA synthesis increased four times.

The results obtained indicate that the nuclear proteins possessing GA_3 -binding capacity are involved in the hormonal regulation of transcription and in non-nuclear formations—chloroplasts.

(на грузинском, русском и английском языках)

Корректор Д. Р. Арчвадзе

Сдано в набор 14.07.89; Подписано в печать 28.06.90. УЭ 03686.

Формат бумаги 70×108¹/₁₆. Бумага № 1. Высокая печать.

6,7 усл.-печ. л. 7,23 кр.-отт. 5,5 уч.-изд. л.

Тираж 1000 экз. Заказ 989.

Цена 85 коп.

ვამომცემლობა „მეცნიერება“, თბილისი, 380060, ქუთუმრევის ქ. 19.
Издательство «Материалы», Тбилиси, 380060 ул. Кутузова, 19.

საქართველოს სსრ მცნ. ეკადემიის სტამბა, თბილისი, 380060, ქუთაშვილის ქ., 19
Типография АН Грузинской ССР, Тбилиси, 380060, ул. Куташидзе, 19

Цена 85 коп.

6/198/90

Индекс

76204 БУМАГА
БЛЮЗЫ ПРИРОДЫ

